

UNIVERSIDAD NACIONAL DEL SANTA
FACULTAD DE INGENIERÍA

ESCUELA PROFESIONAL DE INGENIERÍA EN ENERGÍA



**“DETERMINACIÓN DE LA SECCIÓN ECONÓMICA ÓPTIMA
DEL CONDUCTOR DE LA LÍNEA DE TRANSMISIÓN 60KV
SEPI-SEPU, DEPARTAMENTO DE UCAYALI”**

PRESENTADO POR:
BACH. HONORES CASTILLO JEAN CARLOS
BACH. RIOS CERNA JOHN ANTHONY

**TESIS PARA OBTENER EL TITULO PROFESIONAL
DE INGENIERO EN ENERGÍA**

Nuevo Chimbote - Perú

Noviembre 2018



UNIVERSIDAD NACIONAL DEL SANTA
FACULTAD DE INGENIERÍA
ESCUELA PROFESIONAL
DE INGENIERÍA EN ENERGÍA

HOJA DE CONFORMIDAD DEL ASESOR

El presente proyecto de investigación de Tesis titulado “**DETERMINACIÓN DE LA SECCIÓN ECONÓMICA ÓPTIMA DEL CONDUCTOR DE LA LÍNEA DE TRANSMISIÓN 60KV SEPI-SEPU, DEPARTAMENTO DE UCAYALI**”. Elaborado por los bachilleres: **HONORES CASTILLO JEANCARLOS** y **RIOS CERNA JOHN ANTHONY** para optar el título profesional de Ingeniero en Energía. Ha contado con el asesoramiento de quien deja constancia de su aprobación. Por tal motivo, firma el presente trabajo en calidad de Asesor.

Mg.. GILMER JUAN LUJAN GUEVARA
ASESOR



**UNIVERSIDAD NACIONAL DEL SANTA
FACULTAD DE INGENIERÍA
ESCUELA PROFESIONAL
DE INGENIERÍA EN ENERGÍA**

HOJA DE CONFORMIDAD DEL JURADO

El presente proyecto de investigación de Tesis titulado “**DETERMINACIÓN DE LA SECCIÓN ECONÓMICA ÓPTIMA DEL CONDUCTOR DE LA LÍNEA DE TRANSMISIÓN 60KV SEPI-SEPU, DEPARTAMENTO DE UACAYALI**”. Elaborado por los bachilleres: **HONORES CASTILLO JEANCARLOS** y **RIOS CERNA JOHN ANTHONY**, para optar el título profesional de Ingeniero en Energía. Revisado y Aprobado por el siguiente Jurado Evaluador.

Mg. AMANCIO RAMIRO ROJAS FLORES
PRESIDENTE

Mg. GILMER JUAN LUJAN GUEVARA

INTEGRANTE



UNS
UNIVERSIDAD
NACIONAL DEL SANTA

FACULTAD DE INGENIERIA

Dirección E.A.P. de Ingeniería en Energía

Teléfono: 310445 - Anexo 1035

"Año del Diálogo y la Reconciliación Nacional"

ACTA DE SUSTENTACION DE TESIS

A los dieciocho días del mes de enero del año dos mil dieciocho, siendo las doce horas del día, se instaló en el Auditorio de la Escuela Académica Profesional de Ingeniería en Energía, el Jurado Evaluador designado mediante Resolución Nº 446-2017-UNS-CFI, integrado por los siguientes docentes:

- | | | |
|---------------------------------------|---|-------------|
| ➤ Mg. AMANCIO RAMIRO ROJAS FLORES | : | PRESIDENTE |
| ➤ M.Sc. CESAR LUIS LOPEZ AGUILAR | : | INTEGRANTE |
| ➤ Mg. GILMER JUAN LUJAN GUEVARA | : | INTEGRANTE |
| ➤ Mg. SEGUNDO NICOLAS DIESTRA SANCHEZ | : | ACCESITARIO |

Para dar inicio a la sustentación y evaluación de la Tesis titulada: "**DETERMINACIÓN DE LA SECCIÓN ECONÓMICA ÓPTIMA DEL CONDUCTOR DE LA LÍNEA DE TRANSMISIÓN 60KV SEPI – SEPU, DEPARTAMENTO DE UCAYALI**", Elaborada por el Bachiller de Ingeniería en Energía: **JOHN ANTHONY RIOS CERNA**, teniendo como asesor al docente **Mg. Gilmer Juan Lujan Guevara**. Terminada la sustentación el estudiante, respondió las preguntas formuladas por los miembros del jurado y el público presente.

El Jurado después de deliberar sobre aspectos relacionados con el trabajo, contenido y sustentación del mismo y con las sugerencias pertinentes, en concordancia con los artículos 39° y 40° del Reglamento General para Obtener el Grado Académico de Bachiller y Título Profesional de la Universidad Nacional del Santa, declara:

BACHILLER	PROMEDIO	PONDERACIÓN
JOHN ANTHONY RIOS CERNA	BUENO	DIECISIETE (17)

Siendo las once horas del mismo día, se da por terminado el acto de sustentación, firmando los integrantes del jurado en señal de conformidad.

Mg. Amancio Rojas Flores
PRESIDENTE

Mg. Segundo Diestra Sánchez
SECRETARIO

Mg. Gilmer Lujan Guevara
INTEGRANTE



UNS
UNIVERSIDAD
NACIONAL DEL SANTA

FACULTAD DE INGENIERIA

Dirección E.A.P. de Ingeniería en Energía

Teléfono: 310445 - Anexo 1035

"Año del Diálogo y la Reconciliación Nacional"

ACTA DE SUSTENTACION DE TESIS

A los dieciocho días del mes de enero del año dos mil dieciocho, siendo las doce horas del día, se instaló en el Auditorio de la Escuela Académica Profesional de Ingeniería en Energía, el Jurado Evaluador designado mediante Resolución Nº 446-2017-UNS-CFI, integrado por los siguientes docentes:

- | | | |
|---------------------------------------|---|-------------|
| ➤ Mg. AMANCIO RAMIRO ROJAS FLORES | : | PRESIDENTE |
| ➤ M.Sc. CESAR LUIS LOPEZ AGUILAR | : | INTEGRANTE |
| ➤ Mg. GILMER JUAN LUJAN GUEVARA | : | INTEGRANTE |
| ➤ Mg. SEGUNDO NICOLAS DIESTRA SANCHEZ | : | ACCESITARIO |

Para dar inicio a la sustentación y evaluación de la Tesis titulada: "**DETERMINACIÓN DE LA SECCIÓN ECONÓMICA ÓPTIMA DEL CONDUCTOR DE LA LÍNEA DE TRANSMISIÓN 60KV SEPI – SEPU, DEPARTAMENTO DE UCAYALI**", Elaborada por el Bachiller de Ingeniería en Energía: **JEAN CARLOS HONORES CASTILLO**, teniendo como asesor al docente **Mg. Gilmer Juan Lujan Guevara**. Terminada la sustentación el estudiante, respondió las preguntas formuladas por los miembros del jurado y el público presente.

El Jurado después de deliberar sobre aspectos relacionados con el trabajo, contenido y sustentación del mismo y con las sugerencias pertinentes, en concordancia con los artículos 39º y 40º del Reglamento General para Obtener el Grado Académico de Bachiller y Título Profesional de la Universidad Nacional del Santa, declara:

BACHILLER	PROMEDIO	PONDERACIÓN
JEAN CARLOS HONORES CASTILLO	DIECISEIS	BUENO

Siendo las once horas del mismo día, se da por terminado el acto de sustentación, firmando los integrantes del jurado en señal de conformidad.

Mg. Amancio Rojas Flores
PRESIDENTE

Mg. Segundo Diestra Sánchez
SECRETARIO

Mg. Gilmer Lujan Guevara
INTEGRANTE

DEDICATORIA

A toda mi familia por su Apoyo Infinito.

*A John, Mi Padre, mi mejor amigo, mi pata,
quién me enseña todos los días
a cómo amar a mi familia.*

*A María Elena, mi madre, mi rebelde Helen
de quien heredé su irreverencia y alegría.*

*A Debora, mi hermanita,
siempre tan alegre y bulliciosa.*

*A Karen,
quien perdió sus llaves aquel día
y me enseñó que las oportunidades
se dan una sola vez en la vida.*

A Mí, Mi Mayor Enemigo.

John Anthony Ríos Cerna

DEDICATORIA

*A la memoria de mi Padre
Carlos Honores Paz,
quién se convirtió
en mi empuje para no desistir
en mis metas
y en dónde se encuentre me guía*

*A mi madre
Mila Castillo Damián,
por brindarme el apoyo que necesitaba
en mi formación profesional*

*A mis hermanas Marleny y Milagros
por su apoyo incondicional y convertirse
en motivación para terminar mis estudios.*

*A Karla Chávez Armas,
por su apoyo incondicional
y motivación para cumplir
mis metas propuestas*

Jean Carlos Honores Castillo

AGRADECIMIENTO

A todas las personas que, a lo largo de estos años me ayudaron en mi desarrollo personal y profesional.

A Papá, Mamá y Debora por su apoyo infinito, a Karen por estar siempre conmigo alentándome.

A todos mis Maestros y Docentes, A profesores Guevara, Escate, Benites, Chucuya, Paz, Neil, Calderón, Risco, Montañez y a todos que no mencioné a ellos, Gracias.

John Anthony Ríos Cerna

AGRADECIMIENTO

A la Universidad Nacional del Santa quien me brindo el lugar y espacio para adquirir los conocimientos necesarios en mi formacion profesional.

A mi familia por el apoyo afectivo y economico para poder desarrollar mi carrera universitaria y en el desarrollo del trabajo de investigacion

A cada uno de mis docentes quienes compartieron sus conocimientos y dirigieron mi formacion profesional.

Jeancarlos Honores Castillo

Índice

Dedicatoria.....	vi
Agradecimiento.....	viii
Índice.....	x
Resumen.....	xii
Abstract.....	xiii
I. INTRODUCCIÓN	14
1.1. Antecedentes	14
1.2. Formulación del Problema	15
1.2.1. Situación Actual del Problema	15
1.2.2. Formulación del Problema	18
1.3. Objetivos	18
1.3.1. Objetivo General	18
1.3.2. Objetivos Específicos	19
1.4. Formulación de la Hipótesis	19
1.5. Justificación del Trabajo de Investigación	19
1.6. Limitaciones del Trabajo de Investigación	20
II. MARCO TEÓRICO	21
2.1. Líneas de Transmisión Aéreas	21
2.1.1. Conductores	21
2.1.2. Aisladores	23
2.1.3. Soportes	24
2.2. Diseño de Conductores de Alta Tensión	31
2.2.1. Ampacitancia	31
2.2.2. Regulación de Tensión	32
2.2.3. Resistencia	33
2.2.4. Inductancia	33
2.2.5. Admitancia	34
2.2.6. Capacidad	34
2.2.7. Conductancia	34
2.2.8. Efecto Corona	35
2.3. Determinación de la Sección Económica	36
III. MATERIALES Y METODOS	37
3.1 Método	37
3.2 Tipo de Investigación	38
3.3 Variable	38
IV. RESULTADOS	39
4.1 Resultados	39
4.2 Discusión	65
V. CONCLUSIONES Y RECOMENDACIONES	66
5.1 Conclusiones	66
5.2 Recomendación	66

VI. REFERENCIAS	67
6.1 Bibliografía	67
6.2 Referencias	68
VII. Anexos	69

RESUMEN

En la presente tesis se Determinó la Sección Económica Óptima del Conductor de la Línea de Transmisión de 60 kV SEPI-SEPU, Departamento de Ucayali, haciendo un Evaluación del Sistema de Transmisión Actual, Proponiendo un trazo de ruta de 10.5 km. De longitud para la Nueva Línea de Transmisión Proyectada, Se Determinó Características Eléctricas de Diferentes Calibres de Conductores AAAC y se Evaluó cada uno de ellos si es Económicamente Óptimo el empleo de estos; Determinando como resultado el empleo del Conductor AAAC de 240 mm² de sección.

ABSTRACT

In this thesis the Optimal Economic Section of the Director of the 60 kV Transmission Line SEPI-SEPU, Department of Ucayali was determined, making an Evaluation of the Current Transmission System, proposing a path of 10.5 km. Of length for the New Line of Projected Transmission, Electrical Characteristics of Different Gauges of AAAC Conductors were Determined and each of them was Economically Optimal the use of these; Determining as a result the use of the AAAC conductor of 240 mm² section.

I. INTRODUCCIÓN

1. ANTECEDENTES

Rocha (2005) concluye que en las líneas de transmisión las pérdidas de energía representan el 1.5%; debido a la complejidad de la geometría de tendido del sistema eléctrico en las zonas urbanas a razón de que las reparaciones realizadas no contemplaron como objetivo el cumplimiento de las normas técnicas ya que se encontró parte de los tramos de las líneas dañadas por factores climáticos y fallas propias del sistema de transmisión por efecto corona.¹

LLenque (2013) detalla el Procedimiento Constructivo y de Seguridad para la construcción y puesta en servicio de una línea de transmisión en 60 kV de 32,5 km de longitud que interconectará la Subestación Bayovar y la Subestación Descarga, teniendo en cuenta los criterios de diseño, la ingeniería de detalle, la evaluación de pérdidas que ocurren en las líneas de transmisión para posteriormente realizar toda una evaluación del proceso constructivo de la línea de transmisión en alta tensión en el marco normativo de la Dirección General de Electricidad del Ministerio de Energía y Minas.²

Mantilla & Vergaray (2011) Realiza una evaluación económica a las pérdidas de energía eléctrica que se producen en la Línea de Transmisión 138 kV Nepeña – San Jacinto LT-1114, concluyendo que estas se deben al efecto joule, efecto corona y a las fugas de aisladores.³

Rivadeneira (2013). Señala que en Diseño de Líneas de Transmisión Cortas (menores a 80 km) y de voltaje inferior a 80 kV, el efecto corona y la capacitancia

de la línea no representan cambios significativos; Aspecto a tomar en cuenta en la presente investigación.⁴

Romero (2010). Concluye en que la elección del conductor de alta tensión para líneas de transmisión de alta tensión obedece a la combinación de los costos iniciales de compra e instalación, con los costos de pérdida de energía que surgen durante la vida económica del conductor eléctrico, señalando la necesidad de expresarlos en valores económicos comparables que son valores que se refieren a un mismo punto del tiempo. De este modo el Costo Total para Instalar y Operar las Líneas de Transmisión en Alta Tensión, expresando en valores presentes es la Suma del Costo Inicial de Instalación en su Longitud Total más el Costo Operativo equivalente a la fecha, osea, el valor presente de las pérdidas durante la vida de N años de la Línea de Transmisión.⁵

2. FORMULACIÓN DEL PROBLEMA

2.1 SITUACIÓN ACTUAL DEL PROBLEMA

El Ministerio de Energía y Minas, a través de la empresa concesionaria de distribución eléctrica ELECTRO UCAYALI S.A. ejecutó la obra de la Línea de Transmisión 60 kV SET YARINACOCHA (SEYA) – SET PUCALLPA (SEPU), la misma que fue concluida entre los años 1989 y 1990.

El Ministerio de Energía y Minas, a través de la Resolución Suprema N° 085-95-EM del 30 de octubre de 1995, aprueba la transferencia a ELECTRO UCAYALI S.A. de la concesión definitiva de distribución de

energía eléctrica, señalando como área a los distritos de Callería y Yarinacocha de la provincia de Coronel Portillo, del departamento de Ucayali.

El Ministerio de Energía y Minas, a través de la Resolución Suprema N° 048-96-EM del 13 de junio de 1996, aprueba la transferencia de la concesión definitiva de transmisión de energía eléctrica de la Línea Transmisión 60 kV, SET Yarinacocha – SET Pucallpa (Pucallpa). Durante los procesos de fiscalización de los años 2002, 2003, 2004 y 2005, realizados por La Gerencia de Fiscalización eléctrica del OSINERGMIN, se encontraron deficiencias correspondientes a invasión de la franja de servidumbre y Distancias Mínimas de Seguridad en la Línea de Transmisión 60 KV SEYA-SEPU.

En el año 2003, ELECTRO UCAYALI S.A., realizó el reemplazo de la estructura N° 39 de la línea de transmisión 60 KV SEYA-SEPU, debido a que se encontraba inclinado a consecuencia de las fuertes lluvias que terminaron debilitando la base del poste.

En el año 2005, ELECTRO UCAYALI S.A., contrató los servicios de la empresa C&M Engineering S.A.C. para que reemplace las estructuras N° 43 y 44 de la línea SEYA-SEPU, las que estaban totalmente debilitadas debido a los años de operación y condiciones climatológicas propia de la zona.

La línea de transmisión L6673 60 KV SEYA – SEPU, tiene más de 20 años de antigüedad, lo que significa que ha cumplido su tiempo de vida útil;

actualmente se encuentra observada por OSINERGMIN por presentar serias deficiencia en su infraestructura (deterioro por corrosión) y no cumplir con las distancias mínimas de seguridad exigidas por la norma; por lo que su confiabilidad y seguridad se encuentra con niveles muy bajos.

La Subestación de Potencia Pucallpa (SEPU), actualmente alimentada por la línea de transmisión en 60 KV SEYA-SEPU, abastece una demanda de 24.5MW, representando el 60.4% de la demanda total del sistema eléctrico Pucallpa; esta situación lo convierte en una subestación principal y estratégica para el abastecimiento de energía eléctrica a la ciudad de Pucallpa.

La subestación de potencia Pucallpa (SEPU), por ser una subestación principal, debido a la demanda de potencia que abastece (más del 60% de la demanda total de Pucallpa), no puede ser interrumpida por tiempos prolongados, **por lo que la posibilidad de ejecutar algún proyecto de “MEJORAMIENTO” de la Línea de Transmisión 60 kV SET Yarinacocha – SET Pucallpa, QUEDA DESCARTADO**, toda vez que **AL NO TENER OTRA LÍNEA DE TRANSMISIÓN DE RESPALDO**, se estaría interrumpiendo constantemente y por tiempos prolongados el servicio eléctrico a la ciudad de Pucallpa, para la ejecución de los trabajos de mejora. En consecuencia, es necesario contar con una línea de transmisión que garantice la confiabilidad del sistema eléctrico de Pucallpa.

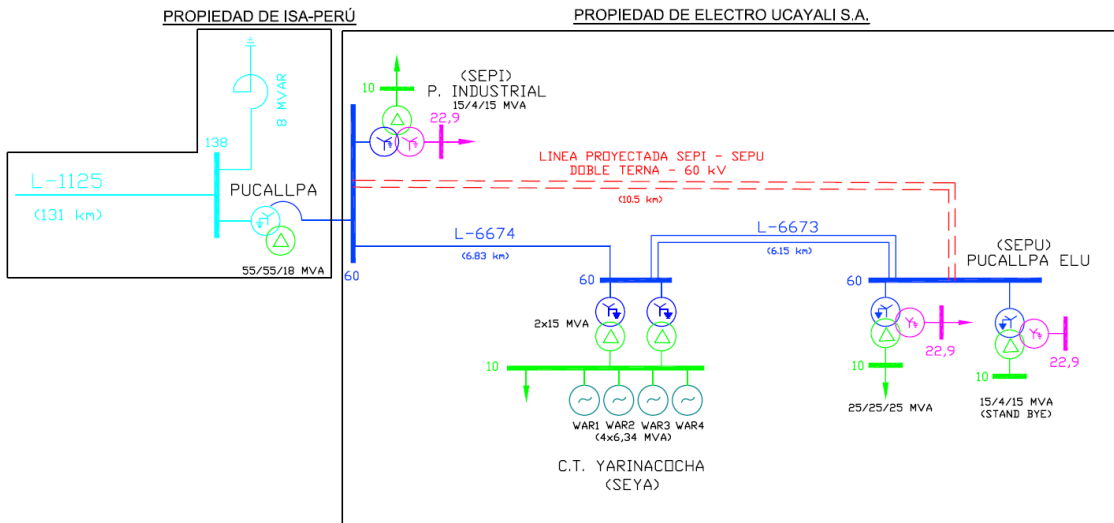


Figura 1 Diagrama Unifilar del Sistema Eléctrico Pucallpa. Elaboración Propia

El presente proyecto comprende la Determinación de la Sección Económica Óptima del Conductor de la Línea de Transmisión de 60kV SEPI-SEPU, desde el pórtico de salida en la SE Parque Industrial (SEPI) al pórtico de llegada en la SE Pucallpa (SEPU).

2.2 FORMULACIÓN DEL PROBLEMA

¿Es óptimo técnico y económicamente el uso de Conductor AAAC en La Línea de Transmisión SEPI-SEPU 60kV, Departamento de Ucayali?

3. OBJETIVOS

3.1 OBJETIVO GENERAL

- Analizar La Sección Económica Óptima del Conductor de La Línea de Transmisión 60kV SEPI-SEPU en el Departamento de Ucayali.

3.2 OBJETIVOS ESPECÍFICOS

- Detallar El Sistema de Transmisión Pucallpa.
- Proyectar un Trazo de Ruta para la Línea de Transmisión 60kV SEPI-SEPU.
- Seleccionar Conductores AAAC en función a sus Costos de Instalación, Operación, Mantenimiento; y Determinar la Sección Económica Óptima del Conductor de la Línea de Transmisión SEPI-SEPU.
- Determinar el Ahorro Energético obtenido con la Sección Económica Óptima de la Línea de Transmisión en 60 kV SEPI-SEPU.

4. FORMULACIÓN DE LA HIPÓTESIS

Es Óptima Técnica y Económicamente el empleo de un conductor AAAC con sección mayor a 120 mm^2 en la Línea de Transmisión SEPI-SEPU 60kV, Departamento de Ucayali.

5. JUSTIFICACIÓN DEL TRABAJO

La Tesis se justifica ya que:

- Garantiza la seguridad de las instalaciones eléctricas que sirve para el abastecimiento de energía eléctrica a la Ciudad de Pucallpa.
- Mejora la confiabilidad del Sistema Eléctrico de Transmisión de Pucallpa.
- Subsanar las condiciones sub estándar de seguridad (procesos de fiscalización realizados por OSINERGMIN) de la línea de transmisión existente SEYA – SEPU, para evitar accidentes, procesos sancionadores y multas en contra de la empresa concesionaria de distribución eléctrica.
- Adecuar las instalaciones eléctricas de transmisión al “Procedimiento para la Supervisión de deficiencias en seguridad en líneas de transmisión y en zonas de

servidumbre” aprobado mediante Resolución del Consejo Directivo N° 264-2005-OS/CD del OSINERGMIN.

6. LIMITACIONES DEL TRABAJO

- **AMBIENTALES.-** Debido a que la presente tesis se desarrolla en la región de la selva, se presentaron dificultades a la hora de recorrer la ruta por donde recorrerá la Línea de Transmisión

II. MARCO TEÓRICO

2.1 LINEAS DE TRANSMISIÓN AÉREAS.

La línea de transmisión es el elemento del sistema de potencia que se encarga de transportar la energía eléctrica desde el sitio en donde se genera hasta el sitio donde se consume o se distribuye. (Hayt & Buck 2006)

Las líneas de transmisión como su nombre lo indican son aquellas complejas estructuras que transportan grandes bloques de energía eléctrica dentro de los diferentes puntos de la red que constituye el sistema eléctrico de potencia, son físicamente los elementos más simples pero los más extensos. La clasificación de los sistemas de transmisión puede ser realizada desde muy variados puntos de vista, según el medio: en aéreas y subterráneas.

Una línea de transmisión está constituida básicamente por tres (3) elementos:

- Conductores
- Aisladores
- Soportes

2.1.1. CONDUCTORES.

Consiste de un cuerpo o un medio adecuado, utilizado como portador de corriente eléctrica. El material que forma un conductor eléctrico es cualquier sustancia que puede conducir una corriente eléctrica cuando este conductor se ve sujeto a una diferencia de potencial entre sus extremos. Esta propiedad se llama conductividad, y las sustancias con mayor conductividad son los metales. Los materiales comúnmente utilizados para conducir corriente eléctrica son en orden de importancia: cobre, aluminio, aleaciones de cobre, hierro, acero. (Hayt & Buck 2006)



Figura No. 2. Conductores Eléctricos.

Factor Eléctrico (2014) Catálogo

La selección de un material conductor determinado **es, esencialmente, un problema económico**, el cual no solo considera las propiedades eléctricas del conductor, sino también otras como: propiedades mecánicas, facilidad de hacer conexiones, su mantenimiento, la cantidad de soportes necesarios, las limitaciones de espacio, resistencia a la corrosión del material y otros. Los metales más comúnmente utilizados como conductores eléctricos son Cobre y Aluminio

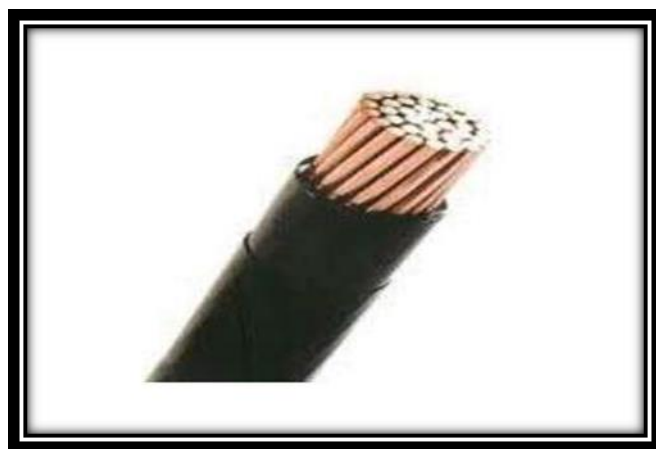


Figura No. 3. Conductor de AAC para Alta Tensión

Factor Eléctrico (2014) Catálogo

2.1.2. AISLADORES.

Los aisladores en las líneas de transmisión de alta tensión sirven fundamentalmente para sujetar a los conductores, de manera que estos no se muevan en sentido longitudinal o transversal. Como su nombre lo indica, deben evitar la derivación de la corriente de la línea hacia tierra, ya que **un aislamiento defectuoso acarrea pérdidas de energía y en consecuencia un aumento del gasto de explotación comercial del sistema**. Los aislantes cumplen la función de sujetar mecánicamente los conductores a las estructuras que los soportan, asegurando el aislamiento eléctrico entre estos dos elementos. (Hayt & Buck 2006)

Así pues, por algunas décadas, las cualidades eléctricas y mecánicas de los aisladores no deberán ser destruidas, por ninguno de los esfuerzos de todo tipo que estarán sometidos. Además, deberán facilitar todo trabajo que pudiera efectuarse en la línea, aun mantenida en tensión eléctrica, sin perjudicar la recepción de las señales electromagnéticas, radio, televisión y otros, ni la estética si fuera posible. Los aisladores se pueden clasificar desde diferentes puntos de vista, según el material elegido para su manufactura: aisladores de vidrio, porcelana o de plástico.

Aisladores Tipo Espiga, palillo o Pin (Pin Tipe)

Este tipo de aislantes se caracteriza porque la fijación que hacen del conductor es rígida. Hay variedades en cuanto al tamaño y forma de sujetar al conductor; en su gran mayoría requieren de ligaduras, o sea de hilos del mismo material del conductor que amarren este del aislador, gracias a sus formas exteriores; también los hay que tiene una pinza o mordaza en el tope estos aisladores tiene una rosca interna que aloja la espiga y a ella se ajusta gracias a una caperuza de plomo que se deforma para

asentarse a la cruceta, y sobresale a partir de ella roscada, en una longitud que varía si se trata de cruceta de hierro o madera. No se recomienda ponerlos en ángulos verticales mayores de 4°, ni por supuesto como terminales, amarres o anclajes.



Figura No. 4. Aisladores Eléctricos

Inversiones Santeky (2015) Catálogo

2.1.3. SOPORTES.

La función de los soportes es mantener los conductores alejados entre sí y con el suelo, para evitar arcos entre conductores o problemas debajo y al lado de los mismos.

La naturaleza de los soportes es muy variada, en los sistemas de transmisión suelen ser metálicos, concreto o madera, y su selección depende de un análisis económico. La materia prima de las estructuras ha diferentes países y buscar costos menores. Los soportes deben ser resistentes a los agentes externos, tales como vientos, nieve, lluvia, etc., y además deben de brindar una facilidad de instalación.

(Hayt & Buck 2006)



Figura No.5. Torres de Alta Tensión

Cammesa (2013) Archivo Digital

Los soportes son estructuras destinadas para mantener en las líneas de transmisión aéreas, los conductores separados entre sí y de tierra. Los soportes pueden ser básicamente de dos tipos:

Postes

Se designan con este nombre los soportes de poca altura, de cuerpo vertical único; tales como los postes de madera, metal o concreto.

Los postes metálicos se usan en redes y líneas de sub-transmisión, principalmente porque su fabricación está ubicada económicamente con limitaciones de altura. Un poste que excede de 45 pies ya resulta muy pesado además de elástico. Además, estos postes no son auto-soportantes, o sea que siempre van a requerir el complemento de cientos. Eventualmente se usan estructuras las cuales permiten mayores esfuerzos, pero las mismas complicaciones los hace poco competitivos con otras soluciones que permiten vanos mayores; por otra parte es importante el hecho de que al no ser galvanizados sino pintados su mantenimiento es costoso, y deben ser pintados con frecuencia, esto oscila entre 6 meses y dos años, siendo la parte más afectada la

sección de empotramiento y la zona de un metro arriba y debajo de la misma, por lo cual se ha adoptado por recubrir dicha parte con una chaqueta de hierro que va soldada al poste. También en este caso hay un exceso de material, porque la sección que se dan muchas veces es originales para evitar aplastamiento y no por los requerimientos del momento flector. El hecho de requerir vientos somete a los postes de hierro a compresiones que no siempre son verticales causando curvaturas.

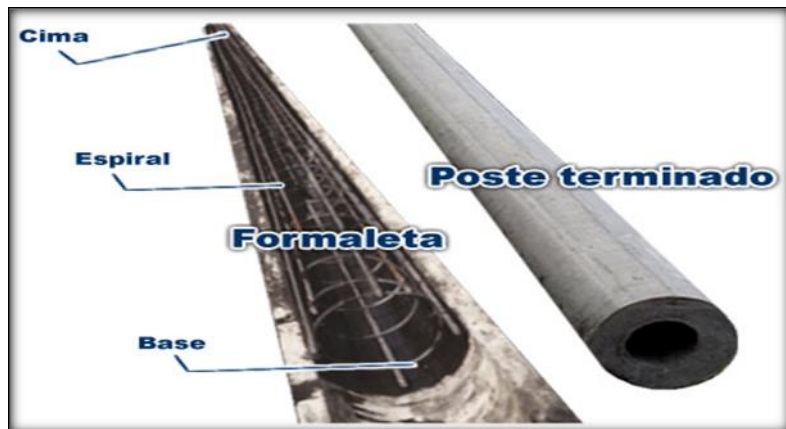


Figura No.6. Postes de Concreto Centrifugado

Jdelectricos Colombia (2014) Catálogo



Figura No.7. Postes de Metal de Alta Tensión Concreto Centrifugado

Sigma S.A (2016) Archivo Digital

Torres

Con el nombre de torres, se denominan a los soportes metálicos de elementos ensamblados, destinados a la mayoría de las líneas de transmisión de energía en alta tensión. Quizá el más difundido de los materiales usados para líneas de transmisión es el acero especialmente en forma de perfiles o ángulos. Existen en países industrializados empresas destinadas exclusivamente a producir una gama muy amplia de perfiles inclusive a producir con resistencias mayores de las normales, con lo cual se logra bajar el peso final de las estructuras. Esto unido a un mercado mundial pone en situación ventajosa a dichas fábricas en los que a costos refiere. En Perú a se importaron torres, hasta hace pocos años, y se inició la construcción de ellas en el país utilizando perfiles nacionales, aunque en los primeros pasos era necesario la importación de materia prima por la poca diversidad de productos de la siderúrgica nacional; esto es un aspecto bastante importante aún hoy en día; y que incide en los costos; porque si bien es cierto que la gama de perfiles es amplia, no puede lograrse que ella sea tan fina como para ajustarse exactamente a los requerimientos de cálculos y deben colocarse perfiles más pesados donde los requerimientos mecánicos permitirían menores secciones de acero. El resultado es una estructura más pesada.

(Hayt & Buck 2006)

El acero debe galvanizarse para evitar su deterioro, y este es un proceso que se lleva a cabo en baños en caliente. La capa de zinc que se adhiere íntimamente al acero, lo protege casi indefinidamente. Los diferentes miembros se unen con tornillos también galvanizados, y en los puntos de concurrencia de varios perfiles se utilizan piezas planas o que forman ángulos llamadas cartelas. Los perfiles van perforados al baño galvanizado, para que su protección sea total, y debe evitarse cortes o limaduras a los perfiles terminados pues eso introduce puntos débiles en la estructura.

Clasificación de los Soportes

Los soportes pueden ser clasificados según:

- Su habilitación.
- El tipo de fundación utilizada.
- Su amplitud para resistir los esfuerzo longitudinales.

En los soportes según la habilitación utilizada se distinguen dos grandes clases:

- Sistema de fases Escalonadas.
- Sistema de fases Horizontales.

Sistema de Fases Escalonadas

En este tipo de torres los conductores se disponen a niveles de altura diferentes.

Distinguiéndose las torres de triángulo, de bandera, de doble bandera y de doble triángulo; siendo estas las torres de mayor uso.

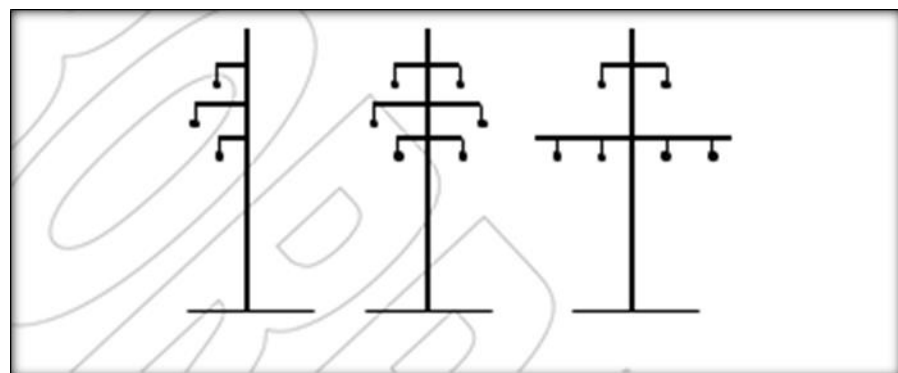


Figura No.8. Sistema de Fases Escalonadas

Elaboración Propia

El sistema de fases escalonadas comprende esencialmente las torres de cuerpo único vertical, que permiten la utilización de un solo cable de guarda, dispuesto en la parte

superior de la estructura. El cable de guarda cuando existe, permite una buena protección de las fases de la torre contra descargas atmosféricas (rayos).

Este tipo de soportes presenta la ventaja de facilitar el empleo de estructuras isostáticas, o asimiladas (torres de celosía simples o múltiples) permitiendo obtener generalmente cargas iguales, es el tipo de estructura más económica. Este tipo de torre posee el inconveniente, que, al ser utilizadas en grandes tramos, se deben ejecutar estructuras de gran altura, más sensibles a las descargas atmosféricas (rayos) que aquellas con conductores dispuestos de manera horizontal, necesariamente mucho menos elevados; además la estrechez de la estructura en la parte superior no proporciona buena resistencia mecánica a las solicitudes de torsión. La segunda clase de soportes es aquella en que los conductores se disponen a un mismo nivel de altura, o en niveles poco diferentes. Entre este tipo de soporte se incluyen: las torres o pórticos de capa horizontal, postes con habilitación de capa abovedada y torres de tipo gato. Estas torres de cuerpo único, están provistas de una viga, en la parte superior, que reposa directamente o por intermedio de patines en los extremos de una horquilla; las dos ramas de esta horquilla están ensambladas en su base, en el cuerpo al mismo nivel, formando lo que se conoce como corsé. Este tipo de torre se dice que es un sistema hiperestático. (Hayt & Buck 2006)

Sistema de Fases Horizontales

La disposición de las fases en capa horizontal, implica la utilización de dos cables de guarda, los cuales se disponen a ambos lados del eje de la viga, y generalmente desviados hacia las fases exteriores. (Hayt & Buck 2006)

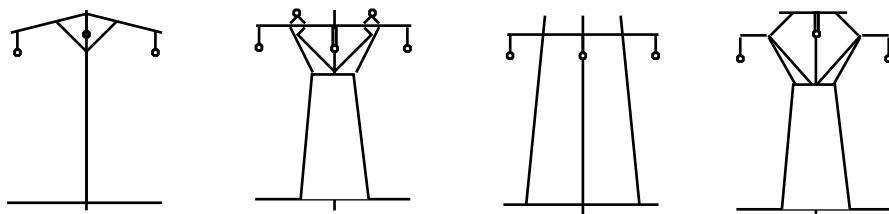


Figura No.9. Sistema de Fases Horizontales

Elaboración Propia

Este tipo de soporte conduce a estructura de menor altura, que la disposición de las fases en varios niveles, reduciendo el riesgo de excitación por descarga atmosférica (rayo). Los riesgos de acercamiento de las fases por efecto del viento son menores en la disposición horizontal.

Por la forma de diseño, las estructuras de este modo, deben resistir una fuerte concentración de esfuerzos horizontales al nivel de la viga. La construcción, fabricación y levantamiento de las *torres de capa horizontal* es menos fácil que las de las torres de fases escalonadas y requiere la utilización de mano de obra más especializada., peso a estos inconvenientes, este tipo de estructura se prefiere frecuentemente para las líneas de 225 y 400 KV, con la posibilidad de cambiar de habilitación en la proximidad de los centros urbanos.

En Perú la utilización de torres de capa horizontal es ampliamente difundida, casi con exclusividad por las líneas de transmisión aéreas de 500kV durante el recorrido de la línea se hacen necesarios cruces muy especiales en que la dimensión de las torres varía.

2.2. DISEÑO DE CONDUCTORES DE ALTA TENSIÓN

2.2.1 AMPACITANCIA

Para determinar la capacidad de corriente del conductor y las temperaturas de operación para diferentes potencias de transmisión se utiliza el concepto del balance térmico según la norma IEEE 738-1986 “Standard for Calculation of Bare Overhead Conductor Temperature and Ampacity Under Steady-State Conditions”, que es la siguiente:

$$W_c + W_r = W_j + W_i$$

donde:

W_c : Energía disipada por convección

W_r : Energía disipada por radiación

W_j : Energía absorbida por efecto joule

W_i : Energía absorbida por insolación

A efectos de determinar la temperatura máxima en los conductores se deben determinar las siguientes premisas:

Velocidad de viento

Intensidad de radiación solar

Coeficiente de absorción solar

Emisividad del conductor

Temperatura ambiente

Los cálculos de la corriente necesaria para que, el conductor bajo diversas condiciones de temperatura ambiente alcance los siguientes valores de carga y temperatura:

Temperatura ambiente máxima promedio

Temperatura en el conductor

Carga que transportar

Temperatura ambiente máxima

2.2.2 REGULACIÓN DE TENSIÓN

La regulación de la tensión está determinada por el funcionamiento del Sistema Eléctrico es decir cómo se controla los niveles de tensión a la salida de la subestación.

Los parámetros de la línea de transmisión están determinados por la Inductancia, la capacidad, la resistencia y la resistencia de pérdidas. La resistencia de la línea y su inductancia son los parámetros longitudinales y conforman la impedancia de la línea.

La capacidad, la resistencia de pérdidas o perditancia son los parámetros transversales de la línea y conforman la Admitancia de la línea. (Norma IEEE 738-1986)

$$z = r + jx_l$$

Donde:

z es la impedancia por km de línea

r es la resistencia del conductor a la corriente alterna y temperatura promedio por km de línea.

x_l es la reactancia por km de línea

2.2.3 RESISTENCIA (R): Determinada en principio por la resistencia a la corriente continua del conductor, se incrementa por el efecto pelicular y varía debido a la temperatura del medio en que se instala. (Norma IEEE 738-1986)

Las variaciones de la resistencia pueden modificarse por la siguiente expresión:

$$r_f = r_0 * (1 + \alpha * (t - t_0))$$

donde:

r_f = es la Resistencia a la temperatura t ohmio/m

r_0 = es la resistencia a la temperatura t_0 ohmio/m

t = 15 Temperatura final de diseño C°

t_0 = 20 Temperatura inicial o de datos del fabricante C°

α = 0.00228 Coeficiente de variación de la resistencia del material.

2.2.4 INDUCTANCIA (XL): Su valor depende de las características físicas que ligan a las distancias entre los hilos del conductor y entre conductores (fases), viene expresado en ohmio/km. (Norma IEEE 738-1986)

Esta dada por:

$$x_l = 2 * \pi * f * L; \text{ ohmio/km}$$

donde:

$\pi = 3.1415927$

$f = 60$ frecuencia hz

$L = [1/(2.n) + 4.6 \log(D/r')] \text{ Coeficiente de autoinducción en Henrio/km}$

n = número de subconductores por fase

D = Distancia media geométrica

r' = Radio ficticio del conductor $r' = ((n.r.(R)n-1)1/n$

r = radio del conductor

R = Distancia entre centros de los subconductores.

2.2.5. LA ADMITANCIA (Y) está dada por la capacidad y la perditancia o **conductancia**

y esta expresada por la siguiente fórmula (Norma IEEE 738-1986):

$$y = xc + jg$$

2.2.6. CAPACIDAD (XC) la diferencia de potencial entre los conductores de una línea hace que estos se carguen como placas de un condensador, sin embargo, para *líneas cortas de menos de 80 km su efecto es pequeño y se desprecia normalmente*. (Norma IEEE 738-1986) La ecuación que da la capacidad de la línea está dada por la siguiente expresión:

$$xc = 2 * \pi * f * ck.$$

Donde: $\pi = 3.1415927$

$f = 60$ frecuencia hz

$ck = 24.15 / (\log(D/r')) * 10^{-9}$ en Henrios/km

2.2.7. CONDUCTANCIA O PERDITANCIA (GK) debido que el aislamiento de la línea no es totalmente perfecto se producen pequeñas corrientes que circulan a tierra a través de los aisladores, la determinación de este efecto se calcula por la siguiente expresión:

$$gk = P/V^2 * 10^{-3} \text{ en siemens/km}$$

2.2.8. EFECTO CORONA

La fórmula general para el cálculo de la tensión crítica disruptiva para la cual se presentan los efluvios o pérdidas corona de acuerdo a lo señalado por PeeK está dado por la siguiente expresión (Norma IEEE 738-1986):

$$U_c = 84.017 \cdot m_c \cdot \alpha \cdot m_t \cdot r \cdot n \cdot \log(D/r')$$

donde:

U_c = Tensión crítica efectiva en kV.

m_c = Coeficiente de rugosidad del conductor

1 para superficies nuevas y lisas

0.83 at 0.98 para conductores nuevos y cableados

0.83 at 0.87 para conductores usados)

α = 1(Factor de corrección de la densidad relativa del aire para zonas mayores de 1000 msnm)

m_t = 0.8(Coeficiente para la calidad del ambiente en la zona 1 con buen tiempo o 0.8 con mal tiempo)

r = radio del conductor

n = número de subconductores de cada fase

D = distancia media geométrica de las fases

r' = es el radio ficticio de acuerdo a lo expresado en el cálculo de los parámetros de la línea.

2.3. DETERMINACIÓN DE LA SECCIÓN ECONÓMICA

En el diseño de la Línea es necesario seleccionar la sección más adecuada para las condiciones de demanda en el periodo de vida de la línea. Dicha sección permitirá que la capacidad normal de la línea esté por encima de su demanda actual.

En la selección económica de los conductores de una línea intervienen muchos aspectos a tener en cuenta, el costo de la línea se incrementa cuando la sección aumenta, debido a los mayores costos de propio conductor y a los costos de las estructuras, aisladores y fundaciones para soportar las mayores cargas debidas al incremento de la sección; por otra parte, los costos de perdidas disminuyen con la sección y en la determinación de las perdidas es necesario determinar las perdidas.

Los costos de los elementos involucrados son los correspondientes a costos para la construcción de líneas similares en aleación de aluminio en el Perú, a los cuales se les ha adicionado los costos por instalación, operación y mantenimiento.

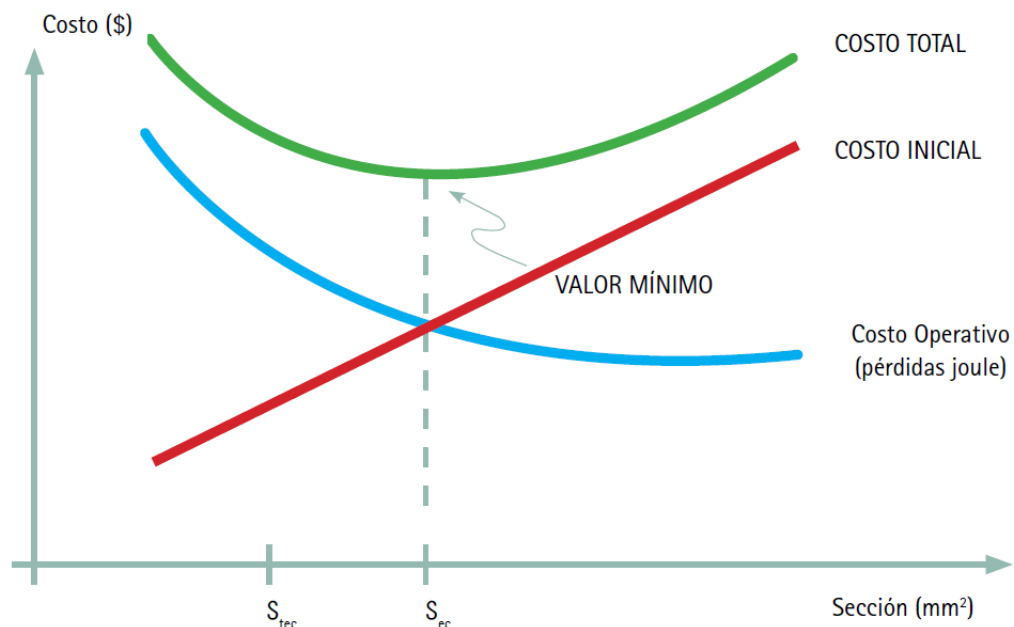


Gráfico No.10. Costo Inicial y costo operativo del conductor de alta tensión en función de la sección nominal. Elaboración Propia

III. MATERIALES Y METODOS

3.1 MÈTODO

En la presente Tesis es usada la Técnica Descriptiva, Como paso Inicial se realiza una Evaluación del Actual Sistema de Transmisión en el Departamento de Pucallpa. Luego se procede a Seleccionar diferentes Calibres de Conductores, Determinar la Sección Económica Óptima del Conductor para la Línea de Transmisión 60 kV SEPI-SEPU, y posteriormente evaluar los Efectos Económicos.

FUENTES DE INFORMACIÓN

Los datos de Potencia y Energía que se transmiten (Actual y Proyectada) en las Líneas de Transmisión SEPI-SEYA, SEYA-SEPU son proporcionados por la Empresa Concesionaria del Servicio Eléctrico ELECTROUCAYALI S.A, así como los Costos de Inversión, Operación, Mantenimiento, Costo de Potencia y Energía son proporcionados por el Organismo Fiscalizador en el Sector Eléctrico OSINERMING.

TRATAMIENTO DE LA INFORMACIÓN

Los datos obtenidos mediante la aplicación de las técnicas e instrumentos indicados anteriormente, habiendo recurrido a las fuentes correspondientes, se han incorporado al programa de computación Microsoft Excel, para realizar los gráficos y esquemas requeridos para el posterior análisis de los mismos.

ANÁLISIS DE LOS RESULTADOS

Los resultados son procesados haciendo uso de los Programas de Computación Microsoft Word, Microsoft Excel y Autocad.

3.2 TIPO DE INVESTIGACIÓN

a) Tipo de investigación

Aplicada, porque se emplearon las teorías establecidas según los antecedentes de estudio; con esta investigación se trató un problema práctico y descriptivo, y los datos obtenidos fueron confiables y la formulación técnica-científica aplicada por observación directa.

Cuantitativa y Descriptiva porque se describir el Sistema Eléctrico, así como a cuantificar la carga, manipularon las variables de estudio y se cuantifica la carga a utilizar.

3.3 VARIABLE

Sección Económica Óptima del conductor de la línea de transmisión 60kv
SEPI-SEPU, Departamento de Ucayali.

IV. RESULTADOS Y DISCUSIÓN

4.1 RESULTADOS

EVALUACIÓN DEL SISTEMA DE TRANMISIÓN PUCALLPA

La Subestación de Potencia Pucallpa (SEPU), actualmente abastece una demanda de 24.5 MW, representando más del 60% de la demanda total del sistema eléctrico Pucallpa, convirtiéndose de esta manera en una subestación estratégica e importante para garantizar el suministro eléctrico de la localidad de Pucallpa.

La alimentación de la subestación de potencia Pucallpa (SEPU), es a través de la línea de transmisión 60 KV L6673 (SEYA-SEPU); dicha línea de transmisión actualmente se encuentra observada por OSINERGMIN por presentar deficiencias de índole normativo y técnico; obligando de esta manera a la concesionaria a sacarla fuera de servicio para ser remodelada en su integridad. La línea de transmisión L6673 SEYA-SEPU, tiene una antigüedad de 20 años de operación (tiempo de vida útil cumplido) y la mayoría de las estructuras tienen la base deteriorada por la corrosión severa terminal; este hecho implica el colapso inminente de las estructuras por cualquier fuerza externa a la que sean sometidos, tales como, vientos fuertes o choque leves por agentes externos; por lo que es necesario el refuerzo inmediato de algunas estructuras y el reemplazo de otros. En el Anexo 01 – Máxima Demanda se detalla la Potencia y Energía entregadas por el Concesionario ElectroUcayali SA.

Resumen Demanda Actual y Proyectada

	DEMANDA MAXIMA (MW)			
	ACTUAL (2017)	Distribución (%)	PROYECTADA (2026)	PROYECTADA (2036)
SEPU	24.5	60%	37.64	68.91
SEPI	10.02	24%		
SEYA	6.46	16%		
TOTAL	38.33	100%		

El Sistema de Transmisión en el Departamento de Ucayali Consta de 2 Líneas de Transmisión en 60 kV SEPI-SEYA de 6.83 km. Y SEYA-SEPU DE 6.15 km.

PROPIEDAD DE TERMOSELVA S.R.L.

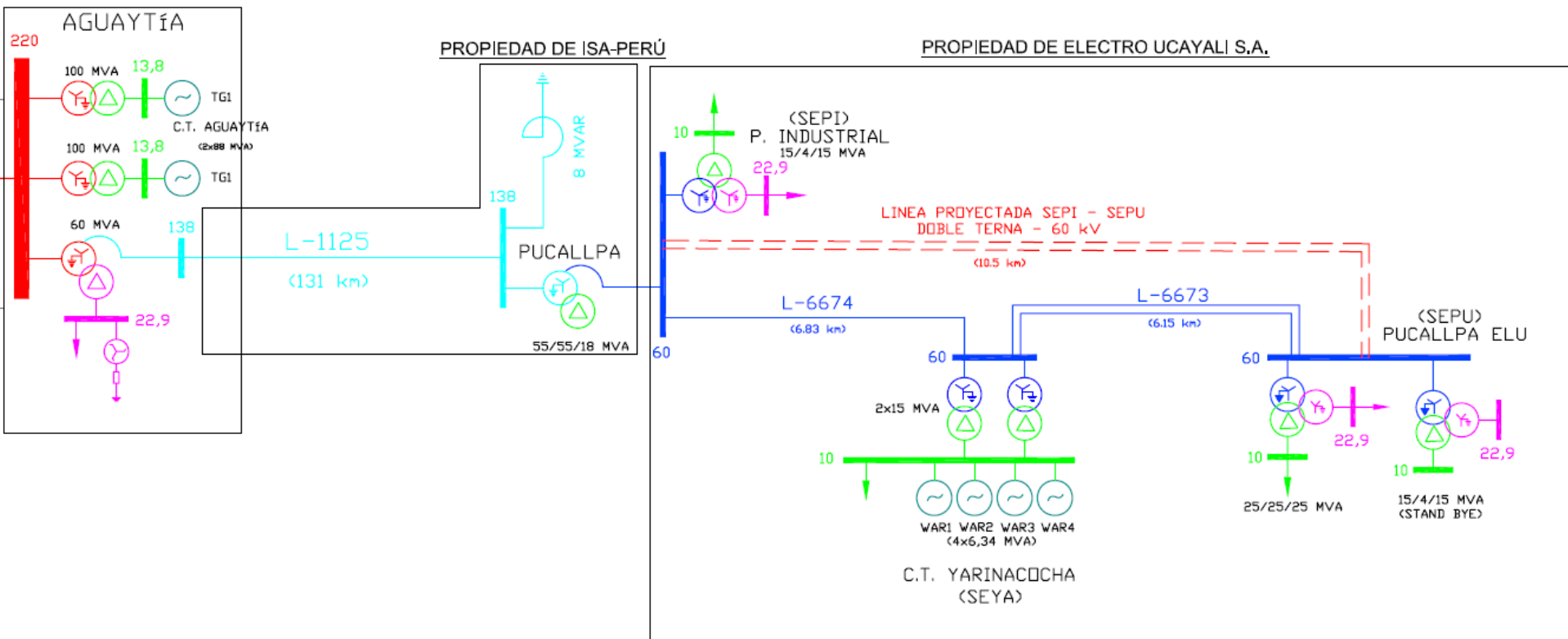


Gráfico No.11. Diagrama Unifilar Sistema de Transmisión Pucallpa. Elaboración Propia.

A Continuación se procede a Evaluar la línea de transmisión SEPI-SEYA.

CALCULO DE COSTOS Y PERDIDAS LT 60 KV ACAR 240 MM2 (SIMPLE Terna) SEPI-SEYA

Rac= ohms/km

	AÑO	P (kW)	E (KWh)	Pp (Kw)	Longitud (Km)	Perdida Potencia (KW)	Perdida Potencia (%)	Perdida Energia (%)	Fc	Tiempo (horas/año)	Fp	Ep (Kwh)	Costo Perdidas (US\$/año)	C. Perd VP (US\$)	Costo LT (US\$/km)	Mant LT (US\$/km)	Cost+Mant a VP (US\$/km)	Total a VP (US\$/km)
0	2017	20,565.43	114,947,229.99	32.31	6.38	206.11	1.00%	0.73%	0.627	8760	0.46	836,547.99	72,085.71	64,362.24	121,623.04	3,928.42	121,623.04	
1	2018	21,847.15	124,258,064.07	36.46	6.38	232.60	1.06%	0.78%	0.638	8760	0.48	970,701.80	83,645.80	66,681.92	3,928.42	3,507.52	3,928.42	
2	2019	23,208.75	134,323,084.49	41.14	6.38	262.50	1.13%	0.84%	0.649	8760	0.49	1,126,451.55	97,066.83	69,090.25	3,928.42	3,131.72	3,928.42	
3	2020	24,655.20	145,203,381.06	46.43	6.38	296.24	1.20%	0.90%	0.661	8760	0.50	1,307,286.56	112,649.46	71,590.77	3,928.42	2,796.17	3,928.42	
4	2021	26,191.81	156,964,991.91	52.40	6.38	334.32	1.28%	0.97%	0.672	8760	0.52	1,517,261.92	130,743.13	74,187.16	3,928.42	2,496.58	3,928.42	
5	2022	27,824.18	169,679,304.35	59.14	6.38	377.29	1.36%	1.04%	0.684	8760	0.53	1,761,090.53	151,753.95	76,883.27	3,928.42	2,229.09	3,928.42	
6	2023	29,558.29	183,423,488.08	66.74	6.38	425.78	1.44%	1.11%	0.696	8760	0.55	2,044,250.19	176,153.94	79,683.10	3,928.42	1,990.26	3,928.42	
7	2024	31,400.48	198,280,963.67	75.31	6.38	480.51	1.53%	1.20%	0.708	8760	0.56	2,373,108.12	204,491.78	82,590.80	3,928.42	1,777.02	3,928.42	
8	2025	37,644.97	250,472,032.48	108.25	6.38	690.62	1.83%	1.48%	0.746	8760	0.61	3,714,097.56	320,045.43	92,005.41	3,928.42	1,586.62	3,928.42	
11	2028	39,991.15	270,760,503.42	122.16	6.38	779.39	1.95%	1.59%	0.760	8760	0.63	4,312,805.66	371,636.37	95,389.80	3,928.42	1,129.33	3,928.42	
12	2029	42,483.55	292,692,359.64	137.86	6.38	879.56	2.07%	1.71%	0.773	8760	0.65	5,008,375.61	431,573.94	98,905.61	3,928.42	900.29	3,928.42	
13	2030	45,131.29	316,400,716.91	155.58	6.38	992.62	2.20%	1.84%	0.786	8760	0.67	5,816,532.58	501,213.19	102,558.15	3,928.42	803.83	3,928.42	
15	2032	47,944.05	342,029,473.49	175.58	6.38	1,120.20	2.34%	1.98%	0.800	8760	0.69	6,755,563.13	582,129.87	106,352.95	3,928.42	717.71	3,928.42	
16	2033	50,932.10	369,734,183.53	198.15	6.38	1,264.18	2.48%	2.12%	0.814	8760	0.71	7,846,733.64	676,156.51	110,295.77	3,928.42	640.81	3,928.42	
17	2034	54,106.39	399,683,001.22	223.62	6.38	1,426.67	2.64%	2.28%	0.829	8760	0.73	9,114,777.39	785,424.40	114,392.62	3,928.42	572.15	3,928.42	
18	2035	57,478.50	432,057,701.40	252.36	6.38	1,610.04	2.80%	2.45%	0.843	8760	0.75	10,588,461.49	912,412.41	118,649.74	3,928.42	510.85	3,928.42	
19	2036	61,060.78	467,054,782.83	284.79	6.38	1,816.98	2.98%	2.63%	0.858	8760	0.77	12,301,246.76	1,060,003.88	123,073.63	3,928.42	456.12	3,928.42	
20	2037	64,866.32	504,886,660.88	321.40	6.38	2,050.52	3.16%	2.83%	0.873	8760	0.80	14,292,055.82	1,231,552.78	127,671.09	3,928.42	407.25	3,928.42	
21	2038	68,909.04	-	362.71	6.38	2,314.08	3.36%	3.03%	0.889	8760	0.82	16,606,167.32	1,430,960.79	132,449.18	3,928.42	363.61	3,928.42	
													1,981,171.53			150,966.18	2,132,137.72	

Tabla N° 01 Cálculo de Costos y Pérdidas de la Línea de Transmisión SEPI-SEYA. Elaboración Propia.

Y se procede a Evaluar la línea de transmisión SEYA-SEPU.

CALCULO DE COSTOS Y PERDIDAS LT 60 KV ACAR 175 MM2 - SEYA - SEPU

Rac= [REDACTED] ohms/km

	AÑO	P (kW)	E (KWh)	Pp (Kw)	Longitud (Km)	Perdida Potencia (KW)	Perdida Potencia (%)	Perdida Energia (%)	Fc	Tiempo (horas/año)	Fp	Ep (Kwh)	Costo Perdidas (US\$/año)	C. Perd VP (US\$)	Costo LT (US\$/km)	Mant LT (US\$/km)	Cost+Mant a VP (US\$/km)	Total a VP (US\$/km)
0	2017	20,565.43	106,334,070.00	40.38	6.14	247.95	1.21%	0.95%	0.627	8760	0.46	1,006,348.87	86,717.53	-	-	125,414.72	125,414.72	
1	2018	20,847.15	114,947,229.99	45.57	6.14	279.82	1.28%	1.02%	0.638	8760	0.48	1,167,732.96	100,624.07	77,426.36	80,216.89	4,050.90	3,616.87	
2	2019	21,847.15	124,258,064.07	51.43	6.14	315.78	1.36%	1.09%	0.649	8760	0.49	1,355,096.50	116,769.27	83,114.06	83,114.06	4,050.90	3,229.35	
3	2020	23,208.75	134,323,084.49	58.04	6.14	356.37	1.45%	1.17%	0.661	8760	0.50	1,572,637.05	135,514.83	86,122.12	86,122.12	4,050.90	2,883.35	
4	2021	24,655.20	145,203,381.06	65.50	6.14	402.17	1.54%	1.26%	0.672	8760	0.52	1,825,232.80	157,281.12	89,245.53	89,245.53	4,050.90	2,574.42	
5	2022	26,191.81	156,964,991.91	73.92	6.14	453.87	1.63%	1.35%	0.684	8760	0.53	2,118,553.27	182,556.67	92,488.89	92,488.89	4,050.90	2,298.59	
6	2023	27,824.18	169,679,304.35	83.42	6.14	512.20	1.73%	1.45%	0.696	8760	0.55	2,459,188.12	211,909.33	95,857.02	95,857.02	4,050.90	2,052.31	
7	2024	31,400.48	183,423,488.08	94.14	6.14	578.04	1.84%	1.56%	0.708	8760	0.56	2,854,796.99	245,999.12	99,354.92	99,354.92	4,050.90	1,832.42	
8	2025	37,644.97	231,703,805.62	135.31	6.14	830.80	2.21%	1.93%	0.746	8760	0.61	4,467,977.86	385,007.63	110,680.49	110,680.49	4,050.90	1,636.09	
11	2028	39,991.15	250,472,032.48	152.70	6.14	937.59	2.34%	2.07%	0.760	8760	0.63	5,188,210.58	447,070.40	114,751.84	114,751.84	4,050.90	1,164.54	
12	2029	42,483.55	270,760,503.42	172.33	6.14	1,058.10	2.49%	2.23%	0.773	8760	0.65	6,024,965.95	519,173.98	118,981.28	118,981.28	4,050.90	928.36	
13	2030	45,131.29	292,692,359.64	194.48	6.14	1,194.10	2.65%	2.39%	0.786	8760	0.67	6,997,161.06	602,948.47	123,375.20	123,375.20	4,050.90	828.89	
14	2031	47,944.05	316,400,716.91	219.47	6.14	1,347.58	2.81%	2.57%	0.800	8760	0.69	8,126,794.21	700,289.45	127,940.27	127,940.27	4,050.90	740.08	
15	2032	50,932.10	342,029,473.49	247.68	6.14	1,520.78	2.99%	2.76%	0.814	8760	0.71	9,439,448.38	813,401.45	132,683.40	132,683.40	4,050.90	660.79	
16	2033	54,106.39	369,734,183.53	279.52	6.14	1,716.25	3.17%	2.97%	0.829	8760	0.73	10,964,877.19	944,848.32	137,611.81	137,611.81	4,050.90	589.99	
18	2035	57,478.50	399,683,001.22	315.45	6.14	1,936.84	3.37%	3.19%	0.843	8760	0.75	12,737,686.83	1,097,612.11	142,733.03	142,733.03	4,050.90	526.78	
19	2036	61,060.78	432,057,701.40	355.99	6.14	2,185.79	3.58%	3.43%	0.858	8760	0.77	14,798,129.92	1,275,161.41	148,054.88	148,054.88	4,050.90	470.34	
20	2037	64,866.32	467,054,782.83	401.75	6.14	2,466.73	3.80%	3.68%	0.873	8760	0.80	17,193,029.53	1,481,530.97	153,585.52	153,585.52	4,050.90	419.94	
21	2038	68,909.04	504,886,660.88	453.39	6.14	2,783.79	4.04%	3.96%	0.889	8760	0.82	19,976,854.89	1,721,414.43	159,333.45	159,333.45	4,050.90	374.95	
													2,383,305.88			155,672.65	2,538,978.53	

Tabla N° 02 Cálculo de Costos y Pérdidas de la Línea de Transmisión SEYA-SEPU. Elaboración Propia.

TRAZO DE RUTA DE LA LÍNEA PROYECTADA

Se Propone que La línea de transmisión proyectada en 60 kV, se instale dentro de la zona urbana de la ciudad de Pucallpa, es decir, estará ubicada dentro de terrenos público por utilizar como ruta las principales calles de la ciudad. En el Plano 01 Trazo de ruta se detalla en la sección Anexos, se muestra el recorrido de la línea desde SEPI (salida) hasta SEPU (llegada).

Tramo 01: Vértices V1-V2

Tramo de 117 m. de longitud.

Este tramo se inicia en la SET Parque Industrial (SEPI) y sale hacia la carretera Federico Basadre.

Tramo 02: Vértices V2-V3

Tramo de aproximadamente 2,169 mts.

Este tramo se inicia a la altura de SEPI y recorre parte de la carretera Federico Basadre.

Tramo 03: Vértices V3-V4

Tramo de aproximadamente 1,265 mts.

Este tramo se inicia en la intercepción entre la carretera Federico Basadre y la Av. Fernando Belaunde, y recorre parte de la Av. Fernando Belaunde.

Tramo 04: Vértices V4-V5

Tramo de aproximadamente 3,519 mts.

Este tramo se inicia en la intercepción entre la Av. Fernando Belaunde y la Av. Túpac Amaru, y recorre parte de la Av. Túpac Amaru.

Tramo 05: Vértices V5-V6

Tramo de aproximadamente 1,162 mts.

Este tramo se inicia en la intercepción de la Av. Túpac Amaru y la Av. Aviación, y recorre parte de la Av. Aviación.

Tramo 06: Vértices V6-V7

Tramo de aproximadamente 1,888 mts.

Este tramo se inicia en la intercepción entre la Av. Aviación y la Av. Centenario, y recorre parte de la Av. Centenario.

Tramo 07: Vértices V7-V8

Tramo de aproximadamente 55 mts.

Este tramo se inicia en la intercepción entre la Av. Centenario y la Av. Colonización, y recorre parte de la Av. Colonización culminando con el ingresando a la SET Pucallpa (SEPU).

BREVE DESCRIPCIÓN GEOLOGICA DE LA SUPERFICIE

Geológicamente, la zona de estudio forma parte de una cuenca de sedimentación continental, denominada “Oriente”, conformada por la deposición de sedimentos arcillosos y arenosos

Geomorfológicamente, se observa que la configuración del relieve y el modelo actual resultante es una consecuencia de los procesos morfodinámicos desarrollados, los que se caracterizan en general por presentar una topografía relativamente homogénea y casi plana o micro ondulada.

FACILIDAD DE ACCESO

Para el montaje y suministro de materiales no se tendrá ningún problema porque la obra se ejecutara en la ciudad de Pucallpa y la ruta de la línea está en las calles principales de la misma ciudad.

LONGUITUD

La longitud de la línea es de 10,5 Km.

DETERMINACIÓN DEL CALIBRE ECONÓMICO ÓPTIMO PARA LA LINEA DE TRANSMISIÓN 60kV

La línea en estudio tendrá su inicio en la S.E. Parque industrial y S.E. Pucallpa. La capacidad de la línea proyectada será de 70 MW (35 MW por terna), con 0.85 de factor de potencia, con pérdidas de potencia menor a 3%.

El Sistema Eléctrico tiene las siguientes características:

- Tensión Nominal: 60 kV rms.
- Frecuencia Nominal: 60 Hz
- Máxima tensión de operación: 72.5 kV rms.
- Neutro: Efectivamente conectado a tierra.

Base la ecuación de balance térmico

$$W_c + W_r = W_j + W_i$$

$$W_c = 13.8 \cdot T_i \cdot (V \cdot d)^{0.448} / 10000$$

$$W_r = P_i \cdot E.S.d.((T_i + T_a)^{4} - T_a^{4})$$

$$W_i = a.s.S1.d$$

$$W_j = I^2 \cdot R_{tc}$$

CALCULO DE LA AMPACITANCIA 120 mm²

POS	DESCRIPCION	UNIDAD	1	CONDICIONES DIVERSAS		
				2	3	4
1	Material		AAAC	AAAC	AAAC	AAAC
2	Calibre		120	120	120	120
3	Sección		126.7	117.8	117.8	117.8
4	Diámetro	cm	1.455	1.405	1.405	1.405
5	Resistencia eléctrica	ohm/km	0.2572	0.284	0.284	0.284
6	Temperatura	C°	20	20	20	20
7	Coeficiente de resistividad termica		0.0036	0.0036	0.0036	0.0036
8	Coeficiente de absorción solar		0.9	0.9	0.9	0.9
9	Radiación solar	w/cm ²	0.105	0.105	0.105	0.105
10	Emisividad		0.9	0.9	0.9	0.9
11	Constante Stefan	w/cm ²	5.70E-12	5.7E-12	5.7E-12	5.7E-12
12	Elevación de la temperatura	C°	25	15	40	35
CONDICIONES DE TEMPERATURA			MIN PROMEDIO	MAXIMA	MAX PROMEDIO	PROMEDIO
13	Temperatura ambiente	C°	33	35	10	26.5
14	Velocidad de viento	cm/seg	55.55	55.55	55.55	55.55
15	Resistencia a tc	ohm/cm	2.85E-06	3.14672E-06	3.14672E-06	3.14672E-06
16	Energía disipada por convección		0.2468	0.1458	0.3888	0.3402
17	Energía disipada por radiación		0.0703	0.0388	0.1170	0.0999
18	Energía absorbida por insolación		0.1375	0.1328	0.1328	0.1328
19	Corriente en el conductor	A	251.07	128.28	344.28	312.49
20	Temperatura final en el conductor	C°	50	50	50	50
21	Potencia a transmitir	mW	22.2	11.3	30.4	27.6
22	Tensión	kV	60	60	60	60
23	Factor de Potencia		0.85	0.85	0.85	0.85

Tabla N° 03 Cálculo de la Ampacitancia 120 mm. Elaboración Propia.

CALCULO DE LA AMPACITANCIA 150 mm²

POS	DESCRIPCION	UNIDAD	1	CONDICIONES DIVERSAS		
				2	3	4
1	Material		AAAC	AAAC	AAAC	AAAC
2	Calibre		150	150	150	150
3	Sección		148.07	148.07	148.07	148.07
4	Diámetro	cm	1.575	1.575	1.575	1.575
5	Resistencia eléctrica	ohm/km	0.232	0.232	0.232	0.232
6	Temperatura	C°	20	20	20	20
7	Coeficiente de resistividad termica		0.0036	0.0036	0.0036	0.0036
8	Coeficiente de absorción solar		0.9	0.9	0.9	0.9
9	Radiación solar	w/cm ²	0.105	0.105	0.105	0.105
10	Emisividad		0.9	0.9	0.9	0.9
11	Constante Stefan	w/cm ²	5.70E-12	5.7E-12	5.7E-12	5.7E-12
12	Elevación de la temperatura	C°	25	15	40	35
CONDICIONES DE TEMPERATURA			MIN PROMEDIO	MAXIMA	MAX PROMEDIO	PROMEDIO
13	Temperatura ambiente	C°	33	35	10	26.5
14	Velocidad de viento	cm/seg	55.55	55.55	55.55	55.55
15	Resistencia a tc	ohm/cm	2.57E-06	2.57056E-06	2.57056E-06	2.57056E-06
16	Energía disipada por convección		0.2558	0.1535	0.4092	0.3581
17	Energía disipada por radiación		0.0761	0.0435	0.1311	0.1119
18	Energía absorbida por insolación		0.1488	0.1488	0.1488	0.1488
19	Corriente en el conductor	A	266.83	136.74	390.25	353.47
20	Temperatura final en el conductor	C°	50	50	50	50
21	Potencia a transmitir	mW	23.6	12.1	34.5	31.2
22	Tensión	kV	60	60	60	60
23	Factor de Potencia		0.85	0.85	0.85	0.85

Tabla N° 04 Cálculo de la Ampacitancia 150mm. Elaboración Propia.

CALCULO DE LA AMPACITANCIA 185 mm²

POS	DESCRIPCION	UNIDAD	1	CONDICIONES DIVERSAS			
				2	3	4	
1	Material		AAAC	AAAC	AAAC	AAAC	
2	Calibre		185	185	185	185	
3	Sección		181.62	181.62	181.62	181.62	
4	Diámetro	cm	1.75	1.75	1.75	1.75	
5	Resistencia eléctrica	ohm/km	0.1842	0.1842	0.1842	0.1842	
6	Temperatura	C°	20	20	20	20	
7	Coeficiente de resistividad termica		0.0036	0.0036	0.0036	0.0036	
8	Coeficiente de absorción solar		0.9	0.9	0.9	0.9	
9	Radiación solar	w/cm ²	0.105	0.105	0.105	0.105	
10	Emisividad		0.9	0.9	0.9	0.9	
11	Constante Stefan	w/cm ²	5.70E-12	5.7E-12	5.7E-12	5.7E-12	
12	Elevación de la temperatura	C°	25	15	40	35	
CONDICIONES DE TEMPERATURA			MIN PROMEDIO	MAXIMA	MAX PROMEDIO	PROMEDIO	
13	Temperatura ambiente	C°	33	35	10	26.5	
14	Velocidad de viento	cm/seg	55.55	55.55	55.55	55.55	
15	Resistencia a tc	ohm/cm	2.04E-06	2.04094E-06	2.04094E-06	2.04094E-06	
16	Energía disipada por convección		0.2681	0.1609	0.4290	0.3754	
17	Energía disipada por radiación		0.0846	0.0483	0.1457	0.1244	
18	Energía absorbida por insolación		0.1654	0.1654	0.1654	0.1654	
19	Corriente en el conductor	A	302.94	146.45	447.82	404.76	
20	Temperatura final en el conductor	C°	50	50	50	50	
21	Potencia a transmitir	mW	26.8	12.9	39.6	35.8	
22	Tensión	kV	60	60	60	60	
23	Factor de Potencia		0.85	0.85	0.85	0.85	

Tabla N° 05 Cálculo de la Ampacitancia 185mm. Elaboración Propia.

CALCULO DE LA AMPACITANCIA 240 mm²

POS	DESCRIPCION	UNIDAD	1	CONDICIONES DIVERSAS			
				2	3	4	
1	Material		AAAC				
2	Calibre			240	240	240	240
3	Sección			235.8	235.8	235.8	235.8
4	Diámetro	mm		19.95	19.95	19.95	19.95
5	Resistencia eléctrica	ohm/km		0.14	0.14	0.14	0.14
6	Temperatura ambiente máxima promedio	C°		26.5	26.5	26.5	26.5
7	Coeficiente de resistividad termica			0.0036	0.0036	0.0036	0.0036
8	Coeficiente de absorción solar	w/cm ²		0.9	0.9	0.9	0.9
9	Radiación solar			0.105	0.105	0.105	0.105
10	Emisividad			0.9	0.9	0.9	0.9
11	Constante Stefan	w/cm ²		5.70E-12	5.7E-12	5.7E-12	5.7E-12
12	Elevación de la temperatura	C°		25	15	40	35
CONDICIONES DE TEMPERATURA							
13	Temperatura ambiente	C°		25	35	10	15
14	Velocidad de viento	cm/seg		55.55	55.55	55.55	55.55
15	Resistencia a tc	ohm/cm		1.55E-06	1.5512E-06	1.5512E-06	1.5512E-06
16	Energía disipada por convección			0.2837	0.1702	0.4539	0.3972
17	Energía disipada por radiación			0.0959	0.0548	0.1653	0.1411
18	Energía absorbida por insolación			0.1876	0.1876	0.1876	0.1876
19	Corriente en el conductor	A		451.84	255.25	545.00	495.46
20	Temperatura final en el conductor	C°		50	50	50	50
21	Potencia a transmitir	MVA		46.9	26.5	56.6	51.4
22	Tensión	kV		60	60	60	60
23	Factor de Potencia			0.85	0.85	0.85	0.85

Tabla N° 06 Cálculo de la Ampacitancia 150mm. Elaboración Propia.

CALCULO DE LA AMPACITANCIA 300 mm²

POS	DESCRIPCION	UNIDAD	1	CONDICIONES DIVERSAS			
				2	3	4	
1	Material		AAAC	AAAC	AAAC	AAAC	AAAC
2	Calibre		240	240	240	240	240
3	Sección		235.8	235.8	235.8	235.8	235.8
4	Diámetro	mm	19.95	19.95	19.95	19.95	19.95
5	Resistencia eléctrica	ohm/km	0.14	0.14	0.14	0.14	0.14
6	Temperatura ambiente máxima promedio	C°	26.5	26.5	26.5	26.5	26.5
7	Coeficiente de resistividad termica		0.0036	0.0036	0.0036	0.0036	0.0036
8	Coeficiente de absorción solar		0.9	0.9	0.9	0.9	0.9
9	Radiación solar	w/cm ²	0.105	0.105	0.105	0.105	0.105
10	Emisividad		0.9	0.9	0.9	0.9	0.9
11	Constante Stefan	w/cm ²	5.70E-12	5.7E-12	5.7E-12	5.7E-12	5.7E-12
12	Elevación de la temperatura	C°	25	15	40	40	35
CONDICIONES DE TEMPERATURA							
13	Temperatura ambiente	C°	25	35	10	10	15
14	Velocidad de viento	cm/seg	55.55	55.55	55.55	55.55	55.55
15	Resistencia a tc	ohm/cm	1.55E-06	1.5512E-06	1.5512E-06	1.5512E-06	1.5512E-06
16	Energía disipada por convección		0.3688	0.2213	0.5901	0.5163	
17	Energía disipada por radiación		0.1247	0.0712	0.2148	0.1834	
18	Energía absorbida por insolación		0.2439	0.2439	0.2439	0.2439	0.2439
19	Corriente en el conductor	A	587.39	331.83	750.58	644.09	
20	Temperatura final en el conductor	C°	65	65	65	65	65
21	Potencia a transmitir	MVA	61.0	34.4	73.5	66.9	
22	Tensión	kV	60	60	60	60	60
23	Factor de Potencia		0.85	0.85	0.85	0.85	0.85

Tabla N° 07 Cálculo de la Ampacitancia 300mm. Elaboración Propia.

RESUMEN CALCULO DE LA AMPACITANCIA

POS	DESCRIPCION	UNIDAD	1	CONDICIONES DIVERSAS			
				2	3	4	
	CONDICIONES DE TEMPERATURA			MAX PROMEDIO		MAXIMA	MIN PROMEDIO
	Temperatura ambiente	C°		25	35	10	15
1 2	Corriente en el conductor Potencia a transmitir	A mW			120 mm²		
			251.07 22.2	128.28 11.3	344.28 30.4	312.49 27.6	
3 4	Corriente en el conductor Potencia a transmitir	A mW			150 mm²		
			266.83 23.6	136.74 12.1	390.25 34.5	353.47 31.2	
5 6	Corriente en el conductor Potencia a transmitir	A mW			185 mm²		
			302.94 26.76	146.45 12.94	447.82 39.56	404.76 35.75	
7 8	Corriente en el conductor Potencia a transmitir	A mW			240 mm²		
			351.84 31.1	155.25 13.7	527.46 46.6	475.46 42.0	
9 10	Corriente en el conductor Potencia a transmitir	A mW			300		
			587.39 61.0	331.83 34.4	750.58 73.5	644.09 66.9	

Tabla N° 08 Resumen Cálculo de la Ampacitancia. Elaboración Propia.

Para la corriente de 351.84 A (potencia de MVA y calibre 240 mm), a temperatura en el conductor de 50° C.

CALCULO DEL BALANCE TERMICO DEL CONDUCTOR

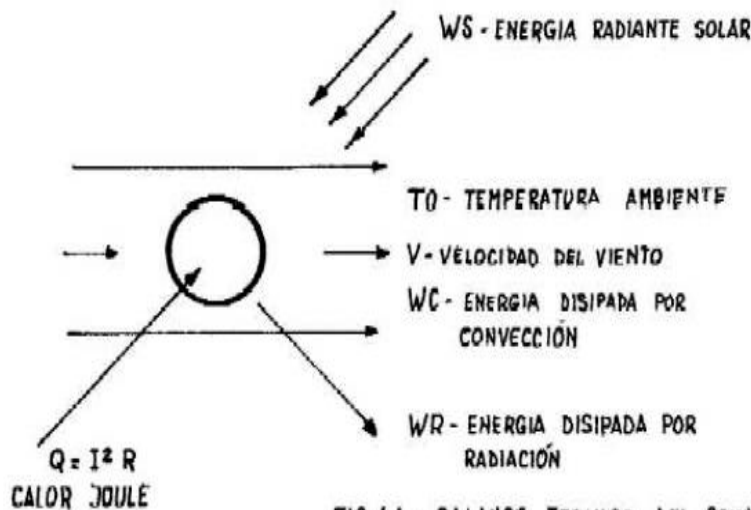


FIG 4.1 - BALANCE TERMICO DEL CONDUCTOR

Al circular una corriente en el conductor produce una cierta cantidad de calor por efecto joule .

Cuando el sistema se encuentra en regimen, todo el calor producido es disipado parte por conveccion, parte por radiacion.

Utilizaremos la Formula de SHURIG Y FRICK.

$$W_c = \frac{95.5 * \sqrt{PV} * \Delta T}{(T_a + \frac{\Delta T}{2})^{0.125} * \sqrt{D}}$$

$$W_r = 5700 * Em * \left(\left(\frac{T_a + \Delta T}{1000} \right)^4 - \left(\frac{T_a}{1000} \right)^4 \right)$$

Donde:

W_c =Calor disipado por conveccion en (W/m²)

P= Presion en (atm)

V= Velocidad del aire en (km/h)

ΔT = Sobre temperatura del conductor respecto al ambiente en (°K)

T_a = Temperatura absoluta del ambiente en (°K)

D= Diametro del conductor en (mm)

W_r = Calor disipado por radiacion en (W/m²)

Em= Emisividad del conductor

Datos

A=Area del conductor (mm ²)	240	▼
V= Velocidad del aire en (km/h)	75	
P= Presion en (kg/m ²)	23.625	
P= Presion en (atm)	0.00228731	
T _a = Temperatura absoluta del ambiente en (°C)	30	
T _a = Temperatura absoluta del ambiente en (°K)	303	
D= Diametro del conductor en (mm)	19.95	
Em= Emisividad del conductor	0.38	
ΔT= Sobre temperatura del conductor respecto al ambiente (°C)	20	
ΔT= Sobre temperatura del conductor respecto al ambiente (°K)	293	
I _t =Corriente a transportar (A)	545	

1. Calor por convección Según la formula de SHURIG

$$W_c = \text{Calor disipado por convección en (W/m²)}$$

1209.21

2. Calor por radiacion Según la formula de FRICK

$$W_r = \text{Calor disipado por radiación en (W/m²)}$$

255.05

3 .Resistencia del conductor

$$R = R_0 * (1 + \alpha * (T_a + \Delta T - T_0))$$

Donde:

$$R_0 = \text{Resistencia a la temperatura de referencia (Ohm/km)}$$

0.139

$$T_0 = \text{Temperatura de referencia del conductor (°C)}$$

20

$$\alpha = \text{Coeficiente de aumento de la resistividad (1/C°)}$$

0.0036

$$R_0 = \text{Resistencia a la temperatura de referencia (Ohm/km)}$$

0.154012

4. Corriente admisible en las condiciones establecidas

$$I = \sqrt{\pi * D * (\frac{W_c + W_r}{R})}$$

$$I = \boxed{771.93 \text{ A}}$$

NOTA:

La corriente a transportar debe ser menor o igual a esta corriente admisible del conductor elegido.

OK**Conclusion :**

Por lo tanto se utilizará del conductor AAC de 240mm²

CARACTERISTICAS FUNDAMENTALES DE LA LINEA

Datos

Sección del conductor de AAC (mm ²)	240
Temperatura de operación(°C)	35
R _{20°C} (ohm/km)	0.139
Disposición	Dos terna
DMG (m)	2.897818415
r _e (m)	0.008740387
CosΦ	0.85
Ø (°)	31.78833062
Frecuencia (Hz)	60
Longitud de la linea (km)	10.5
Tensión (kV)	60

1. Resistencia a la temperatura de operación (R₁)

$$R_1 = R_{20^\circ C} * (1 + 0.0036 * (T - 20))$$

R₁ (ohm/km)= 0.146506

2. Reactancia inductiva (X_L)

$$X_L = 377 * (0.5 + 4.6 * \log(\frac{DMG}{r_e})) * 10^{-4}$$

X_L (ohm/km)= 0.455962131



3. Impedancia de la linea (Z_L)

$$Z_L = R_1 + jX_L$$


Z_L (ohm/km)= 0.146506+0.455962130630682i

Z_L (ohm/km)= 0.478921155 ∠ 72.19

$$Z_L = \sqrt{R_1^2 + X_L^2}$$

Z_L (ohm)= 5.028672126 ∠ 72.19

4. Conductancia

$$G = \frac{1}{R_1}$$


G_L (uS/km)= 0.000006826

G_L (uS/km)= 0

5. Capacidad

$$C = \frac{24.2}{\log(\frac{DMG}{r_e})}$$


C_L (nF/km)= 9.60111538

6. Susceptancia

$$B = \frac{24.2}{\log\left(\frac{DMG}{r_e}\right)} * 10^{-9} * 2 * \pi * f$$

$$B (\text{S/km}) = 3.6195E-06$$

7. Admitancia

$$Y = G + jB$$

$$Y (\text{S/km}) = 3.61953522513145E-06i$$

$$Y (\text{S/km}) = 3.61954E-06 \angle 90.00$$



$$Y (\text{S}) = 3.80051E-05 \angle 90.00$$

8. Impedancia Caracteristica o natural de la linea

$$Z_c = \sqrt{\frac{Z}{Y}}$$



$$Z_c (\text{Ohm}) = 363.75$$

CALCULO DEL MOMENTO ELECTRICO

$$M_{Elect} = P * L = \frac{u}{100} * \left(\frac{U^2}{R_1 + X_L * Tg\phi} \right)$$

Datos:

R1 (ohm/km)= 0.146506

XL (ohm/km)= 0.45596213

CosØ 0.9

Ø (°) 31.7883306

u (%) 5

Longitud de la linea (km) 10.5

U (kV)

1. Momento Electrico



$$M_{ELECTRIC} = 419.50 \text{ MW-km}$$

2. Potencia de transporte



$$P = 39.95 \text{ MW}$$

3. Perdida de potencia

$$p\% = \frac{100 * R_1 * P}{U^2 * \text{Cos}^2\phi}$$

p% = 0.225037022

En linea de 10.5 km p% = 2.36



$$\begin{aligned} p &= 0.944022148 \text{ MW} \\ p &= 944.02 \text{ kW} \end{aligned}$$

CALCULO DE COSTO Y PÉRDIDAS PARA LA LÍNEA DE TRANMISIÓN 60 kV SEPI-SEPU

CALCULO DE COSTOS Y PERDIDAS LT 60 KV AAAC 120 MM2 - DOBLE TERRA

Rac= [REDACTED] ohms/km

	AÑO	P (kW)	E (KWh)	Pp (Kw)	Longitud (Km)	Perdida Potencia (KW)	Perdida Potencia (%)	Perdida Energia (%)	Fc	Tiempo (horas/año)	Fp	Ep (Kwh)	Costo Perdidas (US\$/año)	C. Perd VP (US\$)	Costo LT (US\$/km)	Mant LT (US\$/km)	Cost+Mant a VP (US\$/km)	Total a VP (US\$/km)
0	2017	0	100,331.77															
1	2018	20,565.43	106,334,070.00	30.65	1.00	30.65	0.15%	0.12%	0.627	8760	0.46	124,415.36	10,720.93	9,572.26	3,240.72	2,893.50		
2	2019	21,847.15	114,947,229.99	34.59	1.00	34.59	0.16%	0.13%	0.638	8760	0.48	144,367.34	12,440.20	9,917.25	3,240.72	2,583.48		
3	2020	23,208.75	124,258,064.07	39.04	1.00	39.04	0.17%	0.13%	0.649	8760	0.49	167,531.18	14,436.24	10,275.43	3,240.72	2,306.68		
4	2021	24,655.20	134,323,084.49	44.06	1.00	44.06	0.18%	0.14%	0.661	8760	0.50	194,425.81	16,753.76	10,647.32	3,240.72	2,059.53		
5	2022	26,191.81	145,203,381.06	49.72	1.00	49.72	0.19%	0.16%	0.672	8760	0.52	225,654.34	19,444.73	11,033.46	3,240.72	1,838.87		
6	2023	27,824.18	156,964,991.91	56.11	1.00	56.11	0.20%	0.17%	0.684	8760	0.53	261,917.68	22,569.56	11,434.44	3,240.72	1,641.85		
7	2024	29,558.29	169,679,304.35	63.32	1.00	63.32	0.21%	0.18%	0.696	8760	0.55	304,030.51	26,198.44	11,850.85	3,240.72	1,465.94		
8	2025	31,400.48	183,423,488.08	71.46	1.00	71.46	0.23%	0.19%	0.708	8760	0.56	352,939.81	30,412.98	12,283.29	3,240.72	1,308.87		
11	2028	37,644.97	231,703,805.62	102.71	1.00	102.71	0.27%	0.24%	0.746	8760	0.61	552,378.07	47,598.66	13,683.48	3,240.72	931.63		
12	2029	39,991.15	250,472,032.48	115.91	1.00	115.91	0.29%	0.26%	0.760	8760	0.63	641,420.76	55,271.51	14,186.82	3,240.72	831.81		
13	2030	42,483.55	270,760,503.42	130.81	1.00	130.81	0.31%	0.28%	0.773	8760	0.65	744,869.20	64,185.71	14,709.71	3,240.72	742.69		
14	2031	45,131.29	292,692,359.64	147.63	1.00	147.63	0.33%	0.30%	0.786	8760	0.67	865,062.11	74,542.78	15,252.93	3,240.72	663.11		
15	2032	47,944.05	316,400,716.91	166.60	1.00	166.60	0.35%	0.32%	0.800	8760	0.69	1,004,719.15	86,577.09	15,817.31	3,240.72	592.07		
16	2033	50,932.10	342,029,473.49	188.02	1.00	188.02	0.37%	0.34%	0.814	8760	0.71	1,167,003.17	100,561.18	16,403.71	3,240.72	528.63		
17	2034	54,106.39	369,734,183.53	212.18	1.00	212.18	0.39%	0.37%	0.829	8760	0.73	1,355,592.60	116,812.01	17,013.01	3,240.72	471.99		
18	2035	57,478.50	399,683,001.22	239.45	1.00	239.45	0.42%	0.39%	0.843	8760	0.75	1,574,765.84	135,698.27	17,646.15	3,240.72	421.42		
19	2036	61,060.78	432,057,701.40	270.23	1.00	270.23	0.44%	0.42%	0.858	8760	0.77	1,829,499.33	157,648.77	18,304.09	3,240.72	376.27		
20	2037	64,866.32	467,054,782.83	304.96	1.00	304.96	0.47%	0.46%	0.873	8760	0.80	2,125,581.83	183,162.33	18,987.85	3,240.72	335.95		
21	2038	68,909.04	504,886,660.88	344.16	1.00	344.16	0.50%	0.49%	0.889	8760	0.82	2,469,747.38	212,819.23	19,698.46	3,240.72	299.96		
													294,649.16			124,538.12	419,187.28	

Tabla N° 09 Cálculo de Costos y Pérdidas de la Línea de Transmisión SEPI – SEPU conductor 120 mm2. Elaboración Propia.

CALCULO DE COSTOS Y PERDIDAS LT 60 KV AAAC 240 MM2 - DOBLE TERNA

Rac= [REDACTED] ohms/km

	AÑO	P (kW)	E (KWh)	Pp (Kw)	Longitud (Km)	Perdida Potencia (KW)	Perdida Potencia (%)	Perdida Energia (%)	Fc	Tiempo (horas/año)	Fp	Ep (Kwh)	Costo Perdidas (US\$/año)	C. Perd VP (US\$)	Costo LT (US\$/km)	Mant LT (US\$/km)	Cost+Mant a VP (US\$/km)	Total a VP (US\$/km)
0	2017	20,565.43	106,334,070.00	0	13.03	1.00	13.03	0.06%	0.05%	0.627	8760	0.46	-	-	121,623.04	121,623.04		
1	2018	21,847.15	114,947,229.99	13.03	1.00	14.71	14.71	0.07%	0.05%	0.638	8760	0.48	52,895.15	4,558.00	4,069.64	3,928.42	3,507.52	
2	2019	23,208.75	124,258,064.07	16.60	1.00	16.60	16.60	0.07%	0.06%	0.649	8760	0.49	61,377.73	5,288.95	4,216.32	3,928.42	3,131.72	
3	2020	24,655.20	134,323,084.49	18.73	1.00	18.73	18.73	0.08%	0.06%	0.661	8760	0.50	82,660.08	6,137.56	4,368.59	3,928.42	2,796.17	
4	2021	26,191.81	145,203,381.06	21.14	1.00	21.14	21.14	0.08%	0.07%	0.672	8760	0.52	95,936.87	8,266.92	4,690.87	3,928.42	2,229.09	
5	2022	27,824.18	156,964,991.91	23.86	1.00	23.86	23.86	0.09%	0.07%	0.684	8760	0.53	111,354.22	9,595.44	4,861.35	3,928.42	1,990.26	
7	2024	29,558.29	169,679,304.35	26.92	1.00	26.92	26.92	0.09%	0.08%	0.696	8760	0.55	129,258.48	11,138.26	5,038.38	3,928.42	1,777.02	
8	2025	31,400.48	183,423,488.08	30.38	1.00	30.38	30.38	0.10%	0.08%	0.708	8760	0.56	150,052.26	12,930.07	5,222.24	3,928.42	1,586.62	
11	2028	37,644.97	231,703,805.62	43.67	1.00	43.67	43.67	0.12%	0.10%	0.746	8760	0.61	234,843.37	20,236.56	5,817.53	3,928.42	1,129.33	
12	2029	39,991.15	250,472,032.48	49.28	1.00	49.28	49.28	0.12%	0.11%	0.760	8760	0.63	272,699.85	23,498.67	6,031.52	3,928.42	1,008.33	
13	2030	42,483.55	270,760,503.42	55.62	1.00	55.62	55.62	0.13%	0.12%	0.773	8760	0.65	316,680.92	27,288.53	6,253.83	3,928.42	900.29	
14	2031	45,131.29	292,692,359.64	62.76	1.00	62.76	62.76	0.14%	0.13%	0.786	8760	0.67	367,780.90	31,691.84	6,484.78	3,928.42	803.83	
15	2032	47,944.05	316,400,716.91	70.83	1.00	70.83	70.83	0.15%	0.14%	0.800	8760	0.69	427,156.05	36,808.23	6,724.73	3,928.42	717.71	
16	2033	50,932.10	342,029,473.49	79.93	1.00	79.93	79.93	0.16%	0.15%	0.814	8760	0.71	496,151.05	42,753.56	6,974.03	3,928.42	640.81	
17	2034	54,106.39	369,734,183.53	90.21	1.00	90.21	90.21	0.17%	0.16%	0.829	8760	0.73	576,329.79	49,662.59	7,233.08	3,928.42	572.15	
18	2035	57,478.50	399,683,001.22	101.80	1.00	101.80	101.80	0.18%	0.17%	0.843	8760	0.75	669,511.23	57,692.08	7,502.25	3,928.42	510.85	
19	2036	61,060.78	432,057,701.40	114.89	1.00	114.89	114.89	0.19%	0.18%	0.858	8760	0.77	777,811.09	67,024.33	7,781.98	3,928.42	456.12	
20	2037	64,866.32	467,054,782.83	129.66	1.00	129.66	129.66	0.20%	0.19%	0.873	8760	0.80	903,690.48	77,871.41	8,072.68	3,928.42	407.25	
21	2038	68,909.04	504,886,660.88	146.32	1.00	146.32	146.32	0.21%	0.21%	0.889	8760	0.82	1,050,012.36	90,480.03	8,374.80	3,928.42	363.61	
													125,270.00			150,966.18	276,236.18	

Tabla N° 10 Cálculo de Costos y Pérdidas de la Línea de Transmisión SEPI – SEPU conductor 240 mm2. Elaboración Propia.

CALCULO DE COSTOS Y PERDIDAS LT 60 KV AAAC 300 MM2 - DOBLE TERNA

Rac= [REDACTED] ohms/km

	AÑO	P (kW)	E (kWh)	Pp (Kw)	Longitud (Km)	Perdida Potencia (KW)	Perdida Potencia (%)	Perdida Energia (%)	Fc	Tiempo (horas/año)	Fp	Ep (Kwh)	Costo Perdidas (US\$/año)	C. Perd VP (US\$)	Costo LT (US\$/km)	Mant LT (US\$/km)	Cost+Mant a VP (US\$/km)	Total a VP (US\$/km)
0	2017	0	0	0	0	0	0.06%	0.05%	0.627	0	-	-	-	169,014.77	-	169,014.77		
1	2018	20,565.43	106,334,070.00	12.67	1.00	12.67	0.06%	0.05%	0.627	8760	0.46	51,405.15	4,429.60	3,955.00	5,459.18	4,874.27		
2	2019	21,847.15	114,947,229.99	14.29	1.00	14.29	0.07%	0.05%	0.638	8760	0.48	59,648.78	5,139.96	4,097.55	5,459.18	4,352.02		
3	2020	23,208.75	124,258,064.07	16.13	1.00	16.13	0.07%	0.06%	0.649	8760	0.49	69,219.47	5,964.67	4,245.54	5,459.18	3,885.73		
4	2021	24,655.20	134,323,084.49	18.20	1.00	18.20	0.07%	0.06%	0.661	8760	0.50	80,331.62	6,922.21	4,399.19	5,459.18	3,469.41		
5	2022	26,191.81	145,203,381.06	20.54	1.00	20.54	0.08%	0.06%	0.672	8760	0.52	93,234.43	8,034.05	4,558.74	5,459.18	3,097.68		
6	2023	27,824.18	156,964,991.91	23.18	1.00	23.18	0.08%	0.07%	0.684	8760	0.53	108,217.48	9,325.15	4,724.41	5,459.18	2,765.79		
7	2024	29,558.29	169,679,304.35	26.16	1.00	26.16	0.09%	0.07%	0.696	8760	0.55	125,617.40	10,824.51	4,896.46	5,459.18	2,469.45		
8	2025	31,400.48	183,423,488.08	29.53	1.00	29.53	0.09%	0.08%	0.708	8760	0.56	145,825.43	12,565.84	5,075.13	5,459.18	2,204.87		
11	2028	37,644.97	231,703,805.62	42.44	1.00	42.44	0.11%	0.10%	0.746	8760	0.61	228,228.07	19,666.51	5,653.65	5,459.18	1,569.38		
12	2029	39,991.15	250,472,032.48	47.89	1.00	47.89	0.12%	0.11%	0.760	8760	0.63	265,018.16	22,836.73	5,861.62	5,459.18	1,401.23		
13	2030	42,483.55	270,760,503.42	54.05	1.00	54.05	0.13%	0.11%	0.773	8760	0.65	307,760.33	26,519.84	6,077.66	5,459.18	1,251.10		
14	2031	45,131.29	292,692,359.64	61.00	1.00	61.00	0.14%	0.12%	0.786	8760	0.67	357,420.87	30,799.11	6,302.11	5,459.18	1,117.06		
15	2032	47,944.05	316,400,716.91	68.84	1.00	68.84	0.14%	0.13%	0.800	8760	0.69	415,123.48	35,771.37	6,535.30	5,459.18	997.37		
16	2033	50,932.10	342,029,473.49	77.68	1.00	77.68	0.15%	0.14%	0.814	8760	0.71	482,174.96	41,549.23	6,777.58	5,459.18	890.51		
17	2034	54,106.39	369,734,183.53	87.67	1.00	87.67	0.16%	0.15%	0.829	8760	0.73	560,095.15	48,263.65	7,029.33	5,459.18	795.10		
18	2035	57,478.50	399,683,001.22	98.94	1.00	98.94	0.17%	0.16%	0.843	8760	0.75	650,651.76	56,066.95	7,290.92	5,459.18	709.91		
19	2036	61,060.78	432,057,701.40	111.65	1.00	111.65	0.18%	0.17%	0.858	8760	0.77	755,900.92	65,136.32	7,562.77	5,459.18	633.85		
20	2037	64,866.32	467,054,782.83	126.00	1.00	126.00	0.19%	0.19%	0.873	8760	0.80	878,234.41	75,677.85	7,845.28	5,459.18	565.94		
21	2038	68,909.04	504,886,660.88	142.20	1.00	142.20	0.21%	0.20%	0.889	8760	0.82	1,020,434.55	87,931.30	8,138.89	5,459.18	505.30		
												121,741.27			209,791.79	331,533.06		

Tabla N° 11 Cálculo de Costos y Pérdidas de la Línea de Transmisión SEPI – SEPU conductor 300 mm2. Elaboración Propia.

CALCULO DE COSTOS Y PERDIDAS LT 60 KV AAAC 400 MM2 - DOBLE TERNA

Rac= [REDACTED] ohms/km

	AÑO	P (kW)	E (KWh)	Pp (Kw)	Longitud (Km)	Perdida Potencia (KW)	Perdida Potencia (%)	Perdida Energia (%)	Fc	T iempo (horas/año)	Fp	Ep (Kwh)	Costo Perdidas (US\$/año)	C. Perd VP (US\$)	Costo LT (US\$/km)	Mant LT (US\$/km)	Cost+Mant a VP (US\$/km)	Total a VP (US\$/km)
0	2017	0	106,334,070.00	10.00	1.00	10.00	0.05%	0.04%	0.627	8760	0.46	40,602.62	3,498.75	-	188,428.00	188,428.00		
1	2018	20,565.43	106,334,070.00	10.00	1.00	11.29	0.05%	0.04%	0.638	8760	0.48	47,113.89	4,059.83	3,123.88	6,086.22	5,434.13		
2	2019	21,847.15	114,947,229.99	11.29	1.00	12.74	0.05%	0.04%	0.649	8760	0.49	54,673.35	4,711.23	3,236.47	6,086.22	4,851.90		
3	2020	23,208.75	124,258,064.07	12.74	1.00	14.38	0.06%	0.05%	0.661	8760	0.50	63,450.34	5,467.54	3,353.36	6,086.22	4,332.05		
4	2021	24,655.20	134,323,084.49	14.38	1.00	16.23	0.06%	0.05%	0.672	8760	0.52	73,641.68	6,345.74	3,474.72	6,086.22	3,867.91		
5	2022	26,191.81	145,203,381.06	16.23	1.00	18.31	0.07%	0.05%	0.684	8760	0.53	85,476.13	7,365.52	3,600.74	6,086.22	3,453.49		
6	2023	27,824.18	156,964,991.91	18.31	1.00	20.67	0.07%	0.06%	0.696	8760	0.55	99,219.54	8,549.79	3,867.49	6,086.22	3,083.47		
7	2024	29,558.29	169,679,304.35	20.67	1.00	23.32	0.07%	0.06%	0.708	8760	0.56	115,180.96	9,925.19	4,008.62	6,086.22	2,753.10		
8	2025	31,400.48	183,423,488.08	23.32	1.00	33.52	0.09%	0.08%	0.746	8760	0.61	180,267.10	15,533.70	4,465.57	6,086.22	2,458.12		
11	2028	37,644.97	231,703,805.62	33.52	1.00	37.83	0.09%	0.08%	0.760	8760	0.63	209,325.94	18,037.71	4,629.83	6,086.22	1,749.64		
12	2029	39,991.15	250,472,032.48	37.83	1.00	42.69	0.10%	0.09%	0.773	8760	0.65	243,086.06	20,946.83	4,800.47	6,086.22	1,562.18		
13	2030	42,483.55	270,760,503.42	42.69	1.00	48.18	0.11%	0.10%	0.786	8760	0.67	282,310.69	24,326.84	4,977.75	6,086.22	1,394.81		
14	2031	45,131.29	292,692,359.64	48.18	1.00	54.37	0.11%	0.10%	0.800	8760	0.69	327,887.39	28,254.20	5,161.94	6,086.22	1,245.36		
15	2032	47,944.05	316,400,716.91	54.37	1.00	61.36	0.12%	0.11%	0.814	8760	0.71	380,848.34	32,817.87	5,353.31	6,086.22	992.80		
16	2033	50,932.10	342,029,473.49	61.36	1.00	69.24	0.13%	0.12%	0.829	8760	0.73	442,393.99	38,121.29	5,552.15	6,086.22	886.42		
17	2034	54,106.39	369,734,183.53	69.24	1.00	78.14	0.14%	0.13%	0.843	8760	0.75	513,920.59	44,284.76	5,758.77	6,086.22	791.45		
18	2035	57,478.50	399,683,001.22	78.14	1.00	88.19	0.14%	0.14%	0.858	8760	0.77	597,052.18	51,448.25	5,973.49	6,086.22	706.65		
19	2036	61,060.78	432,057,701.40	88.19	1.00	99.52	0.15%	0.15%	0.873	8760	0.80	693,677.90	59,774.53	6,196.63	6,086.22	630.94		
20	2037	64,866.32	467,054,782.83	99.52	1.00	112.32	0.16%	0.16%	0.889	8760	0.82	805,995.40	69,452.98	6,428.54	6,086.22	563.34		
21	2038	68,909.04	504,886,660.88	112.32	1.00	-	-	-	-	-	-	96,157.96	-	-	233,888.71	330,046.67		

Tabla N° 12 Cálculo de Costos y Pérdidas de la Línea de Transmisión SEPI – SEPU conductor 400 mm2. Elaboración Propia.

CALCULO DE COSTOS Y PERDIDAS LT 60 KV AAAC 240 MM2 - DOBLE Terna

Rac= [REDACTED] ohms/km

	AÑO	P (kW)	E (KWh)	Pp (Kw)	Longitud (Km)	Perdida Potencia (KW)	Perdida Potencia (%)	Perdida Energia (%)	Fc	Tiempo (horas/año)	Fp	Ep (Kwh)	Costo Perdidas (US\$/año)	C. Perd VP (US\$)	Costo LT (US\$/km)	Mant LT (US\$/km)	Cost+Mant a VP (US\$/km)	Total a VP (US\$/km)
0	2017	0	0	0	0	0	0	0	0	0	0	0	0	0	121,623.04	121,623.04		
1	2018	20,565.43	106,334,070.00	13.03	10.50	136.84	0.67%	0.52%	0.627	8760	0.46	555,399.09	47,858.99	42,731.24	3,928.42	3,507.52		
2	2019	21,847.15	114,947,229.99	14.71	10.50	154.43	0.71%	0.56%	0.638	8760	0.48	644,466.19	55,533.94	44,271.31	3,928.42	3,131.72		
3	2020	23,208.75	124,258,064.07	16.60	10.50	174.28	0.75%	0.60%	0.649	8760	0.49	747,871.22	64,444.39	45,870.25	3,928.42	2,796.17		
4	2021	24,655.20	134,323,084.49	18.73	10.50	196.68	0.80%	0.65%	0.661	8760	0.50	867,930.80	74,789.98	47,530.38	3,928.42	2,496.58		
5	2022	26,191.81	145,203,381.06	21.14	10.50	221.96	0.85%	0.69%	0.672	8760	0.52	1,007,337.17	86,802.69	49,254.18	3,928.42	2,229.09		
6	2023	27,824.18	156,964,991.91	23.86	10.50	250.49	0.90%	0.74%	0.684	8760	0.53	1,169,219.32	100,752.15	51,044.17	3,928.42	1,990.26		
7	2024	29,558.29	169,679,304.35	26.92	10.50	282.68	0.96%	0.80%	0.696	8760	0.55	1,357,214.06	116,951.74	52,903.03	3,928.42	1,777.02		
8	2025	31,400.48	183,423,488.08	30.38	10.50	319.02	1.02%	0.86%	0.708	8760	0.56	1,575,548.68	135,765.73	54,833.50	3,928.42	1,586.62		
11	2028	37,644.97	231,703,805.62	43.67	10.50	458.52	1.22%	1.06%	0.746	8760	0.61	2,465,855.42	212,483.85	61,084.03	3,928.42	1,129.33		
12	2029	39,991.15	250,472,032.48	49.28	10.50	517.45	1.29%	1.14%	0.760	8760	0.63	2,863,348.37	246,736.00	63,330.98	3,928.42	1,008.33		
13	2030	42,483.55	270,760,503.42	55.62	10.50	583.96	1.37%	1.23%	0.773	8760	0.65	3,325,149.63	286,529.62	65,665.19	3,928.42	900.29		
14	2031	45,131.29	292,692,359.64	62.76	10.50	659.02	1.46%	1.32%	0.786	8760	0.67	3,861,699.42	332,764.35	68,090.18	3,928.42	803.83		
15	2032	47,944.05	316,400,716.91	70.83	10.50	743.72	1.55%	1.42%	0.800	8760	0.69	4,485,138.50	386,486.37	70,609.61	3,928.42	717.71		
16	2033	50,932.10	342,029,473.49	79.93	10.50	839.31	1.65%	1.52%	0.814	8760	0.71	5,209,586.00	448,912.33	73,227.33	3,928.42	640.81		
17	2034	54,106.39	369,734,183.53	90.21	10.50	947.19	1.75%	1.64%	0.829	8760	0.73	6,051,462.80	521,457.23	75,947.29	3,928.42	572.15		
18	2035	57,478.50	399,683,001.22	101.80	10.50	1,068.94	1.86%	1.76%	0.843	8760	0.75	7,029,867.88	605,766.83	78,773.67	3,928.42	510.85		
19	2036	61,060.78	432,057,701.40	114.89	10.50	1,206.33	1.98%	1.89%	0.858	8760	0.77	8,167,016.47	703,755.43	81,710.77	3,928.42	456.12		
20	2037	64,866.32	467,054,782.83	129.66	10.50	1,361.38	2.10%	2.03%	0.873	8760	0.80	9,488,750.01	817,649.79	84,763.11	3,928.42	407.25		
21	2038	68,909.04	545,782,956.75	146.32	10.50	1,536.36	2.23%	2.02%	0.889	8760	0.82	11,025,129.79	950,040.32	87,935.36	3,928.42	363.61		
													1,315,335.01			150,966.18	1,466,301.20	

Tabla N° 12 Cálculo de Costos y Pérdidas de la Línea de Transmisión SEPI – SEPU conductor 240 Y 10.5 km. Elaboración Propia.

ANEXO 14
SELECCIÓN DEL CONDUCTOR OPTIMO

Resumen									
Sección	P.U (\$)	Costo Linea (\$/Km)	VP (Costo Linea + COyM)	VP (Costo de Pérdidas)	VP (total Costo)	Tasa de Incremento Precio Cond.	Tasa de Incremento Monto Invers.	Factor de Corrección	Costo Linea corregido (\$/Km)
120 mm ²	1.65	86,533.92	124,538.12	294,649.16	419,187.28			15.9%	100,331.77
240 mm ²	3.27	118,444.76	150,966.18	125,270.00	276,236.18	98.2%	36.9%	2.7%	121,623.04
300 mm ²	4.36	131,429.19	209,791.79	121,741.27	331,533.06	33.3%	11.0%	28.6%	169,014.77
400 mm ²	5.89	161,665.65	233,888.71	96,157.96	330,046.67	35.0%	23.0%	16.6%	188,428.00
				Promedio	55.5%	23.6%	15.9%		
				Promedio		40%			

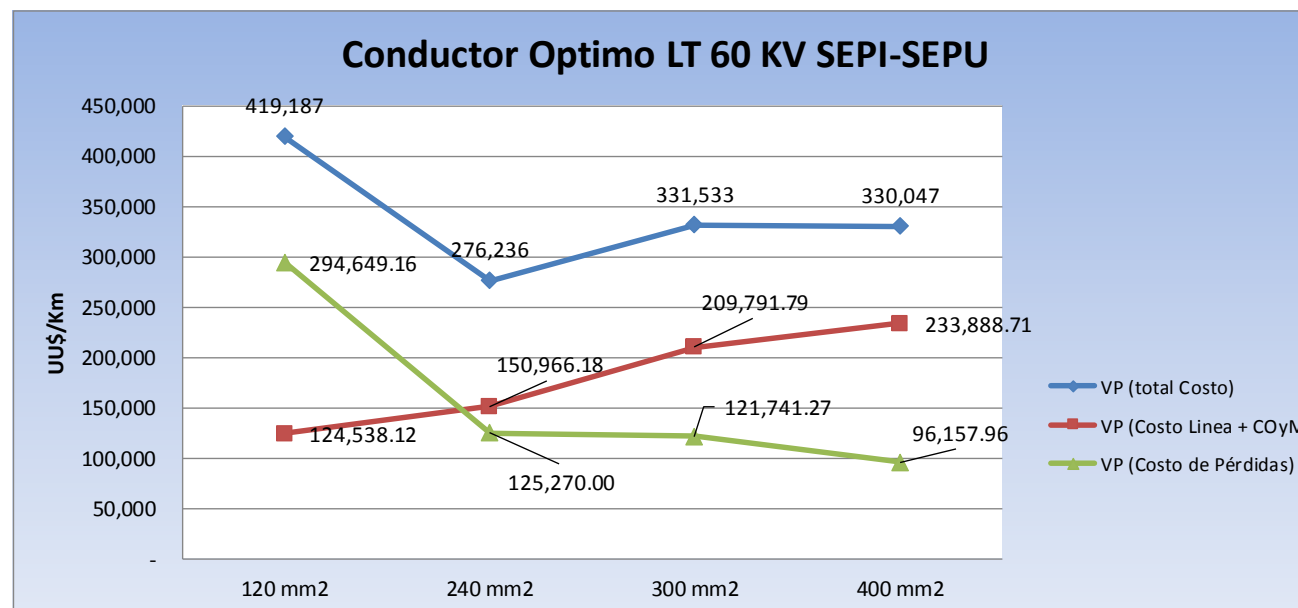


Tabla N° 12 Selección del Conductor Óptimo. Elaboración Propia.

EVALUACION ECONOMICA DE LAS PERDIDAS DE ENERGIA CON Y SIN PROYECTO													
AÑO	COSTO DE PERDIDAS (POTENCIA Y ENERGIA) EN US\$						AÑO	PERDIDA DE ENERGIA EN KWh					
	SEPI-SEPU	SEPI-SEYA	SEYA-SEPU	SEPI-SEYA-SEPU	AHORRO EN US\$	AHORRO EN S/.		SEPI-SEPU	SEPI-SEYA	SEYA-SEPU	SEPI-SEYA-SEPU	ENERGIA DEJADA DE PERDER (KWh)	
0	2017	-	-	-	-	-	0	-	-	-	-	-	
1	2018	47,858.99	72,085.71	86,717.53	158,803.24	110,944.25	321,738.34	1	555,399.09	836,547.99	1,006,348.87	1,842,896.86	1,287,497.78
2	2019	55,533.94	83,645.80	100,624.07	184,269.87	128,735.93	373,334.21	2	644,466.19	970,701.80	1,167,732.96	2,138,434.76	1,493,968.58
3	2020	64,444.39	97,066.83	116,769.27	213,836.09	149,391.70	433,235.93	3	747,871.22	1,126,451.55	1,355,096.50	2,481,548.05	1,733,676.83
4	2021	74,789.98	112,649.46	135,514.83	248,164.29	173,374.31	502,785.50	4	867,930.80	1,307,286.56	1,572,637.05	2,879,923.61	2,011,992.81
5	2022	86,802.69	130,743.13	157,281.12	288,024.25	201,221.56	583,542.52	5	1,007,337.17	1,517,261.92	1,825,232.80	3,342,494.72	2,335,157.55
6	2023	100,752.15	151,753.95	182,556.67	334,310.62	233,558.48	677,319.58	6	1,169,219.32	1,761,090.53	2,118,553.27	3,879,643.80	2,710,424.48
7	2024	116,951.74	176,153.94	211,909.33	388,063.27	271,111.54	786,223.46	7	1,357,214.06	2,044,250.19	2,459,188.12	4,503,438.32	3,146,224.26
8	2025	135,765.73	204,491.78	245,999.12	450,490.90	314,725.17	912,702.99	8	1,575,548.68	2,373,108.12	2,854,796.99	5,227,905.11	3,652,356.43
9	2026	157,617.56	237,405.24	285,593.30	522,998.54	365,380.98	1,059,604.84	9	1,829,137.22	2,755,065.86	3,314,283.77	6,069,349.63	4,240,212.41
10	2027	182,999.51	275,635.79	331,583.81	607,219.61	424,220.10	1,230,238.30	10	2,123,692.30	3,198,727.85	3,847,999.41	7,046,727.26	4,923,034.96
11	2028	212,483.85	320,045.43	385,007.63	705,053.06	492,569.21	1,428,450.70	11	2,465,855.42	3,714,097.56	4,467,977.86	8,182,075.42	5,716,220.00
12	2029	246,736.00	371,636.37	447,070.40	818,706.78	571,970.78	1,658,715.26	12	2,863,348.37	4,312,805.66	5,188,210.58	9,501,016.24	6,637,667.86
13	2030	286,529.62	431,573.94	519,173.98	950,747.93	664,218.31	1,926,233.10	13	3,325,149.63	5,008,375.61	6,024,965.95	11,033,341.56	7,708,191.93
14	2031	332,764.35	501,213.19	602,948.47	1,104,161.65	771,397.31	2,237,052.19	14	3,861,699.42	5,816,532.58	6,997,161.06	12,813,693.64	8,951,994.23
15	2032	386,486.37	582,129.87	700,289.45	1,282,419.32	895,932.95	2,598,205.56	15	4,485,138.50	6,755,563.13	8,126,794.21	14,882,357.34	10,397,218.84
16	2033	448,912.33	676,156.51	813,401.45	1,489,557.96	1,040,645.63	3,017,872.31	16	5,209,586.00	7,846,733.64	9,439,448.38	17,286,182.02	12,076,596.02
17	2034	521,457.23	785,424.40	944,848.32	1,730,272.72	1,208,815.50	3,505,564.94	17	6,051,462.80	9,114,777.39	10,964,877.19	20,079,654.58	14,028,191.78
18	2035	605,766.83	912,412.41	1,097,612.11	2,010,024.53	1,404,257.70	4,072,347.33	18	7,029,867.88	10,588,461.49	12,737,686.83	23,326,148.32	16,296,280.44
19	2036	703,755.43	1,060,003.88	1,275,161.41	2,335,165.29	1,631,409.86	4,731,088.60	19	8,167,016.47	12,301,246.76	14,798,129.92	27,099,376.68	18,932,360.20
20	2037	817,649.79	1,231,552.78	1,481,530.97	2,713,083.74	1,895,433.95	5,496,758.47	20	9,488,750.01	14,292,055.82	17,193,029.53	31,485,085.35	21,996,335.34
		5,586,058.45	8,413,780.44	10,121,593.24	18,535,373.67	12,949,315.22	37,553,014.13		64,825,690.52	97,641,142.01	117,460,151.25	215,101,293.26	150,275,602.74

Tabla N° 13 Evaluación Económica de las Perdidas de Energía con o Sin Proyecto. Elaboración Propia.

ANALISIS DE PERDIDA DE ENERGIA CON Y SIN LA EJECUCION DEL PROYECTO

	0	1	2	3	4	5	6	7	8	9	10	11	12	13	14	15	16	17	18	19	20
	2017	2018	2019	2020	2021	2022	2023	2024	2025	2026	2027	2028	2029	2030	2031	2032	2033	2034	2035	2036	2037
Pérdida Energia (SEPI-SEPU)		0.52%	0.56%	0.60%	0.65%	0.69%	0.74%	0.80%	0.86%	0.92%	0.99%	1.06%	1.14%	1.23%	1.32%	1.42%	1.52%	1.64%	1.76%	1.89%	2.03%
Pérdida Potencia (SEPI-SEPU)		0.67%	0.71%	0.75%	0.80%	0.85%	0.90%	0.96%	1.02%	1.08%	1.15%	1.22%	1.29%	1.37%	1.46%	1.55%	1.65%	1.75%	1.86%	1.98%	2.10%
Pérdida Energia sin Proyecto (SEPI-SEYA-SEPU)		1,842,897	2,138,435	2,481,548	2,879,924	3,342,495	3,879,644	4,503,438	5,227,905	6,069,350	7,046,727	8,182,075	9,501,016	11,033,342	12,813,694	14,882,357	17,286,182	20,079,655	23,326,148	27,099,377	31,485,085
Pérdida Energia con Proyecto (SEPI-SEPU)		555,399	644,466	747,871	867,931	1,007,337	1,169,219	1,357,214	1,575,549	1,829,137	2,123,692	2,465,855	2,863,348	3,325,150	3,861,699	4,485,138	5,209,586	6,051,463	7,029,868	8,167,016	9,488,750
Energia dejada de perder con nuevo proyecto (SEPI-SEPU)		1,287,498	1,493,969	1,733,677	2,011,993	2,335,158	2,710,424	3,146,224	3,652,356	4,240,212	4,923,035	5,716,220	6,637,668	7,708,192	8,951,994	10,397,219	12,076,596	14,028,192	16,296,280	18,932,360	21,996,335

Tabla N° 14. Análisis de Pérdidas de Energía con y Sin la Ejecución del Proyecto. Elaboración Propia.

4.2 DISCUSIÓN

Al Igual que Rocha (2005) La Presenten investigación toma en consideración esta geometría variable identificando que la mayor cantidad de pérdidas se da por el efecto joule. Se han seguido los lineamientos normativos como detalle Llenque (2003) para la implementación de la Línea de Transmisión Cumpliendo con el Marco Normativo del Ministerio de Energía.

Al Igual que Mantilla (2001) se ha logrado determinar las pérdidas de energía eléctrica y el gran potencial ahorro energético en función las pérdidas de las Líneas de Transmisión SEPI-SEYA y SEYA-SEPU. Rivadeneira (2013). Señala que en Diseño de Líneas de Transmisión Cortas (menores a 80 km) y de voltaje inferior a 80 kV, el efecto corona y la capacitancia de la línea no representan cambios significativos; Aspecto a tomar en cuenta en la presente investigación.⁴

Así como Romero (2013), está demostrado que la Suma de los Gastos Totales para la Implementación de la Línea de Transmisión es el resultado de la Suma de Los Costos Iniciales, Operación y Mantenimiento.

V. CONCLUSIONES Y RECOMENDACIONES

5.1 CONCLUSIONES

- El Sistema de Transmisión de Pucallpa presenta fallas debido a su Antigüedad lo que hace ineficiente el transporte de energía y queda definido por las siguientes Características:
 - Tensión Nominal: 60 kV rms.
 - Frecuencia Nominal: 60 Hz
 - Máxima tensión de operación: 72.5 kV rms.
 - Neutro: Efectivamente conectado a tierra.
- Se ha Proyectado la Línea de Transmisión SEPI-SEPU con una longitud de 10.5 km y 8 vértices, que atraviesan las calles principales de la Ciudad de Pucallpa, Ver Anexo.
- Se Selecciónaron Conductores AAC de Aluminio de 120, 240, 300, y 400 mm² de sección y se Determinó que la Sección Económica Óptima del Conductor de la Línea de Transmisión SEPI-SEPU es igual 240 mm².
- El Ahorro Energético que se obtuvo con la implementación de la Línea de Transmisión es 321,738.34 Soles el Primer Año de Operación.

5.2 RECOMENDACIONES

- Se Recomienda también realizar, hacer un estudio del costo de la Instalación de Nuevas Celdas en los Pórticos de Salida y Llegada a las Subestaciones, ya que esta tesis plantea usar las celdas disponibles.

VI. REFERENCIAS

6.1 BIBLIOGRAFÍA

- Grainger, J. y Stevenson, W. (1996). *Análisis de sistemas eléctricos de potencia.* México: McGraw-Hill
- Alvarado, F. L., Bel, C. A., Cañizares, C., Pidre, J. C., Navarro, A. J. C., Otero, A. F., ... & Ramos, J. L. M. (2002). *Análisis y operación de sistemas de energía eléctrica.* México: McGraw-Hill.
- Hayrt Jr. W.H. & Buck J.A. (2006). *Engineering Electromagnetics.* EE.UU: McGraw-Hill International Edition.
- Instituto de Ingeniería Eléctrica y Electrónica IEEE. (1986). *ANSI(IEEE 738-1986-IEEE. Standard for Calculation of Bare Overhead Conductor Temperature and Ampacity Under Steady-State Conditions.* EE.UU: IEEE
- Weedy, B. M. (1978). *Sistemas Eléctricos de Gran Potencia.* España: Reverté.
- ZAPATA, C. J. (2005). *Confiability en Sistemas Eléctricos de Potencia. Libro Guía. Maestría en Ingeniería Eléctrica.* Universidad Tecnológica de Pereira. Colombia: Universidad Tecnológica de Pereira
- Rosas, R. M. M. (2010). *Cálculo de líneas y redes eléctricas* (Vol. 75). España: Universidad Politécnica de Catalunya.

6.2 REFERENCIAS

1. Rocha Z. Victor (2005). *Estudio Definitivo de la Línea de Transmisión Majes-Camaná en 138 kV*. Tesis de Grado no Publicada, Universidad Nacional de Ingeniería, Lima, Perú.
2. LLenque Tume José Walter (2013). *Calidad en el Procedimiento Constructivo y de Seguridad para el Transporte Eficiente de la Energía Eléctrica en Líneas de Transmisión de 60 kV para el Proyecto Bayovar*. Tesis de Grado no Publicada. Universidad Nacional del Santa, Chimbote, Perú.
3. Mantilla Barrón Agustiín & Vergaray Guzmán José Luis (2011). *Evaluación Energética de la Línea de Transmisión Eléctrica Nepeña – San Jacinto LT 1114 DE 138 kV. Tesis de Grado no Publicada*. Universidad Nacional del Santa, Chimbote, Perú.
4. Edgardo Elías Rivadeneira Loor (2013). *Estudio y Diseño de la Línea de Sub transmisión a 60 kV Winchile – Rocafuerte*. Tesis de Grado no Publicada. Universidad San Francisco de Quito, Quito, Ecuador.
5. Romero Herrera Juan Pablo (2010). *Guía Práctica para el Diseño y Proyecto de Líneas de Transmisión de Alta Tensión*. Tesis de Grado. Universidad de Chile, Santiago de Chile, Chile.

VII. ANEXOS

1. Distancias Mínimas de Seguridad
2. Distancias de Seguridad
3. Capacidad Térmica
4. Efecto Creep
5. Aislamiento
6. Balance Térmico del Conductor
7. Cálculo Momento Eléctrico
8. Cálculo Mecánico del Conductor
9. Ampacitancia
10. Cortocircuito
11. Ubicación del Cable Guarda
12. Cuadro de Cargas
13. Resistividad del Terreno
14. Calculo de Pérdidas y Selección del Conductor
15. Proyecciones de la Demanda
16. Plano Trazo de Ruta - Línea de Transmisión

ANEXO 01

PROYECTO: CONSTRUCCION DE LINEA DE TRANSMISION 60 kV SUBESTACION PARQUE INDUSTRIAL -
SUBESTACION PUCALLPA

DISTANCIAS MINIMAS DE SEGURIDAD

1.Distancias Minimas de Seguridad

1.1 Distancia del conductor a tierra

$$d_{\min} = 5.3 + \frac{V_n}{150}$$

V (kV)	60
d _{min} (m)	5.7
d _{min} (m)	6



1.2 Distancia del Conductor al soporte

$$d_{\min} = 0.1 + \frac{V_n}{150}$$

V (kV)	60
d _{min} (m)	0.5
d _{min} (m)	0.5



1.3 Distancia vertical entre conductores (m)

$$D = K * \sqrt{F + L} + \frac{U}{150}$$

Donde:

K=Coefficiente que depende de la oscilacion de los conductores con el viento
que se tomara de tabla.

0.6

Angulo de oscilacion	Valores de K	
	Lineas de 1º y 2º categoria	Lineas de 3º categoria
Superior a 65º	0.70	0.65
comprendido entre 40-65º	0.65	0.60
Inferior a 40º	0.60	0.55

F= Flecha maxima en (m)

5

L=Longitud de la cadena de suspension. En el caso de conductores fijados al apoyo por cadenas de amarre o aisladores rigidos L=0 (m):

0

U= Tension nominal de la linea (kV)

60

$$\begin{aligned} D (\text{m}) \\ d (\text{m}) \end{aligned}$$



$$\begin{aligned} 1.341640786 \\ 1 \end{aligned}$$

1.3 Distancia dielectrica a la altura h (m.s.n.m)

$$d_h = d_{1000} + 0.0125 * \left(\frac{h-1000}{100} \right) * d_{1000} \quad d_{ENTRE.FASES} = K * d_h$$

TENSION NOMINAL DEL SISTEMA k V	Distancia minima (m) de fase a tierra d1000	h . altitud (m.s.n.m)	Distancia dielectrica a la altura m.s.n.m (d _h)	Distancia entre fases (m)
10	0.48	1000	0.48	0.864
33	0.48	1000	0.48	0.864
60	0.63	1000	0.63	1.134
85	1.17	1000	1.17	2.097
230	2.23	1000	2.23	4.005
400	3.02	1000	3.02	5.436

NOTA:

K= 1.8 (Para claros en buses , del orden 40m)

K= 2 (Para claros en buses , mayores 40m)

**PROYECTO: CONSTRUCCION DE LINEA DE TRANSMISION 60 KV SUBESTACION PARQUE INDUSTRIAL -
SUBESTACION PUCALLPA**

DISTANCIAS MINIMAS DE SEGURIDAD

RESUMEN DE LAS DISTANCIAS MINIMAS DE SEGURIDAD

Categoría de la linea	Tension nominal U kV	Distancia de los conductores al terreno 5.3+U/150 m	Separacion minima entre lo conductores y sus accesorios en tension y los apoyos. 0.1+U/150. m
3 ^a	3	5	0.12
	6	5	0.14
	10	5	0.17
	13.2	5	0.19
	20	5	0.23
2 ^a	22.9	5	0.25
	33	6	0.32
	45	6	0.4
	60	6	0.5
1 ^a	138	6	1.02
	220	7	1.57
	380	8	2.63

CRUZAMIENTOS

Categoría de la linea	Tension nominal U kV	Línea electricas y de telecomunicación 1.5+U/150 m	Carreteras y ferrocarriles sin electrificar 6.3+U/100. m	Ferrocarriles, electrificados tranvías y trolebuses 2.3+U/100 m
3 ^a	3	1.52	6.33	2.33
	6	1.54	6.36	2.36
	10	1.57	6.4	2.4
	13.2	1.59	6.43	2.43
	20	1.63	6.5	2.5
2 ^a	22.9	1.65	6.53	2.53
	33	1.72	6.63	2.63
	45	1.8	6.75	2.75
	60	1.9	6.9	2.9
1 ^a	138	2.42	7.68	3.68
	220	2.97	8.5	4.5
	380	4.03	10.1	6.1

CRUZAMIENTOS

Categoría de la linea	Tension nominal U kV	Telefericos y cables transportadores 3.3+U/100 m	Ríos y canales navegables o flotables	
			G+ 2.3+U/100 m	4.7+2.3+U/100 m
3 ^a	3	3.33	G+2.33	7.03
	6	3.36	G+2.36	7.06
	10	3.4	G+2.4	7.10
	13.2	3.43	G+2.43	7.13
	20	3.5	G+2.5	7.20
2 ^a	22.9	3.53	G+2.53	7.23
	33	3.63	G+2.63	7.33
	45	3.75	G+2.75	7.45
	60	3.9	G+2.9	7.60
1 ^a	138	4.68	G+3.68	8.38
	220	5.5	G+4.5	9.20
	380	7.1	G+6.1	10.80

Donde:

G= Es el galibo. En el caso de que no exista galibo definido se considerara este igual a 4.7 m.

PASO POR ZONAS

Categoría de la linea	Tension nominal U kV	Bosques, arboles y masas de arbolado 1.5+U/150 m	Edificios o contrucciones	
			Sobre puntos accesibles a personas 3.3+U/100. m	Sobre puntos no accesibles 3.3+U/150 m
3 ^a	3	1.52	3.33	3.32
	6	1.54	3.36	3.34
	10	1.57	3.4	3.37
	13.2	1.59	3.43	3.39
	20	1.63	3.5	3.43
2 ^a	22.9	1.65	3.53	3.45
	33	1.72	3.63	3.52
	45	1.8	3.75	3.6
	60	1.9	3.9	3.7
1 ^a	138	2.42	4.68	4.22
	220	2.97	5.5	4.77
	380	4.03	7.1	5.83

ANEXO 02**Distancias de Seguridad****A. Distancia Horizontal entre conductores limitado por el vano máximo**

$$S = 0,00762 \times kV \times fh + fe \times \sqrt{f \times 0,3048} + Li \times \sin\phi$$

- S : Separación horizontal requerida (m).
 kV : Tensión nominal entre fase - fase (60 KV)
 fh : Factor de altura (fh = 1,00 para 1000 msnm).
 fe : Factor de experiencia (fe = 1.15).
 f : Flecha del conductor en la condición de templado (m).
 Li : Longitud de la cadena de aisladores (1,2 m).
 ϕ : Máximo ángulo de oscilación de diseño $\phi=60^\circ$; anclaje $\phi=0^\circ$

Tipo de Estructura	S (m)	Altitud (msnm)	fh	Flecha (m)	Vano máximo Lateral (m)
S2c	3.10	1000	1.00	5	273
TA-2	3.10	1000	1.00	17	507
TA-4	3.10	1000	1.00	17	507
T-AF	3.10	1000	1.00	17	507

B. Distancia Vertical entre conductores limitado por el vano máximo

$$S = 0,00762 \times kV \times fh + fe \times \sqrt{f \times 0,3048}$$

- S : Separación vertical requerida (m).
 kV : Tensión nominal entre fase - fase (60 KV)
 fh : Factor de altura (fh = 1,00 para 1000 msnm).
 fe : Factor de experiencia (fe = 1.15).
 f : Flecha del conductor en la condición de templado (m).

Tipo de Estructura	S (m)	Altitud (msnm)	fh	Flecha (m)	Vano máximo Lateral (m)
S2c	2.30	1000	1.00	8	354
R-A	1.80	1000	1.00	4	258
TA-2	2.30	1000	1.00	8	354
TA-4	2.30	1000	1.00	8	354
T-AF	1.80	1000	1.00	4	258

ANEXO 03
CAPACIDAD TERMICA DEL CONDUCTOR
DE LA LÍNEA DE TRANSMISIÓN 60 kV SEPI - SEPU

PROYECTO: CONSTRUCCION DE LINEA DE TRANSMISION 60 kV SUBESTACION PARQUE INDUSTRIAL - SUBESTACION PUCALLPA

DATOS GENERALES		UNIDADES	DIA	NOCHE
(1)	TIPO DE CONDUCTOR		AAAC	AAAC
(2)	DIAMETRO DEL CONDUCTOR	mm	19.95	19.95
(3)	EMISITIVIDAD DEL CONDUCTOR		0.7	0.7
	0.23 CONDUCTOR NUEVO			
	0.91 CONDUCTOR NEGRO			
(4)	TEMP. INICIAL CONDUCTOR	°C	37.60	15
(5)	RESIST CONDUCTOR (20°C)	ohm/km	0.142	0.142
(6)	COEF. ABSORCION SOLAR		0.7	0.7
	0.23 CONDUCTOR NUEVO			
	0.95 CONDUCTOR NEGRO			
(7)	ALTURA SOBRE EL NIVEL DEL MAR	m	1000	1000
(8)	VELOCIDAD TRANS. DEL VIENTO	km/hr	3.5	3.5
(9)	TEMPERATURA AMBIENTE	°C	25	15
(10)	AZIMUTH DE LA LINEA	Grados	140	140
(11)	LATITUD DE LA LINEA	Grados	16	16
(12)	HEMISFERIO (Norte=1,Sur=0)		0	0
(13)	FECHA	Mes-Dia	15-Dic	15-Dic
(14)	HORA DEL DIA (horas)		12	19
(15)	ALBEDO		0.1	0.1
	0.1 Para tierra			
	0.2 Para arena y hierba			
	0.8 Para hielo			
(16)	TIPO DE ATMOSFERA		4	
	1=Excepcionalmente claro y seco			
	2=Excepcionalmente claro			
	3=Muy claro			
	4=Claro			
	5=Industrial			
(17)	TENSION NOMINAL DEL SISTEMA	kV	60	60
	RESULTADOS PARCIALES	UNIDADES	DIA	NOCHE
(A)	DECLINACION SOLAR	Grados	2.9	
(B)	ALTITUD SOLAR	(H)	72.3	
(C)	AZIMUTH DEL SOL	Grados	43.2	
(D)	ANGULO DE INCIDENCIA DEL SOL	Grados	92.1	
(E)	INTENSIDAD DE LA RADIACION			
	Por altitud	(ID)	W/M	900
	Por tipo de dia	(Id)	W/M	100
(F)	RESISTENCIA DEL CONDUCTOR	(R)	ohm/km	0.151
(G)	NUMERO DE REINOLDS	(Re)		1074
(H)	PERDIDAS CONVECTIVAS	(Qc)	W/M	16.605
(I)	CALOR RADIADO CONDUCTOR.	(Qr)	W/M	3.537
(J)	CALOR IRRADIADO P/SOL	(Qs)		17.572
(K)	CORRIENTE CIRCULANTE	(I)	AMP	545.000
(L)	POTENCIA CIRCULANTE	(S)	MVA	56.64
				0.0
				0.00

CAPACIDAD TERMICA DEL CONDUCTOR
TEMPERATURA DEL CONDUCTOR DURANTE EL DIA
VERSUS CORRIENTE CIRCULANTE

TEMP °C	R OHM/KM	Re Reinolds	Qc W/M	Qr W/M	Qs W/M	I A	POTENCIA MVA
37.60	0.151	1074	16.61	3.54	17.57	130	13.56
37.70	0.151	1074	16.74	3.57	17.57	134	13.97
37.80	0.151	1073	16.87	3.60	17.57	138	14.38
37.90	0.151	1073	17.00	3.63	17.57	142	14.77
38.00	0.151	1073	17.13	3.66	17.57	146	15.15
38.10	0.151	1073	17.26	3.69	17.57	149	15.52
38.20	0.151	1072	17.39	3.72	17.57	153	15.89
38.30	0.151	1072	17.52	3.75	17.57	156	16.24
38.40	0.151	1072	17.65	3.78	17.57	160	16.59
38.50	0.151	1071	17.79	3.81	17.57	163	16.93
38.60	0.152	1071	17.92	3.84	17.57	166	17.26
38.70	0.152	1071	18.05	3.87	17.57	169	17.59
38.80	0.152	1070	18.18	3.90	17.57	172	17.91
38.90	0.152	1070	18.31	3.93	17.57	175	18.23
39.00	0.152	1070	18.44	3.96	17.57	178	18.54
39.10	0.152	1069	18.57	3.99	17.57	181	18.84
39.20	0.152	1069	18.70	4.02	17.57	184	19.14
39.30	0.152	1069	18.84	4.05	17.57	187	19.43
39.40	0.152	1069	18.97	4.08	17.57	190	19.72
39.50	0.152	1068	19.10	4.11	17.57	193	20.01
39.60	0.152	1068	19.23	4.14	17.57	195	20.29
39.70	0.152	1068	19.36	4.17	17.57	198	20.57
39.80	0.152	1067	19.49	4.20	17.57	201	20.84
39.90	0.152	1067	19.62	4.23	17.57	203	21.11
40.00	0.152	1067	19.75	4.26	17.57	206	21.38
40.10	0.152	1066	19.88	4.29	17.57	208	21.64
40.20	0.152	1066	20.01	4.32	17.57	211	21.90
40.30	0.152	1066	20.15	4.35	17.57	213	22.16
40.40	0.152	1065	20.28	4.38	17.57	216	22.41
40.50	0.152	1065	20.41	4.41	17.57	218	22.66
40.60	0.153	1065	20.54	4.44	17.57	220	22.91
40.70	0.153	1065	20.67	4.48	17.57	223	23.15
40.80	0.153	1064	20.80	4.51	17.57	225	23.39
40.90	0.153	1064	20.93	4.54	17.57	227	23.63
41.00	0.153	1064	21.06	4.57	17.57	230	23.87
41.10	0.153	1063	21.19	4.60	17.57	232	24.10
41.20	0.153	1063	21.32	4.63	17.57	234	24.34
41.30	0.153	1063	21.46	4.66	17.57	236	24.57
41.40	0.153	1062	21.59	4.69	17.57	239	24.79
41.50	0.153	1062	21.72	4.72	17.57	241	25.02
41.60	0.153	1062	21.85	4.75	17.57	243	25.24
41.70	0.153	1061	21.98	4.78	17.57	245	25.46
41.80	0.153	1061	22.11	4.82	17.57	247	25.68
41.90	0.153	1061	22.24	4.85	17.57	249	25.90
42.00	0.153	1061	22.37	4.88	17.57	251	26.11
42.10	0.153	1060	22.50	4.91	17.57	253	26.33
43.10	0.154	1057	23.81	5.22	17.57	273	28.37
44.10	0.154	1054	25.12	5.54	17.57	291	30.26
45.10	0.155	1051	26.42	5.86	17.57	308	32.03
46.10	0.155	1048	27.73	6.18	17.57	324	33.70

0
CAPACIDAD TERMICA DEL CONDUCTOR
TEMPERATURA DEL CONDUCTOR DURANTE LA NOCHE
VERSUS CORRIENTE CIRCULANTE

TEMP °C	R OHM/KM	Re Reinolds	Qc W/M	Qr W/M	I A	POTENCIA MVA
15	0.139	1182.56	0.00	0.00	0	0.00
15.1	0.139	1182.20	0.13	0.02	34	3.49
15.2	0.140	1181.84	0.27	0.05	47	4.93
15.3	0.140	1181.48	0.40	0.07	58	6.04
15.4	0.140	1181.13	0.53	0.10	67	6.97
15.5	0.140	1180.77	0.67	0.12	75	7.79
15.6	0.140	1180.41	0.80	0.14	82	8.53
15.7	0.14	1180.06	0.93	0.17	88.69	9.22
15.8	0.14	1179.70	1.07	0.19	94.79	9.85
15.9	0.140	1179.34	1.20	0.22	101	10.45
16	0.140	1178.99	1.33	0.24	106	11.01
16.1	0.140	1178.63	1.47	0.26	111	11.55
16.2	0.140	1178.28	1.60	0.29	116	12.06
16.3	0.140	1177.92	1.73	0.31	121	12.55
16.4	0.140	1177.56	1.86	0.34	125	13.02
16.5	0.140	1177.21	2.00	0.36	130	13.47
16.6	0.140	1176.85	2.13	0.38	134	13.91
16.7	0.140	1176.50	2.26	0.41	138	14.34
16.8	0.140	1176.14	2.40	0.43	142	14.75
16.9	0.140	1175.79	2.53	0.46	146	15.16
17	0.140	1175.43	2.66	0.48	150	15.55
17.1	0.141	1175.08	2.80	0.50	153	15.93
17.2	0.141	1174.73	2.93	0.53	157	16.30
17.3	0.141	1174.37	3.06	0.55	160	16.66
17.4	0.141	1174.02	3.20	0.58	164	17.02
17.5	0.141	1173.66	3.33	0.60	167	17.37
17.6	0.141	1173.31	3.46	0.63	170	17.71
17.7	0.141	1172.96	3.59	0.65	174	18.04
17.8	0.141	1172.60	3.73	0.68	177	18.37
17.9	0.141	1172.25	3.86	0.70	180	18.69
18	0.141	1171.90	3.99	0.72	183	19.01
18.1	0.141	1171.54	4.13	0.75	186	19.32
18.2	0.141	1171.19	4.26	0.77	189	19.63
18.3	0.141	1170.84	4.39	0.80	192	19.93
18.4	0.141	1170.49	4.52	0.82	195	20.23
18.5	0.141	1170.13	4.66	0.85	197	20.52
18.6	0.141	1169.78	4.79	0.87	200	20.81
18.7	0.141	1169.43	4.92	0.90	203	21.09
18.8	0.141	1169.08	5.06	0.92	206	21.37
18.9	0.141	1168.73	5.19	0.95	208	21.65
19	0.141	1168.38	5.32	0.97	211	21.92
19.1	0.142	1168.02	5.46	1.00	213	22.19
19.2	0.142	1167.67	5.59	1.02	216	22.45
19.3	0.142	1167.32	5.72	1.05	219	22.71
19.4	0.142	1166.97	5.85	1.07	221	22.97
19.5	0.142	1166.62	5.99	1.10	224	23.23
19.6	0.142	1166.27	6.12	1.12	226	23.48

ANEXO 04

PROYECTO: CONSTRUCCION DE LINEA DE TRANSMISION 60 KV SUBESTACION PARQUE INDUSTRIAL - SUBESTACION PUCALLPA

CÁLCULO DEL CREEP

Temperatura =	26.5	°C
Tiro de Rotura =	70.83	KN
Esfuerzo de Pretensionado = 70 % (EDS)		
Tiempo de Pretendido =	30	horas
Sección Real = 236.04 mm ²		
EDS = 20%		
Vano Base = 200		

AÑO	EDS = 20 %			EDS =		
	VANO	T (°C)	T (Kg)	T (KN)	CREEP	ΔT(°C)
1	200	32.11	650.00	6.37	66.58	2.89
	300	32.11	650.00	6.37	66.58	2.89
	400	32.11	650.00	6.37	66.58	2.89
	500	32.11	650.00	6.37	66.58	2.89
	600	32.11	650.00	6.37	66.58	2.89
	700	32.11	650.00	6.37	66.58	2.89
	800	32.11	650.00	6.37	66.58	2.89
						35.00

AÑO	200	32.11	650.00	6.37	94.16	4.09	36.20
	300	32.11	650.00	6.37	94.16	4.09	36.20
	400	32.11	650.00	6.37	94.16	4.09	36.20
	500	32.11	650.00	6.37	94.16	4.09	36.20
	600	32.11	650.00	6.37	94.16	4.09	36.20
	700	32.11	650.00	6.37	94.16	4.09	36.20
	800	32.11	650.00	6.37	94.16	4.09	36.20

AÑO	200	32.11	650.00	6.37	111.77	4.86	36.97
	300	32.11	650.00	6.37	111.77	4.86	36.97
	400	32.11	650.00	6.37	111.77	4.86	36.97
	500	32.11	650.00	6.37	111.77	4.86	36.97
	600	32.11	650.00	6.37	111.77	4.86	36.97
	700	32.11	650.00	6.37	111.77	4.86	36.97
	800	32.11	650.00	6.37	111.77	4.86	36.97

AÑO	200	32.11	650.00	6.37	124.97	5.43	37.54
	300	32.11	650.00	6.37	124.97	5.43	37.54
	400	32.11	650.00	6.37	124.97	5.43	37.54
	500	32.11	650.00	6.37	124.97	5.43	37.54
	600	32.11	650.00	6.37	124.97	5.43	37.54
	700	32.11	650.00	6.37	124.97	5.43	37.54
	800	32.11	650.00	6.37	124.97	5.43	37.54

AÑO	200	32.11	650.00	6.37	135.64	5.90	38.01
	300	32.11	650.00	6.37	135.64	5.90	38.01
	400	32.11	650.00	6.37	135.64	5.90	38.01
	500	32.11	650.00	6.37	135.64	5.90	38.01
	600	32.11	650.00	6.37	135.64	5.90	38.01
	700	32.11	650.00	6.37	135.64	5.90	38.01
	800	32.11	650.00	6.37	135.64	5.90	38.01

**PROYECTO: CONSTRUCCION DE LINEA DE TRANSMISION 60 KV SUBESTACION PARQUE
INDUSTRIAL - SUBESTACION PUCALLPA**

CÁLCULO DEL CREEP

Temperatura =	26.5	°C
Tiro de Rotura =	70.83	KN
Esfuerzo de Pretensionado = 70 % (EDS)		
Tiempo de Pretendido =	30	horas
Sección Real =	236.04	mm ²
EDS =	20%	
Vano Base =	200	

	EDS = 20 %						EDS =
	VANO	T (°C)	T (Kg)	T (KN)	CREEP	ΔT(°C)	
AÑO 6	200	32.11	650.00	6.37	144.65	6.29	38.40
	300	32.11	650.00	6.37	144.65	6.29	38.40
	400	32.11	650.00	6.37	144.65	6.29	38.40
	500	32.11	650.00	6.37	144.65	6.29	38.40
	600	32.11	650.00	6.37	144.65	6.29	38.40
	700	32.11	650.00	6.37	144.65	6.29	38.40
	800	32.11	650.00	6.37	144.65	6.29	38.40

AÑO 7	200	32.11	650.00	6.37	152.47	6.63	38.74
	300	32.11	650.00	6.37	152.47	6.63	38.74
	400	32.11	650.00	6.37	152.47	6.63	38.74
	500	32.11	650.00	6.37	152.47	6.63	38.74
	600	32.11	650.00	6.37	152.47	6.63	38.74
	700	32.11	650.00	6.37	152.47	6.63	38.74
	800	32.11	650.00	6.37	152.47	6.63	38.74

AÑO 8	200	32.11	650.00	6.37	159.40	6.93	39.04
	300	32.11	650.00	6.37	159.40	6.93	39.04
	400	32.11	650.00	6.37	159.40	6.93	39.04
	500	32.11	650.00	6.37	159.40	6.93	39.04
	600	32.11	650.00	6.37	159.40	6.93	39.04
	700	32.11	650.00	6.37	159.40	6.93	39.04
	800	32.11	650.00	6.37	159.40	6.93	39.04

AÑO 9	200	32.11	650.00	6.37	165.64	7.20	39.31
	300	32.11	650.00	6.37	165.64	7.20	39.31
	400	32.11	650.00	6.37	165.64	7.20	39.31
	500	32.11	650.00	6.37	165.64	7.20	39.31
	600	32.11	650.00	6.37	165.64	7.20	39.31
	700	32.11	650.00	6.37	165.64	7.20	39.31
	800	32.11	650.00	6.37	165.64	7.20	39.31

AÑO 10	200	32.11	650.00	6.37	171.32	7.45	39.56
	300	32.11	650.00	6.37	171.32	7.45	39.56
	400	32.11	650.00	6.37	171.32	7.45	39.56
	500	32.11	650.00	6.37	171.32	7.45	39.56
	600	32.11	650.00	6.37	171.32	7.45	39.56
	700	32.11	650.00	6.37	171.32	7.45	39.56
	800	32.11	650.00	6.37	171.32	7.45	39.56

AISLAMIENTO NECESARIO POR SOBRETENSIONES A FRECUENCIA INDUSTRIAL

$$V_{fi} = \frac{fs \times V_{max} \times H}{\sqrt{3} \times (1 - N \times \sigma) \times \delta^n \times fl}$$

donde :

fs	Factor de sobretensión a frecuencia industrial	1.5
V _{max}	Tensión máxima	72.5
H	Factor por Humedad	1
N	Número de desviaciones estandar alrededor de la media	3
σ	Desviación estandar	2%
δ	Densidad relativa del aire a 1 000 msnm es	0.918
n	Exponente empírico	0.8
fl	Factor por lluvia	

TEMP 25°C	msnm	δ
500	1.00	
1000	0.918	
1500	0.835	

Espaciamiento (m)

0.300 60°

Para 1 000 msnm

$$V_{fi} = 91 \text{ kV}$$

AISLAMIENTO NECESARIO POR SOBRETENSIONES DE MANIOBRA

$$V_m = \frac{\sqrt{2} \times fs \times V_{max} \times H}{\sqrt{3} \times (1 - N \times \sigma) \times \delta^n \times fl}$$

donde :

fs	Factor de sobretensión de maniobra	3
V _{max}	Tensión máxima	72.5 kV
H	Factor por Humedad	1
N	Número de desviaciones estandar alrededor de la media	3
σ	Desviación estandar	5%
δ	Densidad relativa del aire a 1 000 msnm es	0.918
n	Exponente empírico	1
fl	Factor por lluvia	0.9

Espaciamiento (m)

40°

Para 1 000 msnm

$$V_m = 253 \text{ kV}$$

0.338

AISLAMIENTO NECESARIO POR SOBRETENSIONES DE IMPULSO

$$Vi = \frac{NBI}{(1 - N \times \sigma) \times \delta}$$

donde :

NBI	Nivel Básico de Aislamiento (kV-BIL)	325
N	Número de desviaciones estandar alrededor de la media	1.3
σ	Desviación estandar	3%
δ	Densidad relativa del aire a 1 000 msnm es	0.918

Espaciamiento (m)

20°

Para 1 000 msnm

$$Vi = 368 \text{ kV}$$

0.675

ANEXO 05

LINEA DE TRANSMISION 60 kV SUBESTACION PARQUE INDUSTRIAL - SUBESTACION PUCALLPA

AISLAMIENTO POR CONTAMINACIÓN AMBIENTAL

$$L_{fuga} = L_{f0} * U_{\max} * f_{ch}$$

donde :

Lfuga	Longitud de fuga fase - tierra requerida
Lfo	Longitud de fuga unitaria en mm/kV
Umax	Tensión Máxima de servicio
f ch	Factor de corrección por altitud

RECOMENDACIÓN SEGUN IEC 815

Denominación	Grado de contaminación	mm/kV
I: Light	polución ligera	16

Tensión maxima entre fases **72.5 kV**
 Tensión nominal entre fases **60 kV**

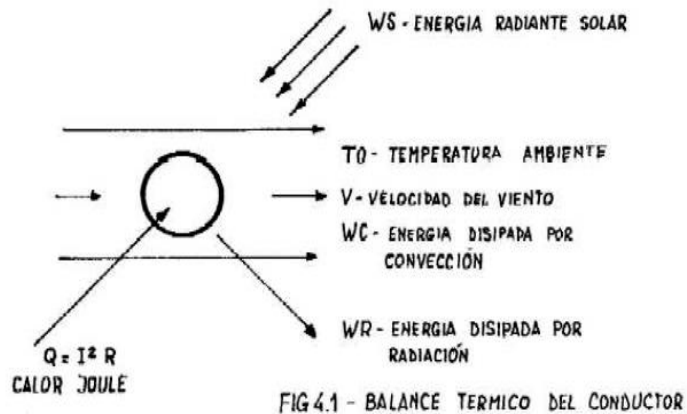
msnm	fch	Linea de fuga Total (mm)
1500	1.063	1233
1000	1.000	1160
500	0.938	1088

El tipo de Aislador polimérico

Denominación	Grupo	Tensión máxima entre fases (kV)	Carga Mecánica Nominal CMN (kN)	Distancia de fuga mínima (mm)	Longitud máxima (mm)
CS 120 S16B16	I	72.5	120	2.000	730
CS 120 S16B16	I	72.5	120	2.330	850
CS 120 S16B16	I	72.5	120	2.330	1.000
CS 120 S16B16	II	145	120	2.900	1.314
CS 120 S16B16	II	145	120	2.900	1.460
CS 120 S16B16	II	145	120	4.148	1.314
CS 210 S20B20	II	145	210	2.900	1.314
CS 120 S16B16	III	245	120	5.320	2.044
CS 210 S20B20	III	245	210	5.320	2.044
CS120 S16 B16	III	245	120	7.815	3.000

ANEXO 06

**LINEA DE TRANSMISION 60 kV SUBESTACION PARQUE INDUSTRIAL -
SUBESTACION PUCALLPA
CALCULO DEL BALANCE TERMICO DEL CONDUCTOR**



Al circular una corriente en el conductor produce una cierta cantidad de calor por efecto joule .

Cuando el sistema se encuentra en regimen, todo el calor producido es disipado parte por convección, parte por radiacion.

Utilizaremos la Formula de SHURIG Y FRICK.

$$W_c = \frac{95.5 * \sqrt{PV} * \Delta T}{(T_a + \frac{\Delta T}{2})^{0.125} * \sqrt{D}}$$

$$W_r = 5700 * Em * ((\frac{T_a + \Delta T}{1000})^4 - (\frac{T_a}{1000})^4)$$

Donde:

W_c =Calor disipado por conveccion en (W/m²)

P= Presion en (atm)

V= Velocidad del aire en (km/h)

ΔT = Sobre temperatura del conductor respecto al ambiente en (°K)

T_a = Temperatura absoluta del ambiente en (°K)

D= Diametro del conductor en (mm)

W_r = Calor disipado por radiacion en (W/m²)

Em= Emisividad del conductor

ANEXO 06

LINEA DE TRANSMISION 60 kV SUBESTACION PARQUE INDUSTRIAL - SUBESTACION PUCALLPA CALCULO DEL BALANCE TERMICO DEL CONDUCTOR

Datos

A=Area del conductor (mm ²)	240	▼
V= Velocidad del aire en (km/h)	75	
P= Presion en (kg/m ²)	23.625	
P= Presion en (atm)	0.002287306	
T _a = Temperatura absoluta del ambiente en (°C)	30	
T _a = Temperatura absoluta del ambiente en (°K)	303	
D= Diametro del conductor en (mm)	19.95	
Em= Emisividad del conductor	0.38	
ΔT= Sobre temperatura del conductor respecto al ambiente (°C)	20	
ΔT= Sobre temperatura del conductor respecto al ambiente (°K)	293	
I _t =Corriente a transportar (A)	545	

1. Calor por convección Según la formula de SHURIG

W_c=Calor disipado por convección en (W/m²) 1209.21

2. Calor por radiacion Según la formula de FRICK

W_r= Calor disipado por radiacion en (W/m²) 255.05

3 .Resistencia del conductor

$$R = R_0 * (1 + \alpha * (T_a + \Delta T - T_0))$$

Donde:

R₀= Resistencia a la temperatura de referencia (Ohm/km) 0.139

T₀=Temperatura de referencia del conductor (°C) 20

α=Coefficiente de aumento de la resistividad (1/C°) 0.0036

R₀= Resistencia a la temperatura de referencia (Ohm/km) 0.154012

4.Corriente admisible en las condiciones establecidas

$$I = \sqrt{\pi * D * \left(\frac{W_c + W_r}{R} \right)}$$

I = || 771.93 A

NOTA:

La corriente a transportar debe ser menor o igual a esta corriente admisible del conductor elegido.

OK
Conclusion :

Por lo tanto se utilizara del conductor AAAC de 240mm²

ANEXO 07
LINEA DE TRANSMISION 60 KV SUBESTACION PARQUE INDUSTRIAL -
SUBESTACION PUCALLPA

CARACTERISTICAS FUNDAMENTALES DE LA LINEA

Datos

Sección del conductor de AAC (mm ²)	240
Temperatura de operación(°C)	35
R _{20°C} (ohm/km)	0.139
Disposición	Dos terna
DMG (m)	2.897818415
r _e (m)	0.008740387
CosØ	0.85
Ø (°)	31.78833062
Frecuencia (Hz)	60
Longitud de la linea (km)	10.5
Tensión (kV)	60

1.Resistencia a la temperatura de operación (R₁)

$$R_1 = R_{20^\circ C} * (1 + 0.0036 * (T - 20))$$

$$R_1 \text{ (ohm/km)} = 0.146506$$

2.Reactancia inductiva (X_L)

$$X_L = 377 * (0.5 + 4.6 * \log(\frac{DMG}{r_e})) * 10^{-4}$$

$$X_L \text{ (ohm/km)} = 0.455962131$$



3.Impedancia de la linea (Z_L)

$$Z_L = R_1 + jX_L$$

$$Z_L \text{ (ohm/km)} = 0.146506 + 0.455962130630682i$$

$$Z_L \text{ (ohm/km)} = 0.478921155 \angle 72.19$$

$$Z_L = \sqrt{R_1^2 + X_L^2}$$

$$Z_L \text{ (ohm)} = 5.028672126 \angle 72.19$$

4.Conductancia

$$G = \frac{1}{R_1}$$



$$G_L \text{ (uS/km)} = 0.000006826$$

$$G_L \text{ (uS/km)} = 0$$

5.Capacidad

$$C = \frac{24.2}{\log(\frac{DMG}{r_e})}$$



$$C_L \text{ (nF/km)} = 9.60111538$$

ANEXO 07
LINEA DE TRANSMISION 60 KV SUBESTACION PARQUE INDUSTRIAL -
SUBESTACION PUCALLPA

CARACTERISTICAS FUNDAMENTALES DE LA LINEA

6. Susceptancia

$$B = \frac{24.2}{\log(\frac{DMG}{r_e})} * 10^{-9} * 2 * \pi * f$$

B (S/km)= 3.6195E-06

7. Admitancia

$$Y = G + jB$$

Y (S/km)= 3.61953522513145E-06i

Y (S/km)= 3.61954E-06 $\angle 90.00$



Y (S) = 3.80051E-05 $\angle 90.00$

8. Impedancia Caracteristica o natural de la linea

$$Z_c = \sqrt{\frac{Z}{Y}}$$



Z_c (Ohm)= 363.75

ANEXO 08

CÁLCULO MECÁNICO DE CONDUCTOR DE 240 mm² AAAC

HIPÓTESIS I Templado T=20°C, S/V, EDS=20%T
 HIPÓTESIS II Máximo Esfuerzo c/v T= 5°C, V=90.00 km/h, TMT=40%T
 HIPÓTESIS III Máximo Esfuerzo s/v T= 0°C, V=0 km/h
 HIPÓTESIS IV Flecha Máxima T= 50°C, V=0 km/h

Conductor: AAAC Sección: 240 mm² Peso: 6,37 N/m Diametro: 19,95 mm Ruptura: 70,56 kN Rel. Desnivel/Vano: 0,00

Vano [m]	Desnivel [m]	HIPÓTESIS I			HIPÓTESIS II			HIPÓTESIS III			HIPÓTESIS IV		
		H	T	F	H	T	F	H	T	F	H	T	F
100	0	14.11	14.12	0.56	18.58	18.59	0.67	19.14	19.15	0.42	7.33	7.33	1.09
110	0	14.11	14.12	0.68	18.66	18.67	0.81	19.04	19.04	0.51	7.61	7.62	1.27
120	0	14.11	14.12	0.81	18.74	18.75	0.95	18.93	18.94	0.61	7.87	7.88	1.46
130	0	14.11	14.12	0.95	18.83	18.84	1.12	18.82	18.82	0.72	8.12	8.14	1.66
140	0	14.11	14.12	1.11	18.91	18.93	1.29	18.70	18.71	0.83	8.36	8.38	1.87
150	0	14.11	14.12	1.27	19.00	19.02	1.47	18.58	18.59	0.96	8.59	8.61	2.09
160	0	14.11	14.12	1.44	19.09	19.10	1.67	18.45	18.46	1.10	8.81	8.82	2.31
170	0	14.11	14.12	1.63	19.17	19.19	1.87	18.32	18.33	1.26	9.02	9.03	2.55
180	0	14.11	14.12	1.83	19.26	19.28	2.09	18.19	18.20	1.42	9.21	9.23	2.80
190	0	14.11	14.12	2.04	19.34	19.36	2.32	18.06	18.07	1.59	9.40	9.42	3.06
200	0	14.11	14.13	2.26	19.42	19.45	2.56	17.93	17.94	1.78	9.58	9.60	3.33
210	0	14.11	14.13	2.49	19.50	19.53	2.81	17.80	17.81	1.97	9.75	9.77	3.60
220	0	14.11	14.13	2.73	19.58	19.61	3.07	17.67	17.68	2.18	9.91	9.93	3.89
230	0	14.11	14.13	2.99	19.66	19.69	3.35	17.54	17.55	2.40	10.06	10.09	4.19
240	0	14.11	14.13	3.25	19.73	19.77	3.63	17.41	17.43	2.63	10.21	10.24	4.49
250	0	14.11	14.13	3.53	19.80	19.84	3.92	17.29	17.31	2.88	10.35	10.38	4.81
260	0	14.11	14.14	3.82	19.87	19.92	4.23	17.17	17.19	3.14	10.49	10.52	5.14
270	0	14.11	14.14	4.11	19.94	19.99	4.54	17.05	17.07	3.41	10.61	10.65	5.47
280	0	14.11	14.14	4.43	20.01	20.06	4.87	16.94	16.96	3.69	10.74	10.77	5.82
290	0	14.11	14.14	4.75	20.07	20.12	5.21	16.83	16.85	3.98	10.85	10.89	6.17
300	0	14.11	14.14	5.08	20.13	20.19	5.56	16.72	16.75	4.29	10.97	11.01	6.54
310	0	14.11	14.15	5.42	20.19	20.25	5.92	16.62	16.65	4.61	11.07	11.12	6.92
320	0	14.11	14.15	5.78	20.25	20.31	6.29	16.52	16.55	4.94	11.17	11.22	7.30
330	0	14.11	14.15	6.15	20.31	20.37	6.67	16.42	16.46	5.28	11.27	11.32	7.70
340	0	14.11	14.15	6.53	20.36	20.43	7.06	16.33	16.37	5.64	11.37	11.42	8.10
350	0	14.11	14.16	6.92	20.41	20.49	7.46	16.24	16.28	6.01	11.46	11.51	8.52
360	0	14.11	14.16	7.32	20.46	20.54	7.88	16.16	16.20	6.39	11.54	11.60	8.95
370	0	14.11	14.16	7.73	20.51	20.59	8.30	16.08	16.12	6.78	11.62	11.68	9.39
380	0	14.11	14.16	8.15	20.55	20.64	8.74	16.01	16.05	7.19	11.70	11.77	9.83
390	0	14.11	14.17	8.59	20.60	20.69	9.18	15.93	15.98	7.60	11.78	11.84	10.29
400	0	14.11	14.17	9.03	20.64	20.74	9.64	15.86	15.92	8.03	11.85	11.92	10.76
410	0	14.11	14.17	9.49	20.68	20.78	10.11	15.80	15.85	8.48	11.92	11.99	11.24
420	0	14.11	14.18	9.96	20.72	20.83	10.59	15.74	15.79	8.93	11.99	12.06	11.73
430	0	14.11	14.18	10.44	20.76	20.87	11.08	15.68	15.74	9.40	12.05	12.13	12.23
440	0	14.11	14.18	10.93	20.80	20.91	11.58	15.62	15.68	9.88	12.11	12.19	12.74
450	0	14.11	14.18	11.44	20.83	20.95	12.09	15.56	15.63	10.37	12.17	12.26	13.26
460	0	14.11	14.19	11.95	20.87	20.99	12.61	15.51	15.58	10.87	12.23	12.32	13.79
470	0	14.11	14.19	12.48	20.90	21.03	13.15	15.46	15.54	11.38	12.28	12.37	14.34
480	0	14.11	14.19	13.01	20.93	21.07	13.69	15.42	15.49	11.91	12.34	12.43	14.89
490	0	14.11	14.20	13.56	20.96	21.10	14.25	15.37	15.45	12.45	12.39	12.48	15.46
500	0	14.11	14.20	14.12	20.99	21.14	14.82	15.33	15.41	13.00	12.43	12.54	16.03
520	0	14.11	14.21	15.27	21.05	21.21	15.99	15.25	15.34	14.13	12.53	12.64	17.21
540	0	14.11	14.22	16.47	21.10	21.27	17.20	15.18	15.27	15.32	12.61	12.73	18.44
560	0	14.11	14.22	17.72	21.15	21.33	18.46	15.11	15.22	16.55	12.69	12.81	19.71
580	0	14.11	14.23	19.01	21.19	21.39	19.76	15.05	15.16	17.82	12.76	12.90	21.02
600	0	14.11	14.24	20.34	21.23	21.44	21.11	14.99	15.12	19.14	12.83	12.97	22.38
620	0	14.11	14.25	21.72	21.27	21.50	22.50	14.94	15.07	20.51	12.89	13.05	23.79
640	0	14.11	14.26	23.15	21.31	21.55	23.93	14.90	15.03	21.93	12.95	13.11	25.23
660	0	14.11	14.27	24.62	21.34	21.59	25.42	14.85	15.00	23.39	13.01	13.18	26.72
680	0	14.11	14.28	26.14	21.37	21.64	26.94	14.81	14.97	24.90	13.06	13.24	28.26
700	0	14.11	14.29	27.71	21.40	21.69	28.51	14.78	14.94	26.46	13.11	13.30	29.84
720	0	14.11	14.30	29.31	21.43	21.73	30.13	14.74	14.92	28.06	13.15	13.35	31.46
740	0	14.11	14.31	30.97	21.46	21.77	31.79	14.71	14.90	29.71	13.19	13.41	33.13
760	0	14.11	14.32	32.67	21.48	21.81	33.50	14.68	14.88	31.40	13.23	13.46	34.85
780	0	14.11	14.33	34.42	21.50	21.86	35.25	14.65	14.86	33.14	13.27	13.51	36.61
800	0	14.11	14.34	36.21	21.53	21.89	37.05	14.63	14.85	34.93	13.31	13.55	38.41
820	0	14.11	14.35	38.05	21.55	21.93	38.90	14.60	14.84	36.76	13.34	13.60	40.26
840	0	14.11	14.37	39.93	21.57	21.97	40.79	14.58	14.83	38.64	13.37	13.64	42.16
860	0	14.11	14.38	41.86	21.58	22.01	42.72	14.56	14.82	40.56	13.40	13.68	44.10
880	0	14.11	14.39	43.84	21.60	22.05	44.70	14.54	14.81	42.53	13.43	13.72	46.09
900	0	14.11	14.40	45.86	21.62	22.08	46.73	14.52	14.81	44.55	13.45	13.76	48.12
920	0	14.11	14.42	47.93	21.63	22.12	48.80	14.51	14.80	46.62	13.48	13.80	50.20
940	0	14.11	14.43	50.04	21.65	22.15	50.92	14.49	14.80	48.73	13.50	13.84	52.32
960	0	14.11	14.44	52.20	21.66	22.19	53.09	14.48	14.80	50.88	13.52	13.87	54.49
980	0	14.11	14.46	54.41	21.67	22.22	55.30	14.46	14.80	53.09	13.55	13.91	56.70
1000	0	14.11	14.47	56.66	21.69	22.26	57.56	14.45	14.80	55.33	13.57	13.94	58.97
1050	0	14.11	14.51	62.50	21.72	22.35	63.40	14.42	14.81	61.16	13.61	14.02	64.82
1100	0	14.11	14.55	68.62	21.74	22.43	69.53	14.39	14.82	67.28	13.65	14.10	70.96
1150	0	14.11	14.59	75.04	21.76	22.52	75.96	14.37	14.84	73.69	13.69	14.18	77.40
1200	0	14.11	14.63	81.75	21.78	22.60	82.67	14.35	14.86	80.39	13.72	14.26	84.12

H: Tiro horizontal del conductor (kN) T: Tiro del conductor (kN) F: Flecha del conductor (m)

Nota: Los cálculos presentados son referenciales, el Contratista preparará la tabla de flechas y tensiones con los datos exactos del conductor para el montaje.

ANEXO 09

Base la ecuación de balance térmico

$$W_c + W_r = W_j + W_i$$

$$W_c = 13.8 \cdot T_i \cdot (V \cdot d)^{**} 0.448 / 10000$$

$$W_r = \rho \cdot E \cdot S \cdot d \cdot ((T_i + T_a)^{**} 4 - T_a^{**} 4)$$

$$W_i = \alpha \cdot S \cdot I \cdot d$$

$$W_j = I^{**} 2 \cdot R_t$$

CALCULO DE LA AMPACITANCIA

POS	DESCRIPCION	UNIDAD	1	CONDICIONES DIVERSAS			
				2	3	4	
1	Material		AAAC				
2	Calibre			240	240	240	240
3	Sección			235.8	235.8	235.8	235.8
4	Diámetro	mm		19.95	19.95	19.95	19.95
5	Resistencia eléctrica	ohm/km		0.14	0.14	0.14	0.14
6	Temperatura ambiente máxima promedio	C°		26.5	26.5	26.5	26.5
7	Coeficiente de resistividad termica			0.0036	0.0036	0.0036	0.0036
8	Coeficiente de absorción solar			0.9	0.9	0.9	0.9
9	Radiación solar	w/cm2		0.105	0.105	0.105	0.105
10	Emisividad			0.9	0.9	0.9	0.9
11	Constante Stefan	w/cm2		5.70E-12	5.7E-12	5.7E-12	5.7E-12
12	Elevación de la temperatura	C°		25	15	40	35
CONDICIONES DE TEMPERATURA				MIN PROMEDIO	MAXIMA	MAX PROMEDIO	PROMEDIO
13	Temperatura ambiente	C°		25	35	10	15
14	Velocidad de viento	cm/seg		55.55	55.55	55.55	55.55
15	Resistencia a tc	ohm/cm		1.55E-06	1.5512E-06	1.5512E-06	1.5512E-06
16	Energía disipada por convección			0.2837	0.1702	0.4539	0.3972
17	Energía disipada por radiación			0.0959	0.0548	0.1653	0.1411
18	Energía absorbida por insolación			0.1876	0.1876	0.1876	0.1876
19	Corriente en el conductor	A		451.84	255.25	545.00	495.46
20	Temperatura final en el conductor	C°		50	50	50	50
21	Potencia a transmitir	MVA		46.9	26.5	56.6	51.4
22	Tensión	kV		60	60	60	60
23	Factor de Potencia			0.85	0.85	0.85	0.85

CALCULO DE LA AMPACITANCIA

POS	DESCRIPCION	UNIDAD	1	CONDICIONES DIVERSAS		
				2	3	4
	CONDICIONES DE TEMPERATURA Temperatura ambiente	C°	MAX PROMEDIO 25	MAXIMA 35	MIN PROMEDIO 10	PROMEDIO 15
1 2	Corriente en el conductor Potencia a transmitir	A mW		120 mm²		
3 4	Corriente en el conductor Potencia a transmitir	A mW	251.07 22.2	128.28 11.3	344.28 30.4	312.49 27.6
				150 mm²		
5 6	Corriente en el conductor Potencia a transmitir	A mW	266.83 23.6	136.74 12.1	390.25 34.5	353.47 31.2
				185 mm²		
7 8	Corriente en el conductor Potencia a transmitir	A mW	302.94 26.76	146.45 12.94	447.82 39.56	404.76 35.75
				240 mm²		
			351.84 31.1	155.25 13.7	527.46 46.6	475.46 42.0

ANEXO 10

EFECTO DEL CORTOCIRCUITO

Estabilidad Térmica del conductor

I = corriente admisible en amperios

S = sección mm²

c = 887 Joule/kg C calor específico del metal en Joule/Kg C

γ = 0.0027 Kg/mm²m peso específico del metal en Kg/mm² m.

ρ = 0.0313 resistividad del metal a la temperatura inicial t1

α = 0.0036 1/C coeficiente de incremento de la resistencia con la temperatura 1/ C

t1 = 20 °C Temperatura en el instante t1 de inicio del cc en C

t2 = 160 °C Temperatura en el instante t2 de finalizado del cc en C

t = 140 S Tiempo de duración del cc o sea t2-t1 en segundos

kp = 1 coeficiente pelicular o Rca/Red

$$I \equiv \frac{S}{\sqrt{t}} \sqrt{\left[\frac{c\gamma}{\rho\alpha kp} \ln(1 + \alpha(t_2 - t_1)) \right]}$$

I (kA)	t (seg)
70.69	0.1
49.98	0.2
40.81	0.3
35.34	0.4
31.61	0.5
28.86	0.6
26.72	0.7
24.99	0.8
23.56	0.9
22.35	1.0

La corriente que puede soportar el conductor, cuando hay un cortocircuito, es de 31.61kA, en un tiempo de 0,5 seg.
El cual es el tiempo sumado para la actuación de los diferentes dispositivos de despeje en esta condición.

NOTA: Para no tener ningún problema en condición de cortocircuito, se ajustará los tiempos de los dispositivos de despeje a un tiempo de menor a este (0.5 seg).

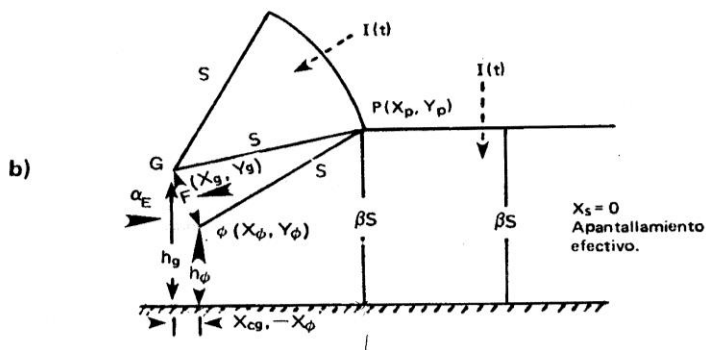
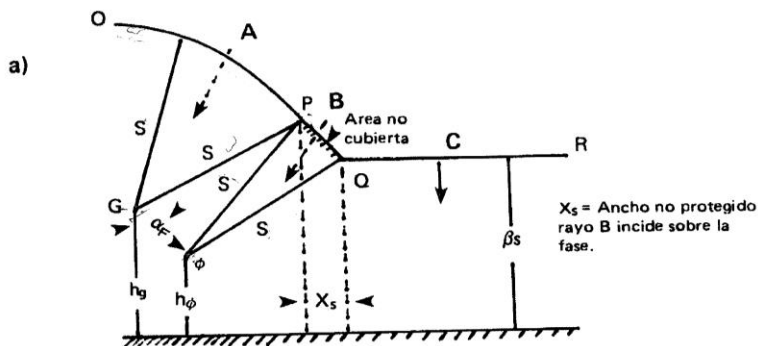
CALCULO DE LA UBICACIÓN DEL CABLE DE GUARDA ESTRUCTURA "R-A"

USO DE CABLE DE GUARDA

1.-METODO ISOGEOMETRICO

Se usara el metodo ISOGEOMETRICO para la determinacion de la ubicación horizontal del cable de guarda: Previamente se asume la altura h_g del cable de guarda; igual a la configuracion existente en la linea de transmision.

En la figura siguiente se muestra la aplicacion del metodo para un apantallamiento NO EFECTIVO (a) y un apantallamiento EFECTIVO (b).



CONFIGURACION INICIAL

V _n =	60	Tension nominal (kV)
h _f =	15.9	altura conductor de fase (m)
h _g =	17.9	altura del cable de guarda (m)
Area=	240	Area del conductor de fase (mm ²)
r _{cond} =	0.009975	radio del conductor de fase (m)
BIL=	325	Nivel basico de aislamiento (kV)

1.- IMPEDANCIA CARACTERISTICA DEL CONDUCTOR EN OHMOS (Z_o)

$$Z_o = 60 * \ln\left(\frac{2h}{r}\right)$$

Donde:

$$\begin{aligned} h &= h_f & 15.9 \text{ m} \\ r &= r_{cond} & 0.009975 \text{ m} \end{aligned}$$

Zo= **484.03** Ohmios

2.-CORRIENTE CRITICA DE DESCARGA (I)

$$I = \frac{2 * BIL}{Z_o}$$

I= **1.34** k A

3.-DISTANCIA DE IMPACTO (S₁)

$$S_1 = 9.4 * I^{2/3}$$

S₁= **11.44** m

4.- DISTANCIA MAXIMA DE ATRACCION DEL RAYO

$$S_{max} = Y_o * S = Y_0 * \left(\frac{-B - \sqrt{B^2 + AC}}{A} \right)$$

$$Y_0 = \frac{h_g - h_f}{2}$$

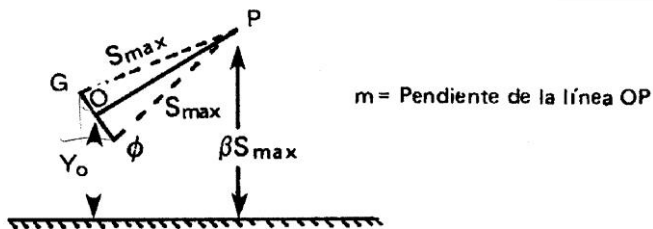
Yo= **1** m

$$A = m^2 - m^2\beta - \beta^2$$

$$B = \beta * (m^2 + 1)$$

$$C = (m + 1)$$

5.-PENDIENTE DE LA LINEA OP



$$m = \frac{X_f - X_g}{h_g - h_f}$$

$$h_g - h_f = 2 \text{ m}$$

$$\text{Considerando } S_1 = S_{\max} = 11.44 \text{ m}$$

$$\rightarrow S = 11.44 \text{ m}$$

De la ecuación de Smax, se deduce:

$$S = \frac{-B - \sqrt{B^2 + AC}}{A}$$

$$x_f - x_g = \sqrt{S_1^2 - (\beta * S_1 - h_g)^2} - \sqrt{S_1^2 - (\beta * S_1 - h_f)^2}$$

Entonces simplificando se obtiene:

$$\rightarrow xf - xg = 2 \\ \beta = 1.88901$$

Conclusion:

La distancia xf-xg calculada corresponde a la ubicación del cable de guarda para un apantallamiento efectivo.

ANEXO 12

CUADRO DE CARGAS

ESTRUCTURA "PC-S2C"

HIPOTESIS		1	2	3
CG	T	81	31	81
	V	61	47	61
	L	450		
C1	T	200	200	117
	V	228	228	100
	L			791
C2	T	200	200	228
	V	228	228	200
	L			
C3	T	200	200	228
	V	228	228	200
	L			
Presión viento(daN/m ²)		37.97	0	0

Hipotesis 1 : Condición Normal

Hipotesis 2 : Condición de Rotura C.G

Hipotesis 3 : Condición rotura Conducto

ESTRUCTURA "PC-S2C-R"

HIPOTESIS		1	2	3
CG	T	81	31	81
	V	61	47	61
	L	450		
C1	T	228	228	117
	V	200	200	100
	L	1862	1862	1862
C2	T	228	228	228
	V	200	200	200
	L	1862	1862	1862
C3	T	228	228	228
	V	200	200	200
	L	1862	1862	1862
Presión viento(daN/m ²)		37.97	0	0

Hipotesis 1 : Condición Normal

Hipotesis 2 : Condición de Rotura C.G

Hipotesis 3 : Condición rotura Conducto

ESTRUCTURA "PM-T-AF"

HIPOTESIS		1	2	3
CG	T	1171	931	1171
	V	61	31	61
	L	900		
C1	T	2412	2412	1272
	V	200	200	70
	L			
C2	T	2412	2412	2412
	V	200	200	200
	L			
C3	T	2412	2412	2412
	V	200	200	200
	L			
Presión viento(daN/m²)		37.97	0	0

Hipotesis 1 : Condición Normal

Hipotesis 2 : Condición de Rotura C.G

Hipotesis 3 : Condición rotura Conductor

ESTRUCTURA "PM-TA-2"

HIPOTESIS		1	2	3
CG	T	1171	931	931
	V	61	31	31
	L	900	900	900
C1	T	2412	2412	2412
	V	200	200	70
	L	2412	2412	2412
C2	T	2412	2412	2412
	V	200	200	200
	L	2412	2412	2412
C3	T	2412	2412	2412
	V	200	200	200
	L	2412	2412	2412
Presión viento(daN/m²)		37.97	0	0

Hipotesis 1 : Condición Normal

Hipotesis 2 : Condición de Rotura C.G

Hipotesis 3 : Condición rotura Conductor

ESTRUCTURA "PM-TA-4"

HIPOTESIS		1	2	3
CG	T	1171	931	1171
	V	61	31	61
	L			
C1	T	2412	2412	2412
	V	250	250	250
	L	2412	2412	2412
C2	T	2412	2412	2412
	V	250	250	250
	L	2412	2412	2412
C3	T	2412	2412	2412
	V	250	250	250
	L	2412	2412	2412
Presión viento(daN/m²)		37.97	0	0

Hipotesis 1 : Condición Normal

Hipotesis 2 : Condición de Rotura C.G

Hipotesis 3 : Condición rotura Conductor

ESTRUCTURA "PM-R-A"

HIPOTESIS		1	2	3
CG	T	81	31	81
	V	61	47	61
	L	450		
C1	T	228	228	117
	V	250	250	250
	L			791
C2	T	228	228	228
	V	250	250	250
	L			
C3	T	228	228	228
	V	250	250	250
	L			
Presión viento(daN/m2)		37.97	0	0

Hipotesis 1 : Condición Normal

Hipotesis 2 : Condición de Rotura C.G

Hipotesis 3 : Condición rotura Conducto

ESTRUCTURA "PM-R-A-1"

HIPOTESIS		1	2	3
CG	T	81	31	81
	V	61	47	61
	L	450		
C1	T	228	228	117
	V	250	250	250
	L			791
C2	T	228	228	228
	V	250	250	250
	L			
C3	T	228	228	228
	V	250	250	250
	L			
Presión viento(daN/m2)		37.97	0	0

Hipotesis 1 : Condición Normal

Hipotesis 2 : Condición de Rotura C.G

Hipotesis 3 : Condición rotura Conducto

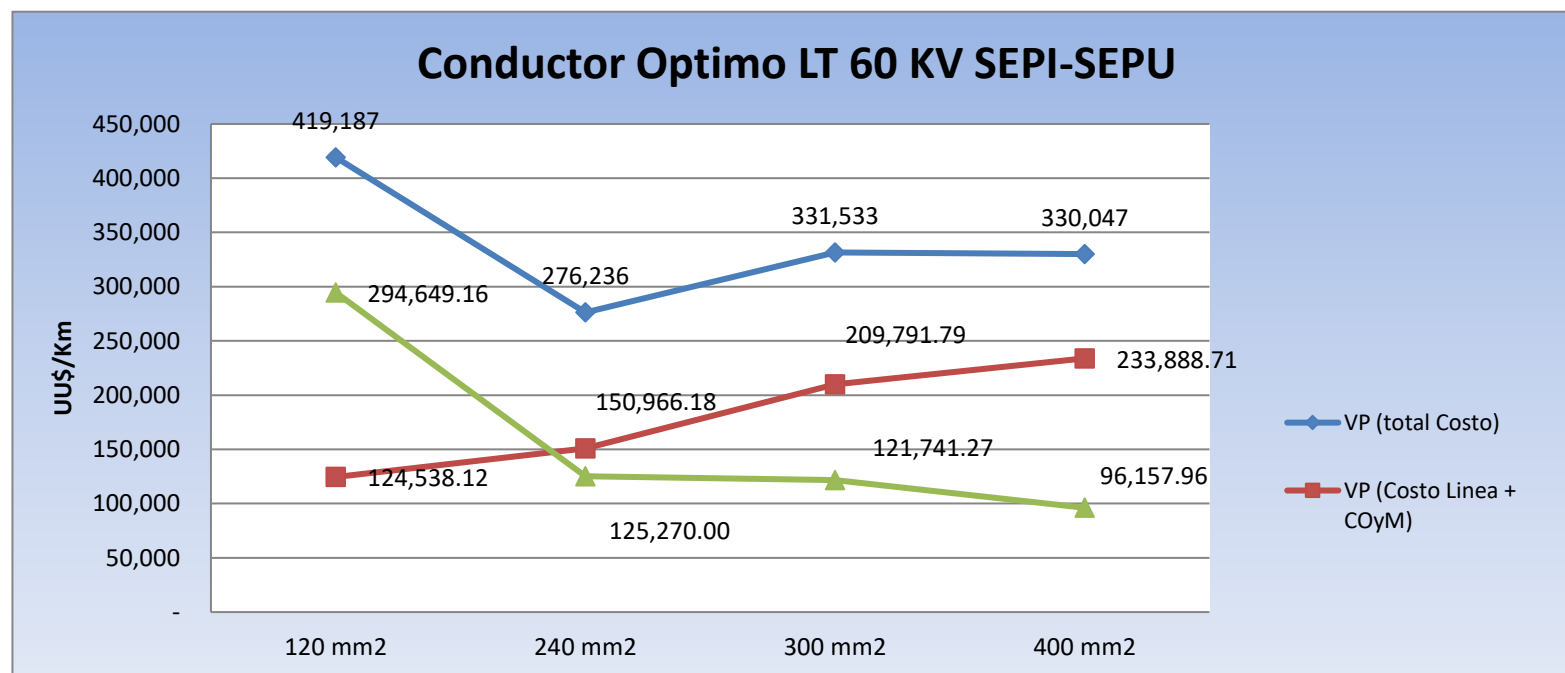
**LINEA DE TRANSMISIÓN 60 KV SUBESTACIÓN PARQUE
INDUSTRIAL - SUBESTACIÓN PUCALLPA**

RESUMEN DE LA ESTRATIFICACIÓN DEL TERRENO

Punto	Resistividad de la Capa Superior ρ_1 (Ohm-m)	Profundidad de la Capa Superior $h1$ (m)	Resistividad de la Capa Inferior ρ_2 (Ohm-m)
V1	71.02	0.58	62.565
V2	125.175	4.16	102.555
V3	155.22	1.69	61.74
V4	143.23	8.06	85.29
V5	91.11	5.12	56.935
V6	98.785	1.28	62.685
V7	110.175	2.45	59.765
V8	118.705	1.37	90.23
V9	160.06	1.81	121.93
V10	167.47	2.51	139.065
V11	137.185	1.58	77.81
V12	123.345	0.98	83.775
V13	106.735	1.27	68.79
V14	95.285	2.13	57.845
V15	85.22	3.03	58.995
V16	100.425	1.31	66.8

ANEXO 14
SELECCIÓN DEL CONDUCTOR OPTIMO

Resumen									
Sección	P.U (\$)	Costo Linea (\$/Km)	VP (Costo Linea + COyM)	VP (Costo de Pérdidas)	VP (total Costo)	Tasa de Incremento Precio Cond.	Tasa de Incremento Monto Invers.	Factor de Correccion	Costo Linea corregido (\$/Km)
120 mm ²	1.65	86,533.92	124,538.12	294,649.16	419,187.28			15.9%	100,331.77
240 mm ²	3.27	118,444.76	150,966.18	125,270.00	276,236.18	98.2%	36.9%	2.7%	121,623.04
300 mm ²	4.36	131,429.19	209,791.79	121,741.27	331,533.06	33.3%	11.0%	28.6%	169,014.77
400 mm ²	5.89	161,665.65	233,888.71	96,157.96	330,046.67	35.0%	23.0%	16.6%	188,428.00
					Promedio	55.5%	23.6%	15.9%	
					Promedio	40%			



ANEXO 14

EVALUACION ECONOMICA DE LAS PERDIDAS DE ENERGIA CON Y SIN PROYECTO

AÑO	COSTO DE PERDIDAS (POTENCIA Y ENERGIA) EN US\$						AÑO	PERDIDA DE ENERGIA EN KWh					
	SEPI-SEPU	SEPI-SEYA	SEYA-SEPU	SEPI-SEYA-SEPU	AHORRO EN US\$	AHORRO EN S./		SEPI-SEPU	SEPI-SEYA	SEYA-SEPU	SEPI-SEYA-SEPU	ENERGIA DEJADA DE PERDER (Kwh)	
0	2017	-	-	-	-	-	0	-	-	-	-	-	
1	2018	47,858.99	72,085.71	86,717.53	158,803.24	110,944.25	321,738.34	1	555,399.09	836,547.99	1,006,348.87	1,842,896.86	1,287,497.78
2	2019	55,533.94	83,645.80	100,624.07	184,269.87	128,735.93	373,334.21	2	644,466.19	970,701.80	1,167,732.96	2,138,434.76	1,493,968.58
3	2020	64,444.39	97,066.83	116,769.27	213,836.09	149,391.70	433,235.93	3	747,871.22	1,126,451.55	1,355,096.50	2,481,548.05	1,733,676.83
4	2021	74,789.98	112,649.46	135,514.83	248,164.29	173,374.31	502,785.50	4	867,930.80	1,307,286.56	1,572,637.05	2,879,923.61	2,011,992.81
5	2022	86,802.69	130,743.13	157,281.12	288,024.25	201,221.56	583,542.52	5	1,007,337.17	1,517,261.92	1,825,232.80	3,342,494.72	2,335,157.55
6	2023	100,752.15	151,753.95	182,556.67	334,310.62	233,558.48	677,319.58	6	1,169,219.32	1,761,090.53	2,118,553.27	3,879,643.80	2,710,424.48
7	2024	116,951.74	176,153.94	211,909.33	388,063.27	271,111.54	786,223.46	7	1,357,214.06	2,044,250.19	2,459,188.12	4,503,438.32	3,146,224.26
8	2025	135,765.73	204,491.78	245,999.12	450,490.90	314,725.17	912,702.99	8	1,575,548.68	2,373,108.12	2,854,796.99	5,227,905.11	3,652,356.43
9	2026	157,617.56	237,405.24	285,593.30	522,998.54	365,380.98	1,059,604.84	9	1,829,137.22	2,755,065.86	3,314,283.77	6,069,349.63	4,240,212.41
10	2027	182,999.51	275,635.79	331,583.81	607,219.61	424,220.10	1,230,238.30	10	2,123,692.30	3,198,727.85	3,847,999.41	7,046,727.26	4,923,034.96
11	2028	212,483.85	320,045.43	385,007.63	705,053.06	492,569.21	1,428,450.70	11	2,465,855.42	3,714,097.56	4,467,977.86	8,182,075.42	5,716,220.00
12	2029	246,736.00	371,636.37	447,070.40	818,706.78	571,970.78	1,658,715.26	12	2,863,348.37	4,312,805.66	5,188,210.58	9,501,016.24	6,637,667.86
13	2030	286,529.62	431,573.94	519,173.98	950,747.93	664,218.31	1,926,233.10	13	3,325,149.63	5,008,375.61	6,024,965.95	11,033,341.56	7,708,191.93
14	2031	332,764.35	501,213.19	602,948.47	1,104,161.65	771,397.31	2,237,052.19	14	3,861,699.42	5,816,532.58	6,997,161.06	12,813,693.64	8,951,994.23
15	2032	386,486.37	582,129.87	700,289.45	1,282,419.32	895,932.95	2,598,205.56	15	4,485,138.50	6,755,563.13	8,126,794.21	14,882,357.34	10,397,218.84
16	2033	448,912.33	676,156.51	813,401.45	1,489,557.96	1,040,645.63	3,017,872.31	16	5,209,586.00	7,846,733.64	9,439,448.38	17,286,182.02	12,076,596.02
17	2034	521,457.23	785,424.40	944,848.32	1,730,272.72	1,208,815.50	3,505,564.94	17	6,051,462.80	9,114,777.39	10,964,877.19	20,079,654.58	14,028,191.78
18	2035	605,766.83	912,412.41	1,097,612.11	2,010,024.53	1,404,257.70	4,072,347.33	18	7,029,867.88	10,588,461.49	12,737,686.83	23,326,148.32	16,296,280.44
19	2036	703,755.43	1,060,003.88	1,275,161.41	2,335,165.29	1,631,409.86	4,731,088.60	19	8,167,016.47	12,301,246.76	14,798,129.92	27,099,376.68	18,932,360.20
20	2037	817,649.79	1,231,552.78	1,481,530.97	2,713,083.74	1,895,433.95	5,496,758.47	20	9,488,750.01	14,292,055.82	17,193,029.53	31,485,085.35	21,996,335.34
		5,586,058.45	8,413,780.44	10,121,593.24	18,535,373.67	12,949,315.22	37,553,014.13		64,825,690.52	97,641,142.01	117,460,151.25	215,101,293.26	150,275,602.74

ANEXO 14

	ANO	P (kW)	E (KWh)	Pp (Kw)	Longitud (Km)	Perdida Potencia (KW)	Perdida Potencia (%)	Perdida Energia (%)	Fc	T iempo (horas/año)	Fp	Ep (Kwh)	Costo Perdidas (US\$/año)	C. Perd VP (US\$)	Costo LT (US\$/km)	Mant LT (US\$/km)	Cost+Mant a VP (US\$/km)	Total a VP (US\$/km)
0	2017	0	114,947,229.99	32.31	6.38	206.11	1.00%	0.73%	0.627	8760	0.46	836,547.99	72,085.71	-	-	121,623.04	121,623.04	
1	2018	20,565.43	124,258,064.07	36.46	6.38	232.60	1.06%	0.78%	0.638	8760	0.48	970,701.80	83,645.80	64,362.24	3,928.42	3,507.52		
2	2019	21,847.15	134,323,084.49	41.14	6.38	262.50	1.13%	0.84%	0.649	8760	0.49	1,126,451.55	97,066.83	66,681.92	3,928.42	3,131.72		
3	2020	23,208.75	145,203,381.06	46.43	6.38	296.24	1.20%	0.90%	0.661	8760	0.50	1,307,286.56	112,649.46	71,590.77	3,928.42	2,796.17		
4	2021	24,655.20	156,964,991.91	52.40	6.38	334.32	1.28%	0.97%	0.672	8760	0.52	1,517,261.92	130,743.13	74,187.16	3,928.42	2,496.58		
5	2022	26,191.81	169,679,304.35	59.14	6.38	377.29	1.36%	1.04%	0.684	8760	0.53	1,761,090.53	151,753.95	76,883.27	3,928.42	2,229.09		
6	2023	27,824.18	183,423,488.08	66.74	6.38	425.78	1.44%	1.11%	0.696	8760	0.55	2,044,250.19	176,153.94	79,683.10	3,928.42	1,990.26		
7	2024	29,558.29	198,280,963.67	75.31	6.38	480.51	1.53%	1.20%	0.708	8760	0.56	2,373,108.12	204,491.78	82,590.80	3,928.42	1,777.02		
8	2025	31,400.48	250,472,032.48	108.25	6.38	690.62	1.83%	1.48%	0.746	8760	0.61	3,714,097.56	320,045.43	92,005.41	3,928.42	1,586.62		
11	2028	37,644.97	270,760,503.42	122.16	6.38	779.39	1.95%	1.59%	0.760	8760	0.63	4,312,805.66	371,636.37	95,389.80	3,928.42	1,129.33		
12	2029	39,991.15	292,692,359.64	137.86	6.38	879.56	2.07%	1.71%	0.773	8760	0.65	5,008,375.61	431,573.94	98,905.61	3,928.42	900.29		
13	2030	42,483.55	316,400,716.91	155.58	6.38	992.62	2.20%	1.84%	0.786	8760	0.67	5,816,532.58	501,213.19	102,558.15	3,928.42	803.83		
14	2031	45,131.29	342,029,473.49	175.58	6.38	1,120.20	2.34%	1.98%	0.800	8760	0.69	6,755,563.13	582,129.87	106,352.95	3,928.42	717.71		
15	2032	47,944.05	369,734,183.53	198.15	6.38	1,264.18	2.48%	2.12%	0.814	8760	0.71	7,846,733.64	676,156.51	110,295.77	3,928.42	640.81		
16	2033	50,932.10	399,683,001.22	223.62	6.38	1,426.67	2.64%	2.28%	0.829	8760	0.73	9,114,777.39	785,424.40	114,392.62	3,928.42	572.15		
17	2034	54,106.39	432,057,701.40	252.36	6.38	1,610.04	2.80%	2.45%	0.843	8760	0.75	10,588,461.49	912,412.41	118,649.74	3,928.42	510.85		
18	2035	57,478.50	467,054,782.83	284.79	6.38	1,816.98	2.98%	2.63%	0.858	8760	0.77	12,301,246.76	1,060,003.88	123,073.63	3,928.42	456.12		
19	2036	61,060.78	504,886,660.88	321.40	6.38	2,050.52	3.16%	2.83%	0.873	8760	0.80	14,292,055.82	1,231,552.78	127,671.09	3,928.42	407.25		
20	2037	64,866.32	-	362.71	6.38	2,314.08	3.36%	3.03%	0.889	8760	0.82	16,606,167.32	1,430,960.79	132,449.18	3,928.42	363.61		
21	2038	68,909.04	-	-	-	-	-	-	-	-	-	-	-	1,981,171.53	150,966.18	2,132,137.72		

Tipo Cambio

Nº Ternas

Rac=

ohms/km

ANEXO 14

	ANO	P (kW)	E (KWh)	Pp (Kw)	Longitud (Km)	Perdida Potencia (KW)	Perdida Potencia (%)	Perdida Energia (%)	Fc	T iempo (horas/año)	Fp	Ep (Kwh)	Costo Perdidas (US\$/año)	C. Perd VP (US\$)	Costo LT (US\$/km)	Mant LT (US\$/km)	Cost+Mant a VP (US\$/km)	Total a VP (US\$/km)	Tipo Cambio	Nº Ternas	Rac=	(Actualmente funciona solo una terna) ohms/km	
0	2017	0	106,334,070.00	40.38	6.14	247.95	1.21%	0.95%	0.627	0	-	-	-	-	125,414.72	125,414.72							
1	2018	20,565.43	114,947,229.99	45.57	6.14	279.82	1.28%	1.02%	0.638	8760	0.48	1,006,348.87	86,717.53	77,426.36	4,050.90	4,050.90	4,050.90	3,616.87					
2	2019	21,847.15	124,258,064.07	51.43	6.14	315.78	1.36%	1.09%	0.649	8760	0.49	1,167,732.96	100,624.07	80,216.89	4,050.90	4,050.90	4,050.90	3,229.35					
3	2020	23,208.75	134,323,084.49	58.04	6.14	356.37	1.45%	1.17%	0.661	8760	0.50	1,572,637.05	135,514.83	86,122.12	4,050.90	4,050.90	4,050.90	2,883.35					
4	2021	24,655.20	145,203,381.06	65.50	6.14	402.17	1.54%	1.26%	0.672	8760	0.52	1,825,232.80	157,281.12	89,245.53	4,050.90	4,050.90	4,050.90	2,574.42					
5	2022	26,191.81	156,964,991.91	73.92	6.14	453.87	1.63%	1.35%	0.684	8760	0.53	2,118,553.27	182,556.67	92,488.89	4,050.90	4,050.90	4,050.90	2,052.31					
6	2023	27,824.18	169,679,304.35	83.42	6.14	512.20	1.73%	1.45%	0.696	8760	0.55	2,459,188.12	211,909.33	95,857.02	4,050.90	4,050.90	4,050.90	1,832.42					
7	2024	29,558.29	183,423,488.08	94.14	6.14	578.04	1.84%	1.56%	0.708	8760	0.56	2,854,796.99	245,999.12	99,354.92	4,050.90	4,050.90	4,050.90	1,636.09					
8	2025	31,400.48	231,703,805.62	135.31	6.14	830.80	2.21%	1.93%	0.746	8760	0.61	4,467,977.86	385,007.63	110,680.49	4,050.90	4,050.90	4,050.90	1,164.54					
11	2028	37,644.97	250,472,032.48	152.70	6.14	937.59	2.34%	2.07%	0.760	8760	0.63	5,188,210.58	447,070.40	114,751.84	4,050.90	4,050.90	4,050.90	1,039.76					
12	2029	39,991.15	270,760,503.42	172.33	6.14	1,058.10	2.49%	2.23%	0.773	8760	0.65	6,024,965.95	519,173.98	118,981.28	4,050.90	4,050.90	4,050.90	928.36					
13	2030	42,483.55	292,692,359.64	194.48	6.14	1,194.10	2.65%	2.39%	0.786	8760	0.67	6,997,161.06	602,948.47	123,375.20	4,050.90	4,050.90	4,050.90	828.89					
14	2031	45,131.29	316,400,716.91	219.47	6.14	1,347.58	2.81%	2.57%	0.800	8760	0.69	8,126,794.21	700,289.45	127,940.27	4,050.90	4,050.90	4,050.90	740.08					
15	2032	47,944.05	342,029,473.49	247.68	6.14	1,520.78	2.99%	2.76%	0.814	8760	0.71	9,439,448.38	813,401.45	132,683.40	4,050.90	4,050.90	4,050.90	660.79					
16	2033	50,932.10	369,734,183.53	279.52	6.14	1,716.25	3.17%	2.97%	0.829	8760	0.73	10,964,877.19	944,848.32	137,611.81	4,050.90	4,050.90	4,050.90	589.99					
17	2034	54,106.39	399,683,001.22	315.45	6.14	1,936.84	3.37%	3.19%	0.843	8760	0.75	12,737,686.83	1,097,612.11	142,733.03	4,050.90	4,050.90	4,050.90	526.78					
18	2035	57,478.50	432,057,701.40	355.99	6.14	2,185.79	3.58%	3.43%	0.858	8760	0.77	14,798,129.92	1,275,161.41	148,054.88	4,050.90	4,050.90	4,050.90	470.34					
19	2036	61,060.78	467,054,782.83	401.75	6.14	2,466.73	3.80%	3.68%	0.873	8760	0.80	17,193,029.53	1,481,530.97	153,585.52	4,050.90	4,050.90	4,050.90	419.94					
20	2037	64,866.32	504,886,660.88	453.39	6.14	2,783.79	4.04%	3.96%	0.889	8760	0.82	19,976,854.89	1,721,414.43	159,333.45	4,050.90	4,050.90	4,050.90	374.95					
21	2038	68,909.04											2,383,305.88					155,672.65	155,672.65	2,538,978.53			

ANEXO 14

	ANO	P (kW)	E (KWh)	Pp (Kw)	Longitud (Km)	Perdida Potencia (KW)	Perdida Potencia (%)	Perdida Energia (%)	Fc	T iempo (horas/año)	Fp	Ep (Kwh)	Costo Perdidas (US\$/año)	C. Perd VP (US\$)	Costo LT (US\$/km)	Mant LT (US\$/km)	Cost+Mant a VP (US\$/km)	Total a VP (US\$/km)
0	2017	0	106,334,070.00	30.65	1.00	30.65	0.15%	0.12%	0.627	8760	0.46	-	-	100,331.77	100,331.77			
1	2018	20,565.43	114,947,229.99	34.59	1.00	34.59	0.16%	0.13%	0.638	8760	0.48	124,415.36	10,720.93	9,572.26	3,240.72	2,893.50		
2	2019	21,847.15	124,258,064.07	39.04	1.00	39.04	0.17%	0.13%	0.649	8760	0.49	144,367.34	12,440.20	9,917.25	3,240.72	2,583.48		
3	2020	23,208.75	134,323,084.49	44.06	1.00	44.06	0.18%	0.14%	0.661	8760	0.50	167,531.18	14,436.24	10,275.43	3,240.72	2,306.68		
4	2021	24,655.20	145,203,381.06	49.72	1.00	49.72	0.19%	0.16%	0.672	8760	0.52	194,425.81	16,753.76	10,647.32	3,240.72	2,059.53		
5	2022	26,191.81	156,964,991.91	56.11	1.00	56.11	0.20%	0.17%	0.684	8760	0.53	225,654.34	19,444.73	11,033.46	3,240.72	1,838.87		
6	2023	27,824.18	169,679,304.35	63.32	1.00	63.32	0.21%	0.18%	0.696	8760	0.55	261,917.68	22,569.56	11,434.44	3,240.72	1,641.85		
7	2024	29,558.29	183,423,488.08	71.46	1.00	71.46	0.23%	0.19%	0.708	8760	0.56	304,030.51	26,198.44	11,850.85	3,240.72	1,465.94		
8	2025	31,400.48	231,703,805.62	102.71	1.00	102.71	0.27%	0.24%	0.746	8760	0.61	552,378.07	47,598.66	13,683.48	3,240.72	1,308.87		
11	2028	37,644.97	250,472,032.48	115.91	1.00	115.91	0.29%	0.26%	0.760	8760	0.63	641,420.76	55,271.51	14,186.82	3,240.72	931.63		
12	2029	39,991.15	270,760,503.42	130.81	1.00	130.81	0.31%	0.28%	0.773	8760	0.65	744,869.20	64,185.71	14,709.71	3,240.72	831.81		
13	2030	42,483.55	292,692,359.64	147.63	1.00	147.63	0.33%	0.30%	0.786	8760	0.67	865,062.11	74,542.78	15,252.93	3,240.72	742.69		
14	2031	45,131.29	316,400,716.91	166.60	1.00	166.60	0.35%	0.32%	0.800	8760	0.69	1,004,719.15	86,577.09	15,817.31	3,240.72	663.11		
15	2032	47,944.05	342,029,473.49	188.02	1.00	188.02	0.37%	0.34%	0.814	8760	0.71	1,167,003.17	100,561.18	16,403.71	3,240.72	592.07		
16	2033	50,932.10	369,734,183.53	212.18	1.00	212.18	0.39%	0.37%	0.829	8760	0.73	1,355,592.60	116,812.01	17,013.01	3,240.72	528.63		
17	2034	54,106.39	399,683,001.22	239.45	1.00	239.45	0.42%	0.39%	0.843	8760	0.75	1,574,765.84	135,698.27	17,646.15	3,240.72	471.99		
18	2035	57,478.50	432,057,701.40	270.23	1.00	270.23	0.44%	0.42%	0.858	8760	0.77	1,829,499.33	157,648.77	18,304.09	3,240.72	421.42		
19	2036	61,060.78	467,054,782.83	304.96	1.00	304.96	0.47%	0.46%	0.873	8760	0.80	2,125,581.83	183,162.33	18,987.85	3,240.72	376.27		
20	2037	64,866.32	504,886,660.88	344.16	1.00	344.16	0.50%	0.49%	0.889	8760	0.82	2,469,747.38	212,819.23	19,698.46	3,240.72	335.95		
21	2038	68,909.04										294,649.16			299.96			
															124,538.12	419,187.28		

Tipo Cambio

Nº Ternas

Rac=

ohms/km

ANEXO 14

	ANO	P (kW)	E (KWh)	Pp (Kw)	Longitud (Km)	Perdida Potencia (KW)	Perdida Potencia (%)	Perdida Energia (%)	Fc	T iempo (horas/año)	Fp	Ep (Kwh)	Costo Perdidas (US\$/año)	C. Perd VP (US\$)	Costo LT (US\$/km)	Mant LT (US\$/km)	Cost+Mant a VP (US\$/km)	Total a VP (US\$/km)
0	2017	0	106,334,070.00	13.03	1.00	13.03	0.06%	0.05%	0.627	8760	0.46	-	-	121,623.04	121,623.04			
1	2018	20,565.43	114,947,229.99	14.71	1.00	14.71	0.07%	0.05%	0.638	8760	0.48	52,895.15	4,558.00	4,069.64	3,928.42	3,507.52		
2	2019	21,847.15	124,258,064.07	16.60	1.00	16.60	0.07%	0.06%	0.649	8760	0.49	61,377.73	5,288.95	4,216.32	3,928.42	3,131.72		
3	2020	23,208.75	134,323,084.49	18.73	1.00	18.73	0.08%	0.06%	0.661	8760	0.50	71,225.83	6,137.56	4,368.59	3,928.42	2,796.17		
4	2021	24,655.20	145,203,381.06	21.14	1.00	21.14	0.08%	0.07%	0.672	8760	0.52	82,660.08	7,122.86	4,526.70	3,928.42	2,496.58		
5	2022	26,191.81	156,964,991.91	23.86	1.00	23.86	0.09%	0.07%	0.684	8760	0.53	95,936.87	8,266.92	4,690.87	3,928.42	2,229.09		
6	2023	27,824.18	169,679,304.35	26.92	1.00	26.92	0.09%	0.08%	0.696	8760	0.55	111,354.22	9,595.44	4,861.35	3,928.42	1,990.26		
7	2024	29,558.29	183,423,488.08	30.38	1.00	30.38	0.10%	0.08%	0.708	8760	0.56	129,258.48	11,138.26	5,038.38	3,928.42	1,777.02		
8	2025	31,400.48	231,703,805.62	43.67	1.00	43.67	0.12%	0.10%	0.746	8760	0.61	150,052.26	12,930.07	5,222.24	3,928.42	1,586.62		
11	2028	37,644.97	250,472,032.48	49.28	1.00	49.28	0.12%	0.11%	0.760	8760	0.63	234,843.37	20,236.56	5,817.53	3,928.42	1,129.33		
12	2029	39,991.15	270,760,503.42	55.62	1.00	55.62	0.13%	0.12%	0.773	8760	0.65	272,699.85	23,498.67	6,031.52	3,928.42	1,008.33		
13	2030	42,483.55	292,692,359.64	62.76	1.00	62.76	0.14%	0.13%	0.786	8760	0.67	316,680.92	27,288.53	6,253.83	3,928.42	900.29		
14	2031	45,131.29	316,400,716.91	70.83	1.00	70.83	0.15%	0.14%	0.800	8760	0.69	367,780.90	31,691.84	6,484.78	3,928.42	803.83		
15	2032	47,944.05	342,029,473.49	79.93	1.00	79.93	0.16%	0.15%	0.814	8760	0.71	427,156.05	36,808.23	6,724.73	3,928.42	717.71		
16	2033	50,932.10	369,734,183.53	90.21	1.00	90.21	0.17%	0.16%	0.829	8760	0.73	496,151.05	42,753.56	6,974.03	3,928.42	640.81		
17	2034	54,106.39	399,683,001.22	101.80	1.00	101.80	0.18%	0.17%	0.843	8760	0.75	576,329.79	49,662.59	7,233.08	3,928.42	572.15		
18	2035	57,478.50	432,057,701.40	114.89	1.00	114.89	0.19%	0.18%	0.858	8760	0.77	669,511.23	57,692.08	7,502.25	3,928.42	510.85		
19	2036	61,060.78	467,054,782.83	129.66	1.00	129.66	0.20%	0.19%	0.873	8760	0.80	777,811.09	67,024.33	7,781.98	3,928.42	456.12		
20	2037	64,866.32	504,886,660.88	146.32	1.00	146.32	0.21%	0.21%	0.889	8760	0.82	903,690.48	77,871.41	8,072.68	3,928.42	407.25		
21	2038	68,909.04										1,050,012.36	90,480.03	8,374.80	3,928.42	363.61		
													125,270.00			150,966.18	276,236.18	

Tipo Cambio

Nº Ternas

Rac=

ohms/km

ANEXO 14

Tipo Cambio

CALCULO DE COSTOS Y PERDIDAS LT 60 KV AAC 300 MM2 - DOBLE TERNA

	ANO	P (kW)	E (KWh)	Pp (Kw)	Longitud (Km)	Perdida Potencia (KW)	Perdida Potencia (%)	Perdida Energia (%)	Fc	Tiempo (horas/año)	Fp	Ep (Kwh)	Costo Perdidas (US\$/año)	C. Perd VP (US\$)	Costo LT (US\$/km)	Mant LT (US\$/km)	Cost+Mant a VP (US\$/km)	Total a VP (US\$/km)
0	2017	0	106,334,070.00	12.67	1.00	12.67	0.06%	0.05%	0.627	8760	0.46	51,405.15	4,429.60	-	169,014.77	169,014.77		
1	2018	20,565.43	114,947,229.99	14.29	1.00	14.29	0.07%	0.05%	0.638	8760	0.48	59,648.78	5,139.96	4,097.55	5,459.18	4,874.27		
2	2019	21,847.15	124,258,064.07	16.13	1.00	16.13	0.07%	0.06%	0.649	8760	0.49	69,219.47	5,964.67	4,245.54	5,459.18	4,352.02		
3	2020	23,208.75	134,323,084.49	18.20	1.00	18.20	0.07%	0.06%	0.661	8760	0.50	80,331.62	6,922.21	4,399.19	5,459.18	3,885.73		
4	2021	24,655.20	145,203,381.06	20.54	1.00	20.54	0.08%	0.06%	0.672	8760	0.52	93,234.43	8,034.05	4,558.74	5,459.18	3,469.41		
5	2022	26,191.81	156,964,991.91	23.18	1.00	23.18	0.08%	0.07%	0.684	8760	0.53	108,217.48	9,325.15	4,724.41	5,459.18	3,097.68		
6	2023	27,824.18	169,679,304.35	26.16	1.00	26.16	0.09%	0.07%	0.696	8760	0.55	125,617.40	10,824.51	4,896.46	5,459.18	2,765.79		
7	2024	29,558.29	183,423,488.08	29.53	1.00	29.53	0.09%	0.08%	0.708	8760	0.56	145,825.43	12,565.84	5,075.13	5,459.18	2,469.45		
8	2025	31,400.48	231,703,805.62	42.44	1.00	42.44	0.11%	0.10%	0.746	8760	0.61	228,228.07	19,666.51	5,653.65	5,459.18	2,204.87		
11	2028	37,644.97	250,472,032.48	47.89	1.00	47.89	0.12%	0.11%	0.760	8760	0.63	265,018.16	22,836.73	5,861.62	5,459.18	1,569.38		
12	2029	39,991.15	270,760,503.42	54.05	1.00	54.05	0.13%	0.11%	0.773	8760	0.65	307,760.33	26,519.84	6,077.66	5,459.18	1,401.23		
13	2030	42,483.55	292,692,359.64	61.00	1.00	61.00	0.14%	0.12%	0.786	8760	0.67	357,420.87	30,799.11	6,302.11	5,459.18	1,251.10		
14	2031	45,131.29	316,400,716.91	68.84	1.00	68.84	0.14%	0.13%	0.800	8760	0.69	415,123.48	35,771.37	6,535.30	5,459.18	1,117.06		
15	2032	47,944.05	342,029,473.49	77.68	1.00	77.68	0.15%	0.14%	0.814	8760	0.71	482,174.96	41,549.23	6,777.58	5,459.18	997.37		
16	2033	50,932.10	369,734,183.53	87.67	1.00	87.67	0.16%	0.15%	0.829	8760	0.73	560,095.15	48,263.65	7,029.33	5,459.18	890.51		
17	2034	54,106.39	399,683,001.22	98.94	1.00	98.94	0.17%	0.16%	0.843	8760	0.75	650,651.76	56,066.95	7,290.92	5,459.18	795.10		
18	2035	57,478.50	432,057,701.40	111.65	1.00	111.65	0.18%	0.17%	0.858	8760	0.77	755,900.92	65,136.32	7,562.77	5,459.18	709.91		
19	2036	61,060.78	467,054,782.83	126.00	1.00	126.00	0.19%	0.19%	0.873	8760	0.80	878,234.41	75,677.85	7,845.28	5,459.18	633.85		
20	2037	64,866.32	504,886,660.88	142.20	1.00	142.20	0.21%	0.20%	0.889	8760	0.82	1,020,434.55	87,931.30	8,138.89	5,459.18	565.94		
21	2038	68,909.04											121,741.27			505.30		
																209,791.79	331,533.06	

ANEXO 14

	ANO	P (kW)	E (KWh)	Pp (Kw)	Longitud (Km)	Perdida Potencia (KW)	Perdida Potencia (%)	Perdida Energia (%)	Fc	T iempo (horas/año)	Fp	Ep (Kwh)	Costo Perdidas (US\$/año)	C. Perd VP (US\$)	Costo LT (US\$/km)	Mant LT (US\$/km)	Cost+Mant a VP (US\$/km)	Total a VP (US\$/km)
0	2017	0	106,334,070.00	10.00	1.00	10.00	0.05%	0.04%	0.627	8760	0.46	-	-	188,428.00	188,428.00			
1	2018	20,565.43	114,947,229.99	11.29	1.00	11.29	0.05%	0.04%	0.638	8760	0.48	40,602.62	3,498.75	3,123.88	6,086.22	5,434.13		
2	2019	21,847.15	124,258,064.07	12.74	1.00	12.74	0.05%	0.04%	0.649	8760	0.49	47,113.89	4,059.83	3,236.47	6,086.22	4,851.90		
3	2020	23,208.75	134,323,084.49	14.38	1.00	14.38	0.06%	0.05%	0.661	8760	0.50	54,673.35	4,711.23	3,353.36	6,086.22	4,332.05		
4	2021	24,655.20	145,203,381.06	16.23	1.00	16.23	0.06%	0.05%	0.672	8760	0.52	63,450.34	5,467.54	3,474.72	6,086.22	3,867.91		
5	2022	26,191.81	156,964,991.91	18.31	1.00	18.31	0.07%	0.05%	0.684	8760	0.53	73,641.68	6,345.74	3,600.74	6,086.22	3,453.49		
6	2023	27,824.18	169,679,304.35	20.67	1.00	20.67	0.07%	0.06%	0.696	8760	0.55	85,476.13	7,365.52	3,731.60	6,086.22	3,083.47		
7	2024	29,558.29	183,423,488.08	23.32	1.00	23.32	0.07%	0.06%	0.708	8760	0.56	99,219.54	8,549.79	3,867.49	6,086.22	2,753.10		
8	2025	31,400.48	231,703,805.62	33.52	1.00	33.52	0.09%	0.08%	0.746	8760	0.61	115,180.96	9,925.19	4,008.62	6,086.22	2,458.12		
11	2028	37,644.97	250,472,032.48	37.83	1.00	37.83	0.09%	0.08%	0.760	8760	0.63	180,267.10	15,533.70	4,465.57	6,086.22	1,749.64		
12	2029	39,991.15	270,760,503.42	42.69	1.00	42.69	0.10%	0.09%	0.773	8760	0.65	209,325.94	18,037.71	4,629.83	6,086.22	1,562.18		
13	2030	42,483.55	292,692,359.64	48.18	1.00	48.18	0.11%	0.10%	0.786	8760	0.67	243,086.06	20,946.83	4,800.47	6,086.22	1,394.81		
14	2031	45,131.29	316,400,716.91	54.37	1.00	54.37	0.11%	0.10%	0.800	8760	0.69	282,310.69	24,326.84	4,977.75	6,086.22	1,245.36		
15	2032	47,944.05	342,029,473.49	61.36	1.00	61.36	0.12%	0.11%	0.814	8760	0.71	327,887.39	28,254.20	5,161.94	6,086.22	1,111.93		
16	2033	50,932.10	369,734,183.53	69.24	1.00	69.24	0.13%	0.12%	0.829	8760	0.73	380,848.34	32,817.87	5,353.31	6,086.22	992.80		
17	2034	54,106.39	399,683,001.22	78.14	1.00	78.14	0.14%	0.13%	0.843	8760	0.75	442,393.99	38,121.29	5,552.15	6,086.22	886.42		
18	2035	57,478.50	432,057,701.40	88.19	1.00	88.19	0.14%	0.14%	0.858	8760	0.77	513,920.59	44,284.76	5,758.77	6,086.22	791.45		
19	2036	61,060.78	467,054,782.83	99.52	1.00	99.52	0.15%	0.15%	0.873	8760	0.80	597,052.18	51,448.25	5,973.49	6,086.22	706.65		
20	2037	64,866.32	504,886,660.88	112.32	1.00	112.32	0.16%	0.16%	0.889	8760	0.82	693,677.90	59,774.53	6,196.63	6,086.22	630.94		
21	2038	68,909.04										805,995.40	69,452.98	6,428.54	6,086.22	563.34		
												96,157.96			233,888.71	330,046.67		

Tipo Cambio

Nº Ternas

Rac=

ohms/km

ANEXO 14

ANALISIS DE PERDIDA DE ENERGIA CON Y SIN LA EJECUCION DEL PROYECTO

	0	1	2	3	4	5	6	7	8	9	10	11	12	13	14	15	16	17	18	19	20
	2017	2018	2019	2020	2021	2022	2023	2024	2025	2026	2027	2028	2029	2030	2031	2032	2033	2034	2035	2036	2037
Pérdida Energía (SEPI-SEPU)		0.52%	0.56%	0.60%	0.65%	0.69%	0.74%	0.80%	0.86%	0.92%	0.99%	1.06%	1.14%	1.23%	1.32%	1.42%	1.52%	1.64%	1.76%	1.89%	2.03%
Pérdida Potencia (SEPI-SEPU)		0.67%	0.71%	0.75%	0.80%	0.85%	0.90%	0.96%	1.02%	1.08%	1.15%	1.22%	1.29%	1.37%	1.46%	1.55%	1.65%	1.75%	1.86%	1.98%	2.10%
Pérdida Energía sin Proyecto (SEPI-SEYA-SEPU)		1,842,897	2,138,435	2,481,548	2,879,924	3,342,495	3,879,644	4,503,438	5,227,905	6,069,350	7,046,727	8,182,075	9,501,016	11,033,342	12,813,694	14,882,357	17,286,182	20,079,655	23,326,148	27,099,377	31,485,085
Pérdida Energía con Proyecto (SEPI-SEPU)		555,399	644,466	747,871	867,931	1,007,337	1,169,219	1,357,214	1,575,549	1,829,137	2,123,692	2,465,855	2,863,348	3,325,150	3,861,699	4,485,138	5,209,586	6,051,463	7,029,868	8,167,016	9,488,750
Energía dejada de perder con nuevo proyecto (SEPI-SEPU)		1,287,498	1,493,969	1,733,677	2,011,993	2,335,158	2,710,424	3,146,224	3,652,356	4,240,212	4,923,035	5,716,220	6,637,668	7,708,192	8,951,994	10,397,219	12,076,596	14,028,192	16,296,280	18,932,360	21,996,335

ANEXO 15

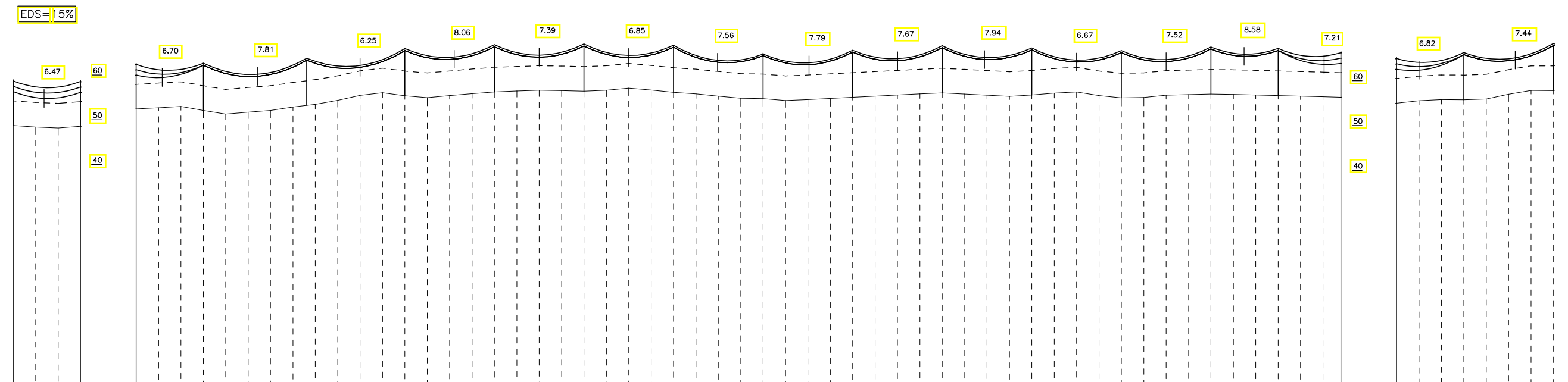
PROYECCION DE LA MAXIMA DEMANDA (MW)

Nº	AÑO	Max. Demanda real (KW)	Tasa de Crecimiento real	Tasa Promedio real		MD SEPI (MW)	MD SEYA (MW)	MD SEPU (MW)	fc (factor de carga)
1	2006	18,868		6.23%		4.93	3.18	10.75	-
2	2007	18,868	0.00%			4.93	3.18	10.75	-
3	2008	19,200	1.76%			5.02	3.23	10.94	-
4	2009	19,800	3.13%			5.18	3.34	11.29	-
5	2010	22,920	15.76%			5.99	3.86	13.06	0.58
6	2011	22,450	-2.05%			5.87	3.78	12.80	0.64
7	2012	25,526	13.70%			6.68	4.30	14.55	0.62
8	2013	26,781	4.92%			7.00	4.51	15.27	0.64
9	2014	29,618	10.59%			7.75	4.99	16.88	0.63
10	2015	33,589	13.41%			8.78	5.66	19.15	0.58
11	2016	33,963	1.11%			8.88	5.72	19.36	0.63
12	2017	36,080				9.44	6.08	20.57	0.64
13	2018	38,328				10.02	6.46	21.85	0.65
14	2019	40,717				10.65	6.86	23.21	0.66
15	2020	43,255				11.31	7.29	24.66	0.67
16	2021	45,951				12.02	7.74	26.19	0.68
17	2022	48,814				12.77	8.22	27.82	0.70
18	2023	51,857				13.56	8.74	29.56	0.71
19	2024	55,089				14.41	9.28	31.40	0.72
20	2025	58,522				15.31	9.86	33.36	0.73
21	2026	62,169				16.26	10.47	35.44	0.75
22	2027	66,044				17.27	11.13	37.64	0.76
23	2028	70,160				18.35	11.82	39.99	0.77
24	2029	74,533				19.49	12.56	42.48	0.79
25	2030	79,178				20.71	13.34	45.13	0.80
26	2031	84,112				22.00	14.17	47.94	0.81
27	2032	89,355				23.37	15.05	50.93	0.83
28	2033	94,923				24.83	15.99	54.11	0.84
29	2034	100,839				26.37	16.99	57.48	0.86
30	2035	107,124				28.02	18.05	61.06	0.87
31	2036	113,801				29.76	19.17	64.87	0.89
32	2037	120,893				31.62	20.37	68.91	0.90

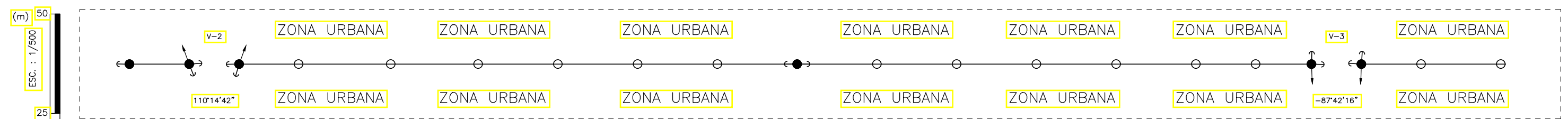
PROYECCION DE LA ENERGIA (MWh)

Nº	AÑO	DEMANDA REAL (MWh)	Tasa de Crecimiento	Tasa de crecimiento Promedio	MD SEPI (MWh)	MD SEYA (MWh)	MD SEPU (MWh)
	2006			8.10%	-	-	-
	2007				-	-	-
	2008				-	-	-
	2009				-	-	-
1	2010	117,008			34,441	19,508	66,695
2	2011	125,941	7.63%		37,071	20,997	71,787
3	2012	138,748	10.17%		40,840	23,132	79,086
4	2013	151,168	8.95%		44,496	25,203	86,166
5	2014	163,876	8.41%		48,237	27,322	93,409
6	2015	171,071	4.39%		50,355	28,522	97,511
7	2016	186,551	9.05%		54,911	31,102	106,334
8	2017	201,662			52,742	33,972	114,947
9	2018	217,997			57,014	36,724	124,258
10	2019	235,655			61,633	39,699	134,323
11	2020	254,743			66,625	42,914	145,203
12	2021	275,377			72,022	46,390	156,965
13	2022	297,683			77,856	50,148	169,679
14	2023	321,796			84,162	54,210	183,423
15	2024	347,861			90,979	58,601	198,281
16	2025	376,038			98,349	63,348	214,342
17	2026	406,498			106,315	68,479	231,704
18	2027	439,425			114,926	74,026	250,472
19	2028	475,018			124,236	80,022	270,761
20	2029	513,495			134,299	86,504	292,692
21	2030	555,089			145,177	93,511	316,401
22	2031	600,052			156,937	101,086	342,029
23	2032	648,656			169,649	109,274	369,734
24	2033	701,198			183,390	118,125	399,683
25	2034	757,996			198,245	127,693	432,058
26	2035	819,394			214,303	138,036	467,055
27	2036	885,766			231,662	149,218	504,887
28	2037	957,514			250,427	161,304	545,783

NÚMERO DE ESTRUCTURA	0	1	2	3	4	5	6	7	8	9	10	11	12	13	14	15	16	17	
ARMARIO PRINCIPAL	IA4	IA4	IA4	Szc	Szc	Szc	Szc	Szc	R-A	Szc	Szc	Szc	Szc	Szc	Szc	IA4	IA4	Szc	
ACUMULADA (m)	0.00	119.71	119.71	239.71	424.42	599.71	759.71	919.71	1079.71	1239.71	1399.71	1559.71	1719.71	1879.71	2039.71	2159.71	2271.73	2391.73	
VANO VIENTO (%)	59.85	119.65	119.65	152.56	180.00	167.64	160.00	160.00	160.00	160.00	160.00	160.00	160.00	160.00	160.00	160.01	160.01	160.00	
VANO PESO (m)	61.45	115.66	115.66	146.59	177.35	165.77	164.49	164.49	164.49	164.49	164.49	164.49	164.49	164.49	164.49	164.49	164.49	164.49	
CORTANTE	Z1/600																		
RETENIAS	1RN	2RN																	
PUERTA A TIERRA	PAI-H	PAI-A	PAI-A	PAT-R	PAT-B	PAT-B	PAT-B	PAT-B	PAT-B	PAI-A	PAT-R	PAT-R	PAT-R	PAT-R	PAT-R	PAI-H	PAI-H	PAT-B	
CIMENTACION	CM21=1																		
AMPLIFICADORES	-/-	-/-	-/-	-/-	-/-	-/-	-/-	-/-	-/-	-/-	-/-	-/-	-/-	-/-	-/-	-/-	-/-	-/-	
VANO HORIZONTAL (m)	19.71	120.00	184.72	175.28	160.00	160.00	160.00	160.00	160.00	160.00	160.00	160.00	160.00	160.00	160.00	120.00	112.02	20.00	
PARÁMETRO CATENARIA (m)	1225.43	1226.51	1381.57	1363.01	1330.55	1330.55	1330.52	1330.52	1330.52	1330.54	1330.55	1330.55	1330.55	1330.55	1330.55	1226.51	1201.61	1226.29	1350.52
CONDUCTOR	3x240 AAC																		

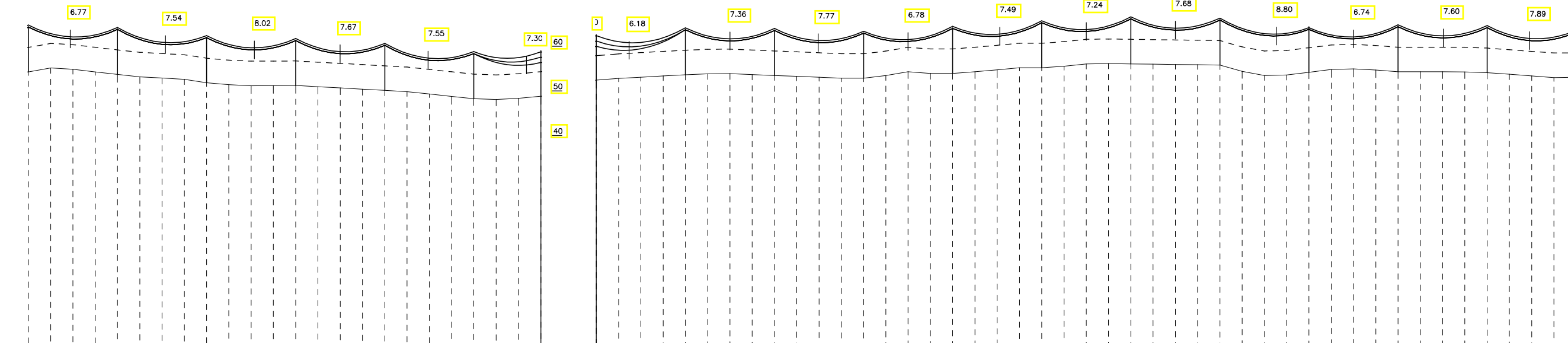


ESTACIÓN	V-1	V-2	V-3	V-2	V-3													
DISTANCIA PARCIAL (m)	119.71	81	80.00	80.00	80.00	80.00	80.00	80.00	80.00	80.00	80.00	80.00	80.00	80.00	80.00	72.02	81	
DISTANCIA ACUMULADA (m)	0.00	119.71	199.71	279.71	359.71	439.71	519.71	599.71	679.71	759.71	839.71	919.71	999.71	1079.71	1159.71	1239.71	1319.71	1399.71
COTA DE TERRENO (m)	152.56	152.40	152.98	151.27	152.09	153.45	155.42	155.37	155.39	156.22	156.58	156.37	157.07	156.11	155.28	154.70	154.49	155.00
TIPO DE TERRENO	ZONA URBANA																	
PROPIETARIO																		

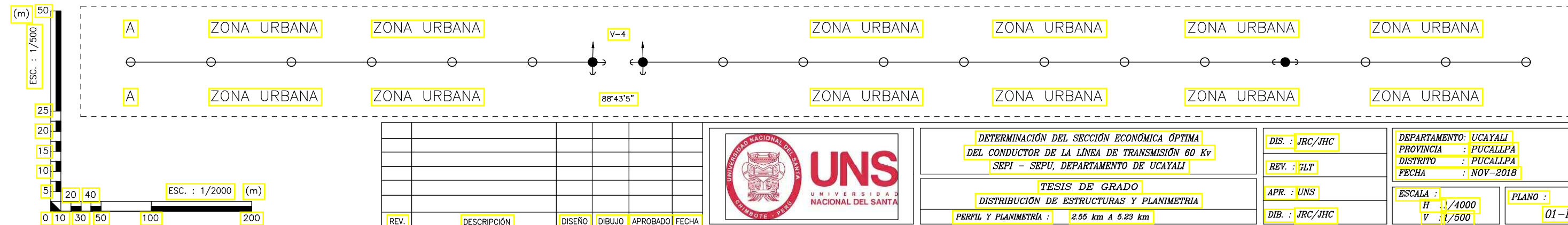


UNIVERSIDAD NACIONAL DEL SANTA CHIMBORAZO - PERU	UNS UNIVERSIDAD NACIONAL DEL SANTA	DETERMINACIÓN DEL SECCIÓN ECONÓMICA ÓPTIMA DEL CONDUCTOR DE LA LÍNEA DE TRANSMISIÓN 60 Kv SEPI - SEPU, DEPARTAMENTO DE UCAYALI	DIS. : JRC/JHC	DEPARTAMENTO : UCAYALI
REV. : GLT	PROVINCIA : PUCALLPA	APR. : UNS	REV. : GLT	DISTRITO : PUCAILPA
APR. : UNS	FECHA : NOV-2018	DIB. : JRC/JHC	PLANO : 1/4	FECHA : NOV-2018
PLANO : 1/4000	ESCALA : 1/500	PERFIL Y PLANIMETRIA : 0.00 km A 2.55 km	PLANO : 1/500	PLANO : 1/4
V : 1/500	01-LP	REV. : GLT	V : 1/500	01-LP
DESCRIPCIÓN	DISEÑO	DIBUJO	APROBADO	FECHA

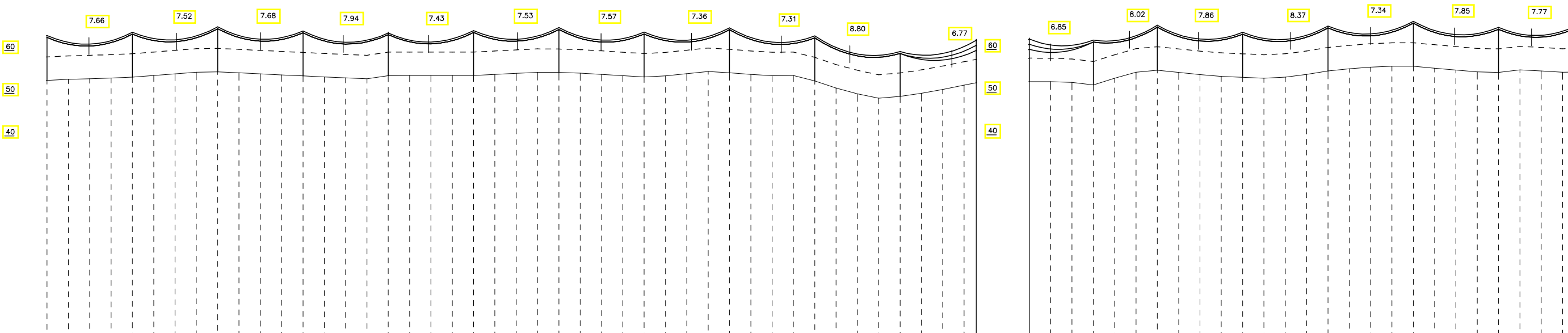
NÚMERO DE ESTRUCTURA	17	18	19	20	21	22	23	23	24	25	26	27	28	29	30	31	32	33	34	
ARMARIO PRINCIPAL	SZC	SZC	SZC	SZC	SZC	IA4	IA4	SZC	K-A	SZC	SZC	SZC								
ACUMULADA (m)	2551.73	2711.73	2871.73	3031.73	3191.73	3351.73	3472.01	3472.01	3632.01	3792.01	3952.01	4112.01	4272.01	4432.01	4592.01	4752.01	4912.01	5072.01	5232.01	
VANO VIENTO (m)	160.00	160.00	160.00	160.00	140.14	140.14	140.14	140.14	160.00	160.00	160.00	160.00	160.00	160.00	160.00	160.00	160.00	160.00	160.00	
VANO PESO (m)	181.62	177.44	149.74	163.41	166.42	174.46	175.46	175.46	160.00	160.00	160.00	160.00	160.00	160.00	160.00	160.00	160.00	160.00	160.00	
SOPORTE	Z1/600																			
RPI-NUJAS	/-	/-	/-	/-	/-	/-	/-	/-	/-	/-	/-	/-	/-	/-	/-	/-	/-	/-	/-	
PUESTA A TIERRA	PAT-B	PAT-B	PAT-A	PAT-B	PAT-A	PAT-B	PAT-B	PAT-B	PAT-B											
CIMENTACION	CM21-I	CM21-I																		
AMARILLADORES	/-	/-	/-	/-	/-	/-	/-	/-	/-	/-	/-	/-	/-	/-	/-	/-	/-	/-	/-	
VANO HORIZONTAL (m)	160.00	160.00	160.00	160.00	160.00	160.00	160.00	160.00	160.00	160.00	160.00	160.00	160.00	160.00	160.00	160.00	160.00	160.00	160.00	
FARAMEIRO CATENARIA (m)	1330.55	1330.55	1330.55	1330.54	1330.53	1227.13	1330.55	1330.55	1330.55	1330.54	1330.54	1330.55	1330.55	1330.52	1330.55	1330.52	1330.55	1330.54	1330.54	
CONDUCTOR	3x240 AAC																			



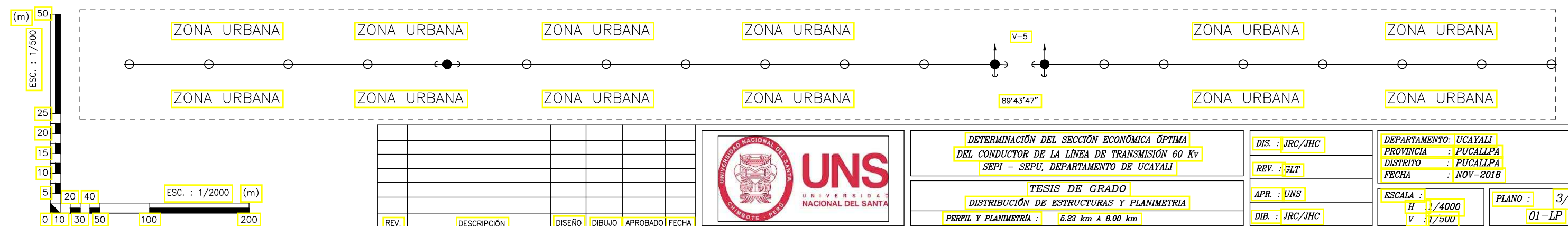
ESTACIÓN	-	-	-	-	-	-	-	-	V-4	V-4	-	-	-	-	-	-	-	-	-	
DISTANCIA PARCIAL (m)	80.00	80.00	80.00	80.00	80.00	80.00	80.00	80.00	80.28	81.18	80.00	80.00	80.00	80.00	80.00	80.00	80.00	80.00	80.00	
DISTANCIA ACUMULADA (m)	173	2591.73	2671.73	2751.73	2831.73	2911.73	2991.73	3071.73	3151.73	3231.73	3311.73	3391.73	3472.01	3472.01	3552.01	3632.01	3712.01	3792.01	3872.01	
COTA DE TERRENO (m)	85	158.74	157.86	156.74	156.19	154.99	154.78	154.53	153.98	153.43	152.37	151.66	152.40	152.40	153.07	153.60	153.84	153.44	153.04	152.82
TIPO DE TERRENO	A	ZONA URBANA	ZONA URBANA	V-4																
PROPIETARIO																				



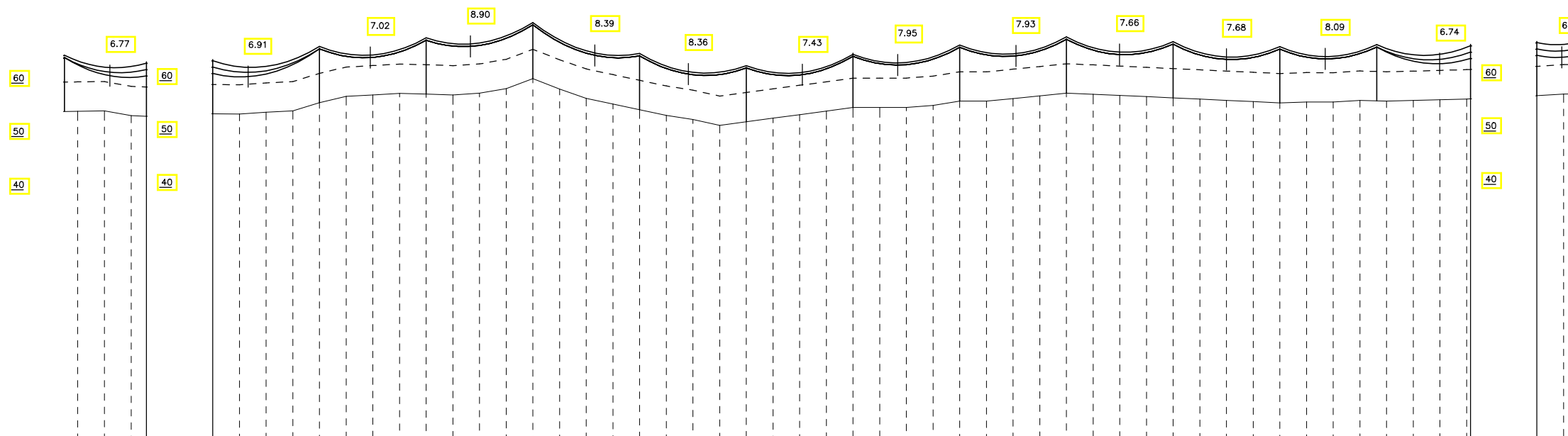
NÚMERO DE ESTRUCTURA	34	35	36	37	38	39	40	41	42	43	44	45	45	46	47	48	49	50	51	52	
ARMARIO PRINCIPAL	SZC	SZC	SZC	R-A	SZC	SZC	SZC	SZC	SZC	SZC	I4	I4	I4	SZC	SZC	SZC	SZC	SZC	SZC		
ARMARIO SECUNDARIO																					
ZUMULUCA (m)	5232.01	5392.01	5552.01	5712.01	5872.01	6032.01	6192.01	6352.01	6512.01	6672.01	6832.01	6974.74	6974.74	7094.74	7214.74	7374.74	7534.74	7694.74	7854.74	7995.15	
VANO VIENTO (%)	160.00	160.00	160.00	160.00	160.00	160.00	160.00	160.00	160.00	160.00	151.37	151.37	151.37	151.37	151.37	151.37	151.37	160.00	160.00	150.20	131.34
VANO PESO (%)	144.97	155.66	156.40	156.13	159.14	159.14	159.14	159.14	159.14	159.14	142.85	142.85	142.85	142.85	142.85	142.85	142.85	149.26	153.94	163.15	146.74
SOPORTE	Z1/600																				
REJILLAS																					
PUERTA A TIERRA	PAT-B																				
CIMENTACION	CM21-I	CM21-I																			
AMARILLADORES																					
VANO HORIZONTAL (m)	-/-	-/-	-/-	-/-	-/-	-/-	-/-	-/-	-/-	-/-	-/-	-/-	-/-	-/-	-/-	-/-	-/-	-/-	-/-	-/-	-/-
FARAMEIRO CATENARIA (m)	160.00	160.00	160.00	160.00	160.00	160.00	160.00	160.00	160.00	160.00	160.00	160.00	160.00	160.00	160.00	160.00	160.00	160.00	160.00	140.41	
CONDUCTOR	3x240 AAC																				



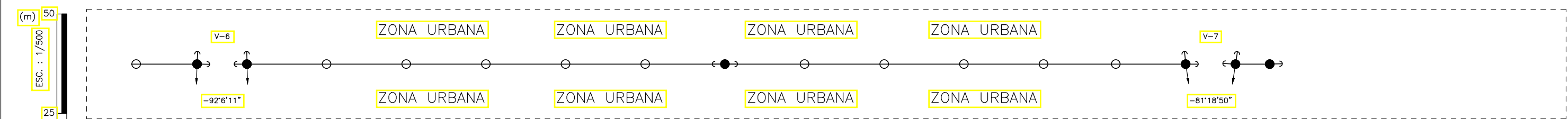
ESTACIÓN	10	80.00	80.00	80.00	80.00	80.00	80.00	80.00	80.00	80.00	80.00	80.00	80.00	80.00	80.00	80.00	V-5	V-5	-	-	-
DISTANCIA PARCIAL (m)	5232.01	5312.01	5392.01	5472.01	5552.01	5632.01	5712.01	5792.01	5872.01	5952.01	6032.01	6112.01	6192.01	6272.01	6352.01	6432.01	6512.01	6592.01	6672.01	6752.01	6832.01
DISTANCIA ACUMULADA (m)	153.03	153.43	153.79	154.58	155.05	155.47	156.09	156.31	156.16	156.48	156.89	156.46	156.83	156.62	156.82	156.14	156.23	156.90	156.27	156.44	156.27
COTA DE TERRENO (m)	153.03	153.43	153.79	154.58	155.05	155.47	156.09	156.31	156.16	156.48	156.89	156.46	156.83	156.62	156.82	156.14	156.23	156.90	156.27	156.44	156.27
TIPO DE TERRENO																					
PROPIETARIO																					



NÚMERO DE ESTRUCTURA	52	53	53	54	55	56	57	58	59	60	61	62	63	64	65	65	66	
ARMARIO PRINCIPAL	SZC	I4	I4	SZC	SZC	SZC	SZC	SZC	k-A	SZC	SZC	SZC	SZC	SZC	I4	I4	I4	
ACUMULADA (m)	7995.15	8117.42	8117.42	8277.42	8437.42	8597.42	8757.42	8917.42	9077.42	9237.42	9397.42	9557.42	9717.42	9862.60	10003.20	10003.20	10071.91	
VANO VIENTO (m)	131.34	141.13	141.13	160.00	160.00	160.00	160.00	160.00	160.00	160.00	160.00	160.00	160.00	160.00	104.65	104.65	34.35	
VANO PESO (m)	146.70	104.15	104.15	149.35	232.51	130.64	125.46	162.05	179.80	160.31	141.45	148.05	97.46	97.46	30.81			
COPORTE	21.600	21.600	21.600	21.600	21.600	21.600	21.600	21.600	21.600	21.600	21.600	21.600	21.600	21.600	21.600	21.600	21.600	
RETENIAS	2N	1N																
PUERTA A TIERRA	PAT-R	PAI-A	PAI-A	PAT-R	PAT-R	PAT-R	PAT-R	PAT-R	PAI-A	PAT-R	PAT-R	PAT-R	PAT-R	PAT-R	PAI-R	PAI-R	PAI-A	
CIMENTACION	CM21-1																	
AMPLIGUARDAS	-/-	-/-	-/-	-/-	-/-	-/-	-/-	-/-	-/-	-/-	-/-	-/-	-/-	-/-	-/-	-/-	-/-	
VANO HORIZONTAL (m)	22.27	22.27	22.27	160.00	160.00	160.00	160.00	160.00	160.00	160.00	160.00	160.00	160.00	160.00	145.18	140.60	66.71	66.71
PARALELO CATENARIA (m)	1235.04	1350.50	1350.50	1350.49	1350.52	1350.52	1350.52	1350.52	1350.53	1350.53	1350.53	1350.53	1350.53	1350.53	1295.43	1263.77	1040.47	
CONDUCTOR	3x240 AAC																	



ESTACIÓN	V-6	V-7	V-7	V-8																								
DISTANCIA PARCIAL (m)	0.00	102.67	81	80.00	80.00	80.00	80.00	80.00	80.00	80.00	80.00	80.00	80.00	80.00	125.78	68	68.71											
DISTANCIA ACUMULADA (m)	8014.74	8117.42	8117.42	8197.42	8277.42	8357.42	8437.42	8517.42	8597.42	8677.42	8757.42	8837.42	8917.42	8997.42	9077.42	9157.42	9237.42	9317.42	9397.42	9477.42	9557.42	9637.42	9717.42	9797.42	9877.42	10003.20	10003.20	10071.91
COTA DE TERRENO (m)	154.74	153.79	153.79	154.09	155.89	157.35	157.50	157.66	160.40	156.71	154.58	152.74	152.31	153.65	154.98	155.00	156.17	156.67	157.25	156.79	156.32	155.86	156.00	156.19	156.61	156.61	156.97	
TIPO DE TERRENO																												
PROPIETARIO																												



REV.	DESCRIPCION	DISEÑO	DIBUJO	APROBADO	FECHA	UNIVERSIDAD NACIONAL DEL SANTA CHIMBORAO - PERU	UNS UNIVERSIDAD NACIONAL DEL SANTA	DETERMINACIÓN DEL SECCIÓN ECONÓMICA ÓPTIMA DEL CONDUCTOR DE LA LÍNEA DE TRANSMISIÓN 60 Kv SEPI - SEPÚ, DEPARTAMENTO DE UCAYALI	DIS. : JRC/JHC	REV. : GLT	APR. : UNS	DIB. : JRC/JHC	DEPARTAMENTO: UCAYALI PROVINCIA : PUCAILPA DISTRITO : PUCAILPA FECHA : NOV-2018	PLANO : 4/4 H : 1/4000 V : 1/500
0 10 30 50 100 200								TESIS DE GRADO DISTRIBUCIÓN DE ESTRUCTURAS Y PLANIMETRIA PERFIL Y PLANIMETRIA : 8.00 km A 10.07 km						